



Redakční rada:

Doc. Ing. Dr. L. Oppl, CSc. (vedoucí redaktor) — Ing. V. Bašus (výkonný redaktor) — Doc. Ing. Dr. J. Cihelka — V. Fridrich — Ing. J. Haber — Prof. Ing. L. Hrdina — Ing. arch. L. Chalupský — Doc. Ing. J. Chyský, CSc. — Ing. B. Jelen — Ing. L. Kubíček — Ing. Dr. M. Lázňovský — F. Máca — Doc. Ing. Dr. J. Mikula, CSc. — Ing. Dr. J. Němec, CSc. — Doc. Ing. J. Valchář, CSc.

Adresa redakce: Dvorecká 3, 147 00 Praha 4

O B S A H

|  |     |
|--|-----|
| Ing. O. A. Zibrev, CSc.: Problematika klimatizácie v obuvníckom priemysle . . . . .  | 257 |
| Ing. V. Mašek, CSc., Ing. O. Trytko: Celkové množství a vdechovateľný podíl polétavého prachu ve vybraných pracovištích koksoven . . . . . | 265 |
| Ing. L. Struhár, Ing. V. Halačka, CSc.: Mezerovitost vrstev častic . . . . .   | 277 |
| V. Liška, dipl. tech.: Navrhujeme vytápění elektrickými akumulačními kamy . . . . .  | 291 |
| Ing. Rudolf Novotný: Zkušenosti s provozem klimatizačních zařízení v budovách a. s. INVESTA-CHEMAPOL v Praze . . . . .                     | 295 |
| Ing. J. Brych: Filtrace a dezodorizace vzduchu — odstraňování plyných škodlivin . . . . .  | 299 |
| Kartonová přloha 102/1—5   |     |

C O N T E N T S

|  |     |
|--|-----|
| Ing. O. A. Zibrev, CSc.: Some problems of air-conditioning for shoe-making industry . . . . .  | 257 |
| Ing. V. Mašek, CSc., Ing. O. Trytko: The total air-borne dust concentration and the respirable dust concentration at some working-places in coke-production industry . . . . . | 265 |
| Ing. L. Struhár, Ing. V. Halačka, CSc.: Void fraction of beds of particles . . . . .   | 277 |
| V. Liška, dipl. tech.: Dimensioning heating systems using heat-storage electrical units . . . . .  | 291 |
| Ing. Rudolf Novotný: Some experiences with an air-conditioning equipment in buildings of INVESTA-CHEMAPOL a. s. in Prague . . . . .  | 295 |
| Ing. J. Brych: Air filtration and desodorisation-removing injurious gases . . . . .  | 299 |
| Cardboard supplement 102/1—5   |     |

## **СОДЕРЖАНИЕ**

|   |  |     |
|---|--|-----|
| <b>Инж. О. А. Зибрев,<br/>канд. техн. наук:</b> | Проблематика кондиционирования воздуха в обувной промышленности . . . . .  | 257 |
| <b>Инж. В. Машек,<br/>инж. О. Тртыко:</b>       | Суммарное количество и респирабельная фракция летучей пыли в избранных рабочих местах коксовых заводов . . . . .     | 265 |
| <b>Инж. Л. Стугар,<br/>инж. В. Главачка:</b>    | Порозность слоев частиц . . . . .  | 277 |
| <b>В. Лишка, дипл. тех.:</b>                    | Проектирование отопления при помощи электрической отопительной печи . . . . .  | 291 |
| <b>Инж. Р. Новотны:</b>                         | Опыт с эксплуатацией оборудования для кондиционирования воздуха в зданиях общества ИНВЕСТА-ХЭМАПОЛ в Праге . . . . . | 295 |
| <b>Инж. Й. Брых:</b>                            | Фильтрация и дезодоризация воздуха — удаление газообразных и вредных примесей . . . . .                              | 299 |

Картонное приложение 102/1-5

## **S O M M A I R E**

|  |   |     |
|--|---|-----|
| <b>Ing. O. A. Zibrev, CSc.:</b>                    | Problème du conditionnement d'air dans l'industrie de la chussure . . . . .   | 257 |
| <b>Ing. V. Mašek, CSc.,<br/>Ing. O. Trytko:</b>    | Quantité totale et une fraction respirable de la poussière volante dans les lieux de travail choisis des cokeries . . . . .                             | 265 |
| <b>Ing. L. Struhár,<br/>Ing. V. Halačka, CSc.:</b> | Porosité des couches des particules . . . . .   | 277 |
| <b>V. Liška, dipl. tech.:</b>                      | Nous élaborons un projet du chauffage par le poêle électrique à accumulation . . . . .  | 291 |
| <b>Ing. Rudolf Novotný:</b>                        | Expériences avec l'exploitation des installations de conditionnement d'air dans les bâtiments de la société anonyme INVESTA—CHEMAPOL à Prague . . . . . | 295 |
| <b>Ing. J. Brych:</b>                              | Filtration et la désodorisation de l'air — l'évacuation de la pollution gazeuse . . . . .   | 299 |

Annexe de carton 102/1-5

## **I N H A L T**

|  |  |     |
|--|--|-----|
| <b>Ing. O. A. Zibrev, CSc.:</b>                    | Problematik der Klimatisierung in Schuhmacher-industrie . . . . .  | 257 |
| <b>Ing. V. Mašek, CSc.,<br/>Ing. O. Trytko:</b>    | Gesamtmenge des Flugstaubes und dessen respirabiler Anteil auf einigen Arbeitsplätzen in Kokereien . . . . . | 265 |
| <b>Ing. L. Struhár,<br/>Ing. V. Halačka, CSc.:</b> | Lückenvolumen der Partikelnschichten . . . . .   | 277 |
| <b>V. Liška, dipl. tech.:</b>                      | Entwerfen der Heizungsanlagen mit elektrischen Akkumulationsöfen . . . . .                                   | 291 |
| <b>Ing. Rudolf Novotný:</b>                        | Erfahrungen mit dem Betrieb der Klimaanlagen in Gebäuden von INVESTA—CHEMAPOL in Prag . . . . .              | 295 |
| <b>Ing. J. Brych:</b>                              | Luftfiltration und Luftdesodorisation — Beseitigung von schädlichen Gasanteilen . . . . .                    | 299 |

Kartonbeilage 102/1-5

# PROBLEMATIKA KLIMATIZÁCIE V OBUVNÍCKOM PRIEMYSLE

ING. O. A. ZIBREV, KAND. TECH. VIED

*Leningradskij inženerno-strojitel'nyj institut, ZSSR*

Článok pojednává o významu relativnej vlhkosti vzduchu po zabezpečení kvalitnej výroby pri zpracováni prírodní kůže. Jsou uvedeny závislosti rovnovážnej vlhkosti kůží na relativnej vlhkosti vzduchu. V neklimatizovaných provozovných nedosahuje relativnú vlhkost vzduchu v zimnej dobe požadovaných hodnot. Doporučuje sa udržovať ve výrobních a pomocných prostorech obuvnických závodov relativnú vlhkost vzduchu  $65 \pm 5\%$  v průběhu celého roku. Teploty vzduchu se doporučují  $24^{\circ}\text{C}$  pro letné a  $18^{\circ}\text{C}$  pro zimné období. Zabezpečení týchto parametrov vyžaduje použití klimatizačných zařízení pri výrobě obuvi.

*Recenzoval: Doc. Ing. Dr. L. Oppl, CSc.*

## 1. ÚVOD

V rozvoji obuvníckeho priemyslu, podobne ako aj v iných oblastiach ľahkého priemyslu, javí sa jasný technický pokrok, ktorý vytvára reálne podmienky pre intenzifikáciu výroby. Tendencia zvyšovania výroby obuvi vyžaduje okrem uvádzania nových výrobných kapacít aj modernizáciu existujúcich výrobných zariadení sú- aplikáciou nových technologických a technických poznatkov. Neoddeliteľnou súčasťou týchto tendencií je zlepšenie hygienických podmienok práce a ekonomických ukazovateľov, pri narastajúcich požiadavkach na zlepšenie kvality a zníženiu reklamácií (nepodarkov).

Pre racionálne riadenie technologických procesov súvisiacich so spracovaním hygroskopických materiálov, tj. aj pri zhotovovaní obuvi, má zvláštny význam vytváranie vhodného klímu v prevádzkových a pomocných priestoroch. Základným materiáлом na výrobu obuvi je prírodná koža, ktorej fyzikálne a mechanické vlastnosti v značnej miere závisia od vnútornej vlhkosti. Koža je hygroskopickým kapilárno-pôrovitým materiáлом, ktorý mení svoju vlhkosť v širokých hraniciach v závislosti od parametrov okolitého vzduchu, z ktorých najdôležitejšia je relativná vlhkost vzduchu. Skúsenosti z existujúcich prevádzok ukazujú, že nízka relativná vlhkost vzduchu vo výrobných priestoroch a skladoch je jednou z hlavných príčin zníženia kvality a zvýšenia počtu nedopadkov. Zmetky vznikajú tým, že sa suchá koža trhá a je tvarove nestála.

Spravidla sa najdôležitejšie vlastnosti kože zlepšujú zvyšovaním relatívnej vlhkosti vzduchu. Napríklad zvýšenie relatívnej vlhkosti v oblasti mono- a polymolekulárnej adsorbce na 40 %, má za následok zväčšenie rozmerov kože o 1 % [1] a plošného obsahu o 2—2,5 % [2]. Medzne napätie pri trhaní chrómovej kože sa pri zvýšení  $\varphi$  z 50 na 100 % zvýši o 42,6 %, a pri znížení relatívnej vlhkosti vzduchu z 50 % na 0 zmenšuje sa o 31,3 % [3]. Analogicky je možné uviesť väčší počet príkladov.

## 2. VNÚTORNÁ KLÍMA A HYGROTERMICKÉ PROCESY

Spôsobilosť kožených materiálov meniť svoje vlastnosti v dôsledku sorbčných a desorbčných pochodov sa v širokej mieri využíva v obuvníckom priemysle. Vykónavajú sa také hygrotermické operácie, ako vlhčenie prípravkov pred naťahovaním na kopyto, sušenie obuvi, tepelno-vlhkostné opracovanie a ī. Vysušovaním sa sleduje vylúčenie vodného obsahu z materiálov a tým zabezpečiť tvarovú stálosť obuvi. Vlhčením prípravkov a súčasťou sa sleduje zmäkčenie kože, ktorá pri spracúvaní má mať potrebnú elastičnosť a zlepšenie fyzikálno-mechanických vlastností kože. Prítomnosť vlahy v koži sa prejavuje a rôzne využíva v približne 30 tich technologických operáciach, ktoré nasledujú po vlhčení a sú zviazané s rozličnými deformáciami. Hlavnou z týchto operácií je formovanie povrchu obuvi. Kvalitné vlhčenie sorbciou kože z vlhkého vzduchu (technologická klimatizácia) umožňuje dosiahnuť požadovaných vlastností materiálu. Týmto je možné súčasne zaručiť správnu tvarovú stálosť počas používania obuvi. Pri vlhčení kože prebiehajú nasledovné kvalitatívne zmeny: zväčšuje sa koeficient priečneho skrátenia, urýchľuje sa proces relaxácie napäťia v koži, zvyšuje sa plastičnosť a elastičnosť, zmenšuje sa potrebný tlak na prechod ihly, zväčšujú sa rozmery kože atď. Posledné umožňujú zmenšiť do určitej miery rozmery detailov pri strihaní (vykrajovaní) a tým aj úmerne znížiť spotrebú materiálu.

S otázkami intenzifikácie procesov vlhčenia koži sa zaoberejú početné vedecko-výskumné práce a súčasne boli vypracované nové metódy vlhčenia ako: cyklické, vákuové, termoefektívne a iné. Avšak žiadna z týchto nespĺňa všetky technologické požiadavky. Najrozšírenejším spôsobom vlhčenia užívaným v priemysle, ktorý dáva maximálny kvalitatívny efekt, je sorbčná metóda. Špeciálne zariadenia, v ktorých sa vytvárajú potrebné klimatické parametre pre kože (teplota  $t_s$ , rýchlosť prúdenia vlhkého vzduchu  $v$ , a rel. vlhkost  $\varphi = 98\%$ ), sú neoddelenou súčasťou klimatizačných zariadení obuvníckych prevádzok. Trvanie procesu vlhčenia závisí nie len od režimu práce vlhčiacich zariadení a druhu suroviny, ale aj od relatívnej vlhkosti vzduchu v miestnosti, ktorá vplyva na vlhkosť kožených výrobkov pred zvlhčovaním  $W_0$ .

Prirodzene, že znížením relatívnej vlhkosti vzduchu, tj. aj  $W_0$ , doba vlhčenia vo vlhčiacom zariadení na dosiahnutie požadovanej vlhkosti materiálu  $W_k$ , bude narastať. Trvanie procesu vlhčenia určuje technológia a spravidla sa nemení, pretože závisí od rytmu hlavného výrobného pásu. Pri meniacich sa vlhkostných parametroch v miestnosti, vstupujú do zariadení prípravky s meniacou sa vnútornou vlhkostou. Pri nezmenenej dobe vlhčenia bude teda vlhkosť výrobkov a ich vlastnosti rozdielne, čo je neželateľné. Preto je potrebné udržiavať vo výrobných priestoroch konštantné vlhkostné podmienky.

Pre určenie závislosti  $W_k = f(W_0)$  boli vykonané odpovedajúce experimentálne práce. Laboratórne zariadenie pozostávalo z uzavretého vetracieho okruhu s elektrickým ohrievačom vzduchu, vlhčiacim zariadením, elektrickým vývýjačom par, kontrolnými, regulačnými a meracími zariadeniami. V zariadení sa zvlhčovali jednotlivé vzorky s rozdielnou počiatocnou vlhkostou  $W_p$ . Každá séria experimentov sa vykonala v ustálenom režime.

Matematické spracovanie výsledkov experimentov ukázalo, že všetky podobné závislosti majú lineárny priebeh a môžu sa vyjadriť vzťahom

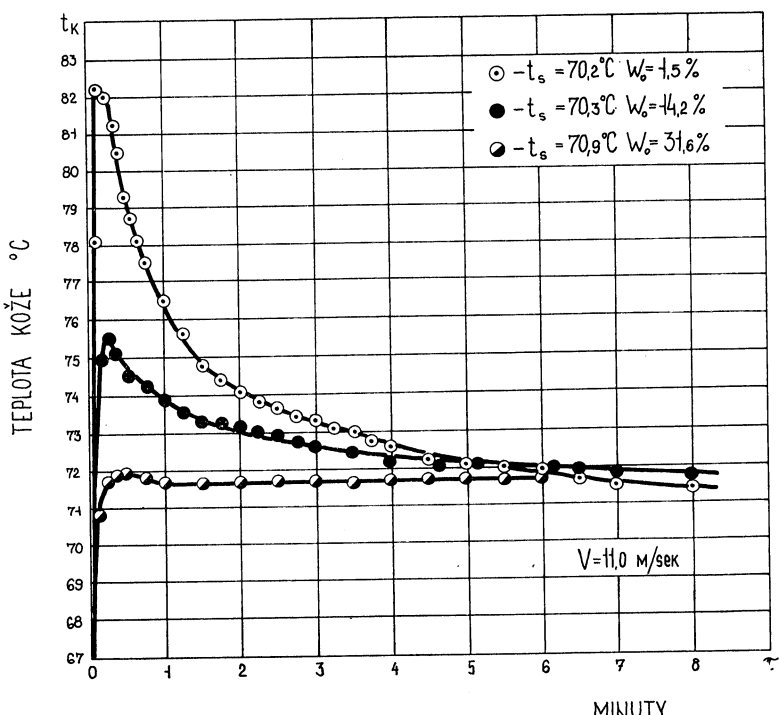
$$W_k = W_e \cdot E + W_0(1 - E) \quad [\%], \quad (1)$$

kde  $W_e$  — hygroskopická vlhkosť vzorku v %-tách,

$$E = \frac{W_k - W_0}{W_e - W_0} \text{ — pomerná vlhkosť vzorku po vlhčení,}$$

$(1 - E)$  — smernica závislosti  $W_k = f(W_0)$ .

Výsledky práce ukázali, že pre ľubovoľný režim sorbčného zvlhčovania platí  $E = \text{konst}$  [4]. Tento záver umožňuje vyhodnotiť vplyv počiatočnej vlhkosti materiálu na konečný proces vlhčenia, na základe porovnania smernice  $W_k = f(W_0)$ .



Obr. 1. Zmena teploty chrómovej telaciny v procese vlhčenia.

Analýza ukázala, že skrátením trvania vlhčenia vplyv veličiny  $W_0$  na  $W_k$  silne vzrástá. Tieto okolnosti je potrebné brať do úvahy, najmä pri rýchлом zvlhčovaní výrobkov v režime  $t_s = 70^\circ\text{C}$  a  $v = 20 \text{ m/s}$  [5]. Prijatie takéhoto režimu skrátí trvanie vlhčenia až na 10—15 min (miesto 2 až 2,5 hodin pri doteraz používaných vlhčiacich zariadeniach s parametrami  $t_s = 38—40^\circ\text{C}$  a  $v = 1,0—1,5 \text{ m/s}$ ). Pre zabezpečenie kvalitného procesu zvlhčovania je preto potrebné udržiavať počiatočnú vlhkosť materiálu a relatívnu vlhkosť vzduchu vo výrobných priestoroch na vyšej úrovni, ako je to bežne v doterajšej praxi. Z výpočtu vyplýva, že zvýšenie relatívnej vlhkosti vzduchu z 30 na 65 % môže znamenať skrátenie trvania zvlhčovania o 40—50 %.

So zvýšením relatívnej vlhkosti vzduchu vo výrobných priestoroch, okrem toho sa zmenšujú straty vlhkosti z predtým navlhčených prípravkov; za 20 min. pri  $\varphi = 65\%$  o 1,5 %.

Technológovia spravidla nepožadujú pri vlhčení prípravkov vyššie teploty vlhkého vzduchu. Obávajú sa značného zvýšenia teploty kože vyvolanou sorbčnou teplotou čo môže viesť k tzv. „zvareniu“ kože. Experimentálne sledovania teplotného režimu koží [6] preukázali, že zvýšenie  $W_0$  má vplyv na zníženie teploty kože nad teplotou okolia  $\Delta t_{\max} = t_k - t_s$ , ako je to zrejmé z obr. 1. Tak napr. zníženie počiatočnej vlhkosti kože o 2 % spôsobuje zvýšenie  $\Delta t_{\max}$  o 1 °C. „Zvarenie“ kože môže teda nastať pri vlhčení veľmi suchého materiálu. S ohľadom na teplotný režim kože je potrebné udržiavať vo výrobných priestoroch vysokú relatívnu vlhkost vzduchu.

Požadovaná vlhkost kože pri krájaní a šití obuvi má byť cca 16—18 %, čo odpovedá  $\varphi = 50—60 \%$  v závislosti od druhu kože. Spravidla je však relatívna vlhkosť vzduchu vo výrobných priestoroch nižšia ako požadovaná a dosahuje minimálnych hodnôt v zimnom období. Viacročné sledovania v Leningradskom obuvnom závode [2] a Centroprojektom v Gottwaldove [7] ukazujú, že v zimnom období relatívna vlhkosť vzduchu vo výrobných priestoroch neprevyšovala 30—35 %. Menovite v tomto období sa prejavuje aj najnižšia kvalita vyrábanej obuvi.

V tom istom čase býva relatívna vlhkosť v skladoch surovín vyššia ako vo výrobných priestoroch. Do skladov prichádza koža spravidla suchá (cca  $W = 10 \%$ ) a začína intenzívne sorbovať vlhkosť, čím sa zvyšuje teplota kože a dosahuje hodnotu až o 13 °C vyššiu ako teplota vzduchu v sklade. Takéto zvýšenie teploty spolu s vysokou vlhkosťou vzduchu stimuluje rozšírenie bakteriologických procesov, ktoré často zapričinujú výskyt pliesní a znehodnocovanie suroviny. Pri skladovaní materiálu v suchom prostredí prejavuje sa zmršťovanie kože, ktorá prišla z kožiariskeho závodu. Nízka relatívna vlhkosť vzduchu vo výrobných priestoroch a jej kolísanie negatívne vplýva na režim činnosti sušiarní. V týchto sa požaduje udržiavať  $\varphi$  v medziach 35—40 %, aby obuv nebola presušená. Na základe prevádzkových sledovaní, relatívna vlhkosť v sušiarňach sa často znížuje na 7—15 %, čo znížuje kvalitu výrobkov. Proces sušenia závisí tiež od vlhkosti kože v obuvi pred sušením. Pri nízkej vlhkosti materiálu pred sušením, teplota kože sa rýchlo zvyšuje a dosahuje teplotu vzduchu v sušiarni. Stacionárne vlhkostné podmienky vo výrobných priestoroch musia stabilizovať hygrotermické procesy sušiacich a zvlhčovacích zariadení.

Z hľadiska hygrotermických podmienok je veľmi perspektívne a racionálne vytvorenie jednotných parametrov vzduchu v celom komplexe obuvníckych objektov a podobne v skladoch hotových výrobkov kožiariských závodov. V tomto procese je potrebné brať do úvahy aj podmienky prepravy suroviny a hotovej obuvi pri prevoze z jednej klimatickej oblasti do druhej (v merítku ZSSR) a exporte na väčšie vzdialnosti (pre ČSSR).

### 3. DOPORUČENÉ PARAMETRE VZDUCHU

Pre správne riešenie klimatizácie je nevyhnutné zvoliť parametre vzduchu, tak z hľadiska technológie, ako aj z hľadiska hygienických požiadaviek. Technologické parametre vzduchu pri spracúvaní hygroskopických materiálov sa volia na základe zostavenia a po analýze izoterm sorbcie a desorbcie materiálu.

Údaje z literárnych prameňov o hodnotách rovnovážnej vlhkosti kože a dobe dosiahnutia rovnovážneho stavu vychádzajú z metódy Van Bemmelena, ktorá však neumožňuje vyjadriť celkový a reálny obraz kinetiky zmien vlhkosti v materiále. Táto metóda má nasledovné nedostatky: v exikátore je teplotný a vlhkostný gradient, v exikátore nie je možné dostatočne rýchlo nastaviť želateľné  $\varphi$  v dôsledku inercie procesu nastavenia dynamickej rovnováhy v systéme „kyselina—vzduch“.

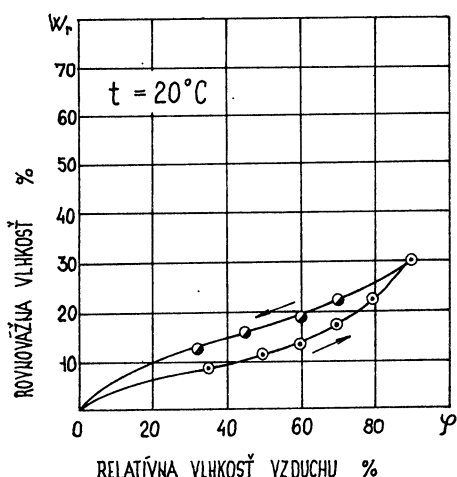
a ďalšie chyby technického rázu. Pri používaní tejto metódy sa všeobecne predpokladá, že kože dosahujú rovnovážny stav v priebehu dlhej doby a krátkodobé zmeny  $\varphi$  prakticky nemajú vplyv na vlhkosť materiálu.

Pre získanie obrazu reálneho vplyvu vlhkého vzduchu na vlhkosť kože, obuvníckych výrobkov a zostrojenia izoterm, použila sa iná metóda. Táto metóda pozostáva vo vytvorení a automatickom udržiavaní určených parametrov vzduchu v hermetickom hygrotermostatickom zariadení. Používanie takéhoto zariadenia umožnilo udržiavanie požadovaných relatívnych vlhkostí vzduchu v priebehu dlhého času, s presnosťou  $\pm 1\%$  pri teplotnom rozkyve  $\pm(0,1-0,2\text{ }^{\circ}\text{C})$ . Podmienky sledovania boli maximálne blízke reálnym prevádzkovým podmienkam.

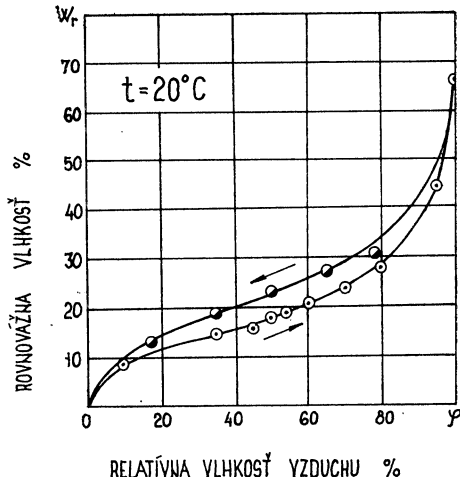
Vykonané pokusy ukázali, že už krátkodobé a malé zmeny relatívnej vlhkosti vzduchu ( $2\%$  pri sorbecii a  $3-4\%$  pri desorbecii) majú okamžitý vplyv na obsah vlhkosti v materiále. Zistilo sa, že v intervale  $10-85\%$  (záona mono- a polymolekúlnej adsorbcii) vzorky chromovej kože dosiahli rovnovážny stav v priebehu  $1,0-2,0$  hodín, telacia koža za  $3,0-3,5$  h a obuvnícke výrobky v priebehu  $4,0-5,0$  h. Tak časti kože v čase opracovania v strihárni a pri šíti spravidla dosahujú rovnovážnu vlhkosť ešte do pretvárania do obuvníckeho výrobku, tj. do hygrotermických operácií.

Pri  $\varphi > 85\%$  (záona intenzívnej kapilárnej kondenzácie) doba dosiahnutia rovnovážneho stavu sa predĺžuje. Napríklad pre chrómovú telaciu kožu pri  $\varphi = 95\%$  na 7 hodín a pri  $\varphi = \text{cca } 100\%$  až  $30-40$  h. V poslednom prípade sa na konci sorbecie prejavilo intenzívne plesnenie vzoriek. Preto v miestnostiach, kde koža alebo kožené výrobky prebývajú dlhšiu dobu, relatívna vlhkosť vzduchu nesmie byť vyššia ako  $85\%$ .

Pri určovaní vlhkosti vzduchu v miestnostiach je potrebné brať do úvahy citlivosť rovnovážnej vlhkosti na zmenu relatívnej vlhkosti vzduchu  $\frac{dW_r}{d\varphi}$ . Táto citlivosť charakterizuje stálosť rovnovážneho stavu a má minimálny význam v intervale  $30 \leq \varphi \leq 75\%$  (obr. 2 a obr. 3).



Obr. 2. Izotermy sorbecii a desorbecii chrómmovej kozaceiny.



Obr. 3. Izotermy sorbecii a desorbecii chrómmovej telaciny.

Výskumy tiež ukázali, že pôsobenie teploty na rovnovážny stav koží je malé; napr. pri zvýšení teploty o  $10\text{ }^{\circ}\text{C}$  rovnovážna vlhkosť kože sa znížila o  $0,5\%$ . Pre udržanie rovnovážnej vlhkosti materiálu pri takomto zvýšení teploty je potrebné zvýšenie relatívnej vlhkosti vzduchu o  $2,0$ — $2,5\%$ . Tak určitá vlhkosť kože môže byť stála pri odpovedajúcich kombináciach  $t$  a  $\varphi$ . V tom prípade bude stabilným aj chemický potenciál prenosu hmoty, zodpovedajúci výrazu

$$\mu = RT \ln \varphi \quad [\text{J/mol}], \quad (2)$$

kde  $R$  — univerzálna plynová konštantă [ $\text{J/K mol}$ ],

$T$  — absolútne teplota [ $\text{K}$ ].

Pre udržiavanie chemického potenciálu prenosu hmoty na jednej hladine je pomocou klimatizačného zariadenia zložitou úlohou. Na základe výsledkov experimentov a teórie je pre stabilizáciu vlhkosti v koženom materiále prakticky postačujúce udržiavať v miestnostiach obuvníckych závodov iba rel. vlhkosť vzduchu  $\varphi$ , ktorá musí zodpovedať požiadavkám hygieny a technológie.

Kolísanie vnútorných teplôt v závislosti od vonkajších podmienok môžeme dopustiť v hraniciach hygienických noriem. V takomto prípade pri udržiavaní  $\varphi = 65\% = \text{konst.}$  zvýšenie teploty vzduchu z  $18$  na  $20\text{ }^{\circ}\text{C}$  vyvolá zanedbateľné zmenšenie chemického potenciálu prenosu hmoty z  $-10,4 \cdot 10^{-5}$  na  $10,8 \cdot 10^{-5} \text{ J/mol}$ , tj. o  $3,8\%$ , čo prakticky nemení vlhkosť kože.

Berúc do úvahy požiadavky Hygienických noriem ZSSR je možné doporučiť udržiavanie relat. vlhkosti vzduchu vo výrobných a pomocných priestoroch obuvníckych závodov na úrovni  $65 \pm 5\%$  v priebehu celého roka. Kolísanie teploty v závislosti od vonkajších podmienok možno dopustiť nasledovné: pre letné obdobie  $t_{\text{imax}} = 24\text{ }^{\circ}\text{C}$ , pre zimné obdobie  $t_{\text{imin}} = 18\text{ }^{\circ}\text{C}$ .

Zabezpečenie vyššieuviedených parametrov vzduchu v miestnostiach vyžaduje výrobu nových klimatizačných systémov, alebo prepracovania používaných systémov vetrania. Posledná požiadavka si vyžaduje nové technické riešenia podopreté ekonomickými zdôvodneniami.

---

Poznámka: Autor dakuje Ing. Jánovi Valentovi, CSc. za účinnú spoluprácu pri publikovaní tohto článku.

## ZOZNAM LITERATÚRY

- [1] Klimčuk, C. S., Zybin, U. P.: Issledovanie vlijanija perepadov otnositeľnej vláznosti vozducha na deformáciu kožaných detalej v procese izgotovlenia v chranenja obuvi. Soobščenie č. 4 Izvestia VUŽov. Technologia lehkej promyšlennosti č. 6 1966.
- [2] Mjatel'cin G. G.: Uvlažnítel'niye i sušitel'nyje ustanovki v obuvnom proizvodstve. BTI lehkoj promyšlennosti 1958.
- [3] Lykov A. V. Kinetika i dinamika procesov sušky i uvlažnenija. G-IZLEGPROM, Leningrad, 1938.
- [4] Zibrev, O. A.: Vlijanie načalnej vláznosti kožaných zagotov na konečnuju v procese ich klimatizácie. Sanitarna technika, teplosnabženie, ventiljacia i teplotechnika, LISI Leningrad, 1971.
- [5] Jurmanov V. N., Zibrev O. A.: Izučenie procesov klimatizácií obuvnych zagotovok. Sanitarnaja technika, LISI Leningrad, 1968.
- [6] Zibrev O. A.: Issledovanie izmereniji temperatúry koži v procese klimatizacii obuvnych zagotovok teplogazosnabženije, ventiljacija i teplotechnika, LISI Leningrad, 1969.
- [7] Hrubý, B.: Rešení vzduchotechniky v provozech obuvnického průmyslu. Sborník konference ČVTS. Větrání a klimatizace ve spotřebním průmyslu. Dům techniky Praha, 1973.

## ПРОБЛЕМАТИКА КОНДИЦИОНИРОВАНИЯ ВОЗДУХА В ОБУВНОЙ ПРОМЫШЛЕННОСТИ

*Инж. О. А. Зибрев, к. т. н.*

Статья занимается значением относительной влажности воздуха для обеспечения качественного производства при обработке натуральной кожи.

Приводятся зависимости равновесной влажности кожи от относительной влажности воздуха. В цехах без кондиционирования воздуха относительная влажность в зимних периодах не имеет желательного значения.

Рекомендуется поддерживать в цехах и вспомогательных помещениях обувных заводов годовую относительную влажность воздуха в пределах  $65 \pm 5\%$ . Рекомендуемая температура летом  $24^{\circ}\text{C}$ , зимой  $18^{\circ}\text{C}$ . Обеспечение этих параметров требует применения кондиционеров при производстве обуви.

## SOME PROBLEMS OF AIR-CONDITIONING FOR SHOE-MAKING INDUSTRY

*Ing. O. A. Zibrev, CSc.*

The article describes the significance of the relative air humidity for achieving good quality products when natural hide is used. The interdependence of final hide humidity and relative air humidity is mentioned. In rooms where there is no air conditioning the relative air humidity during winter seasons is not high enough. For production and/or auxiliary rooms in shoe-making works, it may be recommended to keep the relative air humidity at the level of  $65 \pm 5$  per cent. all the year through. The recommended air temperatures are: in summer  $t_{\max} = 24^{\circ}\text{C}$  in winter  $t_{\min} = 18^{\circ}\text{C}$ . All above mentioned requirements necessitate installation of air conditioning equipments in shoe-making industry.

## PROBLEMATIK DER KLIMATISIERUNG IN SCHUHMACHER-INDUSTRIE

*Ing. O. A. Zibrev, CSc.*

Der Verfasser behandelt die Bedeutung der relativen Luftfeuchtigkeit für gute Qualität der Erzeugnisse bei Verarbeitung der Naturleder. Zusammenhänge zwischen Gleichgewichtfeuchtigkeit der Leder und relativer Luftfeuchtigkeit sind erwähnt. Bei einer Erzeugung in nichtklimatisierten Räumen ist die verlangte relative Luftfeuchtigkeit in Wintersaisons nicht erreicht. Es wird empfohlen, in Erzeugungs- sowie Hilfsräumen der Schuhmacherindustrie die relative Luftfeuchtigkeit von  $65 \pm 5\%$  das ganze Jahr zu halten. Für Sommer werden die Lufttemperaturen  $t_{\max} = 24^{\circ}\text{C}$ , für Winter  $t_{\min} = 18^{\circ}\text{C}$  empfohlen. Das alles zu erreichen verlangt eine Klimaanlage zu verwenden.

## PROBLÈME DU CONDITIONNEMENT D'AIR DANS L'INDUSTRIE DE LA CHAUSSURE

*Ing. O. A. Zibrev, CSc.*

L'article présente traité de l'importance de l'humidité relative de l'air en égard à l'assurance de la production qualitative au cours d'un traitement du cuir naturel. On cite les dépendances de l'humidité équilibrée des cuirs sur l'humidité relative de l'air. Dans les ateliers sans le condi-

tionnement d'air, l'humidité relative de l'air n'obtient pas les valeurs exigées en hiver. On recommande d'entretenir l'humidité relative de l'air  $65 \pm 5\%$  dans les ateliers de production et dans les espaces auxiliaires durant toute l'année. On recommande les températures de l'air  $t_{\max} = 24^{\circ}\text{C}$  pour une saison d'été et  $t_{\min} = 18^{\circ}\text{C}$  pour une saison d'hiver. Une assurance de ces paramètres exige les installations de conditionnement de l'air dans la production de la chaussure.

### ● Světlo jako odpadová hmota

Ztráty světelné hmoty u venkovního osvětlování závisejí na dokonalosti souhry řady technických a klimatických podmínek: svítidla, která světelný tok zdrojů usměrňuje do dolního poloprostoru, považujeme za správná (z hlediska ekonomického, ale i výtvarného i přísně účelového). Tuto zásadu musíme si doplnit popřípadě zkorigovat zásahy:

#### a) ze strany člověka

je to požadavek záměrného prosvětlení prostorů komunikací (tj. povrchů vozovek a částí průčelí zástavby; přitom nezabráníme (nebo jen nesnadno) úniku světelné hmoty do horního poloprostoru; tak poprvé vzniká „světelný odpad“

#### b) ze strany přírody

jsou to „zlepšení“ odrazných vlastností některých osvětlovaných povrchů komunikací, např. po dešti (za mokra) a se sněhovou pokrývkou, a rozptyl světla v mlze (je to rozptyl mnohostranný, prostorový); ani tu nezabráníme úniku světla do horního poloprostoru a rovněž vzniká „světelný odpad.“

Termín „světelný odpad“ není zcela jednoznačný — ve většině případů jsme se ztrátami srozuměni — jen se jim snažíme nějak zabránit nebo je změnit, např. konstrukcí svítidel, některými úpravami v uličním prostoru přitom povrchový jas komunikací je předmětem zájmu z mnoha hledisek pro zvýšení bezpečnosti dopravy).

Problém skutečného světelného odpadu vznikl při rekonstrukci veřejného osvětlení města Saint Andrews: dosavadní osvětlovací soustava měla být nahrazena soustavou novou, upravenou pro potřeby současné dopravy a pro požadavky prosvětlení uličního prostoru (jak je dnes chápeme) — anž by světlem, unikajícím do horního poloprostoru byla rušena vědecká pozorování astronomů na blízké observatoři, vybavené čtyřmi rozměrnými teleskopy (podle Lighting Research & Technology 1972/1).

Autor řešení se musel propracovat až k mechanismu rozptylu světla v atmosféře nad městem a určit tam největší přípustné jasy. Rozložení jasů prosvětlené noční oblohy bylo třeba vypočítat pro tři základní složky — pro světlo odrážené od povrchu země, pro světlo emitované okolím observatoře a pro

světlo vysílané prostorami komunikací, prostorami parků, náměstí aj. Po zvážení všech podmínek navrhl autor novou úpravu veřejného osvětlení s tak malým množstvím světelného odpadu, aby práce s teleskopem nebyla rušena a město bylo dokonale osvětleno.

(LCh)

### ● Vývojové směry u soudobých bytových svítidel

Mezinárodní veletrhy svítidel jsou živým dokladem existence tří základních vývojových směrů, kterými jdou designéri velkých výrobců svítidel a samostatní výtvarníci, ale také občané — spotřebitelé, jejichž vkus a přání. Ovlivňování spotřebitelů je sice možné a je středem zájmů výrobců, ale jeho úspěch bývá ovlivněn značnou cenou svítidel.

Tyto tři vývojové směry jsou:

- funkční,
- skandinávský,
- italský.

*Svítidla funkčního vývojového směru* mají tradiční, až přísné geometrické tvary a blíží se parametrem tzv. funkcí, dodržováním světelné technických a ekonomických zásad. Nedodrží výždy všechny zásady estetické, pokud nevyplývají přímo z funkce svítidla bez dalšího tvarování. Základním typem je svítidlo závěsné.

*Svítidla skandinávského vývojového směru* vytvářejí v prostoru především komplexní vizuální (optickou) pohodu — ve výjimečných případech až na úkor funkcí některých světelné technických a ekonomických předpokladů se přidržují jen zásad estetických, a to již u samotného výrobku, ale především u jeho působení. Používají ve velkém množství dřevo, barevné kovy a barevná skla, méně již umělé hmoty. Vedle závěsných svítidel se tu uplatňují i typy stolní, stojanové aj.

*Svítidla italského vývojového směru* jsou výtvarnými prvky z dobrých dílen zvučných jmen. Učelnost přichází sama o sobě a světelné technické vlastnosti bývají použity jako základ designérského (sochařského) ztvárnění. Základní typy jsou stolní a stojanová svítidla. Některé výrobky jsou celkem samoučelné, jiné jsou psychicky účinně působivé v daných prostorách, jiné jsou uměleckými předměty vysoké hodnoty — ale mnohé (snad většina) světelnovou hmotou plýtvají. Podle Lichttechnik 1971/1.

(LCh)

# CELKOVÉ MNOŽSTVÍ A VDECHOVATELNÝ PODÍL POLETAVÉHO PRACHU VE VYBRANÝCH PRACOVÍSTÍCH KOKSOVEN

ING. VÁCLAV MAŠEK, CSc., a ING. OTMAR TRYTKO

Výzkumný a zkušební ústav NHKG, Ostrava-Kunčice

V článku jsou uvedeny zkušenosti s použitím dvoustupňových odlučovačů prachu DP 50 a BAT I a registračního fotometru SIGRIST při stanovení vdechovatelného podílu a celkového množství polétavého prachu, jakož i výsledky porovnávacích zkoušek. Práce je doplněna obrázky vdechovatelných a nevdechovatelných podílů prachu pod rastrovým elektronovým mikroskopem JSM-50A.

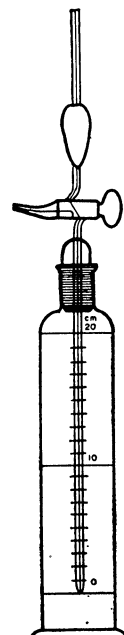
Recenzoval: Doc. Ing. Dr. L. Oppl, CSc.

## 1. ÚVOD

Mnichá pracoviště našich koksoven mají specifické podmínky. Komplexní socialistická racionalizace práce proto tam nezvyšuje produktivitu práce pouze různými neinvestičními způsoby, ale sleduje též vliv daného pracovního prostředí, zátež pracovníků a jiné faktory, které ovlivňují pracovní proces. Je proto správný takový přístup, který uvažuje nejen technické možnosti, ale i kapacitu lidského organismu při práci, uvažuje nejen okamžité využití člověka, ale i možnosti jeho trvalého výkonu po celý pracovní věk bez poškození zdraví [1].

Na pracujícího člověka působí tuhé částice, které vniknou do jeho organismu vdechováním; o tom, jsou-li částice zadřený již v horních dýchacích cestách nebo vniknou-li až do hlubších částí plic, rozhoduje především jejich velikost. Pro vzduchotechnika, který má zajišťovat požadovanou čistotu ovzduší na pracovišti, je znalost celkového množství i velikostního složení aerosolu nezbytná.

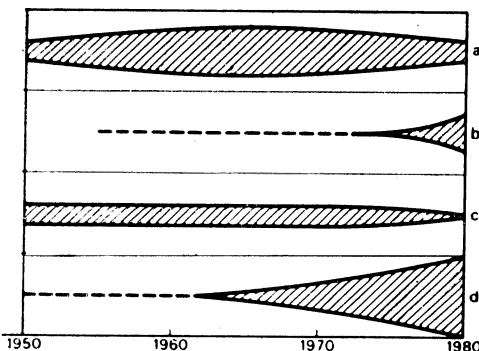
Po druhé světové válce a zejména v posledních letech prudce vzrostl počet i druhý vyráběných přístrojů ke stanovení prašnosti. Z počátku se jednalo hlavně o zjištování počtu částic v určitém objemu, stanovení dispersity prachu sedimentací v kapalině (obr. 1) nebo o optická měření, dále o gravimetrické přístroje ke stanovení celkového množství prachu v určitém objemu prossátého vzduchu, a to pro krátkodobá a pak i dlouhodobá měření s registrací. Na základě poznání, že je možno polétavý prach roztržít na vdechovatelnou a nevdechovatelnou část přibližně tak, jako je třídí lidský organismus při vdechování, došlo po roce 1960 k výrobě přístrojů s dvou-, popřípadě vícestupňovým odběrem prachu. V současné době byl již dokonce vyvinut prototyp automatického registračního přístroje ke kvantitativnímu a plynulému stanovení vdechovatelné části polétavého prachu, a to pomocí monochromatického světla vyzařovaného pod úhlem 70° na křemíkovou



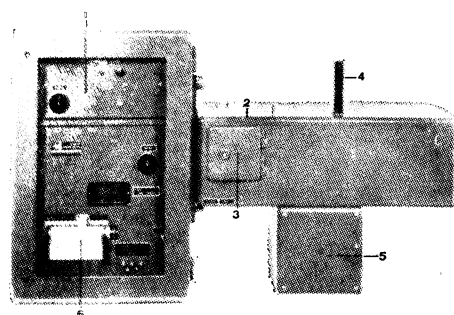
Obr. 1. Andreeffova sedimentační pipeta k dělení prachových podílů podle velikosti

fotodiodu [2]. Přehled výroby prachoměrů podle druhů od roku 1950 s výhledem do roku 1980 podává obr. 2 podle [3].

O našich dřívějších výsledcích z několika pracovišť našich koksoven získaných klasickým způsobem prosáváním vzduchu přes filtry, sitováním získaného prachu a jeho dělením v kapalině sedimentací jsme již referovali [4]. V souladu s pokrokem techniky přistoupili jsme k využití automatického registračního přístroje ke stanovení celkového množství vznášejících se látek v ovzduší.



Obr. 2. Porovnání množství vyráběných druhů přístrojů ke stanovení prašnosti podle [3] a předpověď do roku 1980; a) přístroje ke zjištování počtu čisticí nebo optické aparatury (konimetrii nebo tyndaloskopii), b) automatické a registrující přístroje (fotometry), c) přístroje ke gravimетrickému zjištění celkového prachu, d) přístroje ke gravimetrickému zjištění vdechovatelné a nevdechovatelné části prachu.

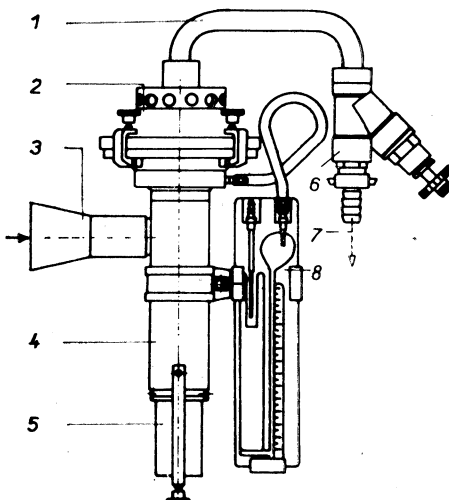


Obr. 3. Fotometr SIGRIST (1 — základní část přístroje typu UP 51 B 3, 2 — měřicí část přístroje typu 5 TNF 3, 3 — porovnávací standard, 4 — přívod znečistěného vzduchu, 5 — ventilátor a vývod vzduchu, 6 — registrační přístroj).

## 2. ČÁST EXPERIMENTÁLNÍ

Ke stanovení prašnosti a zhodnocení disperzity získaných vdechovatelných a nevdechovatelných částí prachu byly použity tyto přístroje:

a) *Fotometr SIGRIST* (obr. 3), výrobce fa Sigrist-Photometer A. G., Zürich, Švýcarsko. Skládá se ze základní a měřicí části, které jsou spolu sešroubovány a upevněny na pevném rámu. Zdroj světla napájený ze sítě o 220 V vysílá svazek světla na zrcadlo, které vytvoří asi  $600\times$  za sekundu střídavě měřicí a porovnávací papr-

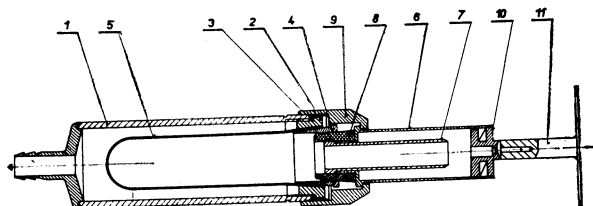


Obr. 4. Dvoustupňový prachoměr BAT I (1 — odvod vzduchu zbaveného prachu, 2 — filtrační zachycení vdechovatelného podílu, 3 — nasávání znečistěného vzduchu, 4 — cyklón, 5 — nádobka na odloučený nevdechovatelný podíl 6 — regulační ventil, 7 — připojení na vývěvu, 8 — tlakoměr).

sek. Měřicí praprsek naráží na vzorek nasávaného znečistěného vzduchu, zatím co porovnávací praprsek přichází do optiky stabilního rozptylového standardu. Měřicí praprsek prošlý znečistěným vzduchem vstupuje střídavě s praprskem prošlým rozptylovacím standardem do fotocely, která přeměňuje nestejně světelné intenzity obou paprsků ve fotoproud; ten po zesílení pohybuje servomotorem. Pomocí mechanické měřicí clony se změní intenzita porovnávacího praprsku tak, aby oba paprsky se setkaly ve fotocele se stejnou intenzitou světla. Měřicí clona je spojena s otočnou stupnicí, což umožňuje přenos zjištěné hodnoty na stupnici a její registraci. Postavení měřicí clony se změní, jakmile změna koncentrace vznášejících se látek ve vzduchu ovlivní intenzitu měřicího praprsku.

Fotometr SIGRIST lze použít ke zjišťování polétavých částic v ovzduší v rozsahu od 0 do 1000 mg. m<sup>-3</sup>. Volbou vhodného rozptylového standardu může však být měřicí rozsah snížen, např. jen od 0 do 1 mg. m<sup>-3</sup>. Celkovou hmotnost přístroje okolo 80 kg lze při dopravě rozdělit na asi 50 kg části základní a asi 30 kg části měřicí.

b) *Dvoustupňový prachomér BAT I* (obr. 4), výrobce fa Büttner-Schilde-Haas A.G., 415 Krefeld, NSR. Přístroj se skládá z cyklónu, jenž má funkci předolučovače, a z filtru jako dodatečného odlučovače. Vzduch s prachem vstupuje se značnou rychlosí do cyklónu, kde tangenciálním pohybem se odloučí hrubší podíly prachu (nevdechovatelná část) a padají do sbírací jímky. Vzduch s jemnými podíly prachu proudí do filtračního talíře, který je pevně spojen s cyklónem. Vdechovatelná část prachu se zachytí na jemném filtru, který je podporován drátěným sítem a přidržován těsnícím kroužkem. Prach se usazuje na filtru rovnoměrně, protože do cesty proudí



Obr. 5. Dvoustupňový prachomér DP 50  
 (1 — patrona, 2 — sedlo, 3 — kroužek, 4 — kuželka, 5 — filtr, 6 — pouzdro, 7 — trubka, 8 — kónus, 9 — převlečná matice, 10 — vírnik, 11 — ochranný kryt).

čího vzduchu je postaven rozdělovací kužel nad ponornou trubkou. Vzduch již zcela zbavený prachu proudí pak přes ventil do plynometru, odkud je nasáván vývěrou o výkonu 10 m<sup>3</sup>. h<sup>-1</sup>. Po skončení odběru vzorku jsou zjištěny hmotnostní přírůstky ve sbírací jímce a na filtru. Ze známého množství prošlého vzduchu a hmotnostních přírůstků jsou pak vypočteny koncentrace celkového množství a vdechovatelné i nevdechovatelné části prachu v 1 m<sup>3</sup> prošlého vzduchu.

Vlastní prachomér má hmotnost okolo 7 kg, hmotnost vývěry pro potřebný výkon je však od 32 až asi do 70 kg podle druhu.

c) *Dvoustupňový prachomér DP 50* (obr. 5), výrobce Vědeckovýzkumný uhelný ústav, Ostrava-Radvanice. Tento přístroj pracuje na stejném principu jako předcházející. Jako předolučovač je opět použit cyklón, do kterého vstupuje znečistěný vzduch přes vírnik. Působením odstředivé sily se odlučují hrubší podíly prachu a usadí se v dolní části cyklónu. Vzduch s jemnými podíly prachu proudí odvodovou

trubicí do spodní části, kde jsou na tvarovaném filtru PC zachyceny vdechovatelné části prachu. Čistý vzduch je pak odsáván přes měřicí průtoku vzduchu. Průtok vzduchu musí být udržován v rozmezí  $50 \pm 5$  litrů za min. Zjištování koncentrace prachu se provádí obdobně jako u předcházejícího přístroje. Prachomér má hmotnost jen okolo 750 g, k tomu potřebná vývěva asi 15 kg.

d) *Granulometr TUR ZG 2*, výrobek fy VEB Transformatoren- und Röntgenwerk, Dresden, NDR. Ze vzorku prachu, u něhož má být zjištěna disperzita, a z čistého elektrolytu 3%ního  $\text{Na}_4\text{P}_2\text{O}_7$  se vytvoří stejnorodá suspenze, jejíž stále stejně množství je prosáváno měrnou tryskou s elektrickým polem o velkém napětí. Při průchodu částice prachu dochází ke změně elektrického odporu mezi elektrodami. Změna, která je úměrná objemu částice, způsobuje napěťový impuls, jehož amplituda charakterizuje objem částice. Po vhodném zesílení se impulsy dělí v analyzátoru podle amplitud, zobrazují se na obrazovce osciloskopu a registrují počitadly nebo dekadickými sčítacími elektronikami. Nejmenší určitelné částice mají průměr  $1,8 \mu\text{m}$ .

Ve dvoustupňových prachoměrech je významná kvalita použitých filtrů, na nichž se zachycuje vdechovatelná část prachu. V přístroji BAT I je výrobcem předepsán membránový filtr 11 302 z nitrátové celulosy od fy Sartorius Membranfilter, Göttigen, NSR, který dle [5] má průměrnou plošnou hmotnost  $42 \text{ g} \cdot \text{m}^{-2}$ , teplotní odolnost do  $130^\circ\text{C}$  a hydraulický odpor při průtoku  $0,34 \text{ m} \cdot \text{s}^{-1}$  je  $6400 \text{ N} \cdot \text{m}^{-2}$ . Slovenské lučobné závody, Hnúšťa, vyrábějí filtrační látku PC z organických mikrovláken na podkladě chlorovaného polyvinylchloridu, nanesených na textilní povlak; vyzkazují plošnou hmotnost okolo  $208 \text{ g} \cdot \text{m}^{-2}$  a odpor za stejných podmínek okolo  $710 \text{ N} \cdot \text{m}^{-2}$ . Z této látky se připravují vysoko účinné ploché i tvarované filtry, které jsou hydrofobní a beze zbytku se rozpouštějí v mnoha organických rozpouštědlech, což umožňuje kvantitativní oddělení zachyceného prachu pro účely dalšího chemického zpracování. Jejich použití při teplotách jen asi do  $60^\circ\text{C}$  bylo u nás schváleno pro polétavé prachy výnosem hlavního hygienika ČSR z 30. 4. 1971.

Nejdříve bylo provedeno porovnání dvoustupňových prachoměrů DP 50 a BAT I v pracovním prostředí mletí černého uhlí okolo nárazového mlýna SU-4, přičemž vzdálenost obou přístrojů od sebe byla 25 cm a uzavřená zkušební hala dovolovala se vyhnout vnějším vlivům počasí i průvanu [6]. Ve zjištění celkového množství polétavého prachu lišily se výsledky obou přístrojů za použití stejných filtrů PC až o 2,5%, za použití filtrů PC a 11 302 až o 6 %, přičemž v prvním případě poskytl BAT I průměrné hodnoty nepatrne vyšší, ve druhém případě mírně nižší ve srovnání s pří-

Tab. 1. Korelační vztahy mezi výsledky s přístroji DP 50 (A) a BAT I (B) získanými bez vlivu povětrnosti podle<sup>a</sup>

|   |
|---|
| a) Obsah celkového množství při použití PC filtrů u DP 50 a filtrů 11302 u BAT I:<br>$A = 1,0298 \cdot B + 0,3428 \pm 0,5391 \cdot K$<br>$r = 0,9998$     |
| b) Obsah celkového množství prachu při použití PC filtrů v obou přístrojích:<br>$A = 0,9818 \cdot B + 0,0805 \pm 0,560 \cdot K$<br>$r = 0,9998$           |
| c) Obsah vdechovatelného podílu při použití PC filtrů u DP 50 a filtrů 11302 u BAT I:<br>$A = 1,1359 \cdot B - 0,1692 \pm 0,7805 \cdot K$<br>$r = 0,9719$ |
| d) Obsah vdechovatelného podílu při použití PC filtrů v obou přístrojích:<br>$A = 0,9939 \cdot B - 0,0059 \pm 0,0529 \cdot K$<br>$r = 0,9998$             |

K pro 99%ní pravděpodobnost je 2,57, pro 95%ní pravděpodobnost 1,96.

strojem DP 50. Ve vdechovatelných podilech se výsledky stanovení při použití jen filtrů PC lišily až o 17,5 %, při použití filtrů PC a 11 302 až o 31 %. Porovnání korelačních vztahů podle [6] je uvedeno v tab. 1.

Poté byly nasazeny tytéž dvoustupňové prachoměry, avšak pouze s PC-filtry, na vybraných pracovních místech 3 uhlíkových a 1 smolné koksovny. Dvě třetiny pracovišť byly otevřené a vystavené přímému vlivu povětrnosti, jedna třetina pracovišť byla částečně otevřena. Přehled výsledků porovnávacích měření na 8 pracovištích uhlíkových koksoven je uveden v tab. 2, na 4 pracovištích smolné koksovny

Tab. 2. Porovnávací měření mezi přístroji DP 50 a BAT I ve vybraných pracovištích uhlíkových koksoven

| Pracoviště číslo | Počet dvojitých odberů |                        | DP 50  |   |   |   | BAT I  |   |   |   |
|------------------|------------------------|------------------------|--|---|---|---|--|---|---|---|
|                  |                        |                        | Množství prosátého vzduchu [m <sup>3</sup> ] | Celkové množství prachu [mg.m <sup>-3</sup> ] | Vdechovatelná část prachu [mg.m <sup>-3</sup> ] | Podíl vdechovatelné části k celkovému množství prachu [%] | Množství prosátého vzduchu [m <sup>3</sup> ] | Celkové množství prachu [mg.m <sup>-3</sup> ] | Vdechovatelná část prachu [mg.m <sup>-3</sup> ] | Podíl vdechovatelné části k celkovému množství prachu [%] |
| koksovna I       |                        |                        |  |   |   |   |  |   |   |   |
| 1                | 14                     | průměr nejméně nejméně | 7,444<br>11,758<br>2,931                     | 5,42<br>11,87<br>0,94                         | 1,52<br>4,90<br>0,20                            | 28,03<br>41,70<br>8,10                                    | 25,162<br>40,762<br>11,071                   | 4,85<br>12,83<br>0,87                         | 1,55<br>4,97<br>0,25                            | 25,90<br>47,81<br>6,81                                    |
| 2                | 8                      | průměr nejméně nejméně | 8,829<br>10,614<br>6,711                     | 22,91<br>59,83<br>5,73                        | 5,35<br>12,52<br>0,90                           | 23,35<br>33,57<br>14,75                                   | 29,141<br>39,277<br>20,023                   | 23,09<br>54,19<br>4,19                        | 5,68<br>11,71<br>0,71                           | 24,63<br>30,28<br>16,94                                   |
| koksovna II      |                        |                        |  |   |   |   |  |   |   |   |
| 3                | 13                     | průměr nejméně nejméně | 8,465<br>10,556<br>7,096                     | 22,26<br>36,01<br>5,69                        | 4,56<br>8,69<br>0,62                            | 20,47<br>27,77<br>10,89                                   | 28,619<br>36,526<br>25,750                   | 22,83<br>34,51<br>7,41                        | 4,59<br>7,75<br>0,98                            | 20,14<br>38,60<br>9,57                                    |
| 4                | 8                      | průměr nejméně nejméně | 8,684<br>9,964<br>6,077                      | 10,78<br>14,46<br>5,18                        | 4,43<br>7,69<br>2,00                            | 41,06<br>64,45<br>16,80                                   | 28,721<br>32,659<br>21,294                   | 10,88<br>14,12<br>5,49                        | 4,45<br>7,01<br>2,23                            | 40,87<br>62,58<br>17,18                                   |
| 5                | 6                      | průměr nejméně nejméně | 8,955<br>10,451<br>7,232                     | 36,39<br>54,43<br>18,43                       | 7,08<br>11,08<br>2,74                           | 19,45<br>27,68<br>6,90                                    | 30,617<br>35,738<br>25,003                   | 36,17<br>53,51<br>13,86                       | 7,19<br>11,96<br>3,16                           | 19,87<br>32,07<br>7,68                                    |
| koksovna III     |                        |                        |  |   |   |   |  |   |   |   |
| 6                | 12                     | průměr nejméně nejméně | 8,694<br>9,604<br>7,212                      | 18,63<br>67,34<br>8,71                        | 7,04<br>21,82<br>1,98                           | 37,78<br>55,53<br>18,81                                   | 29,732<br>34,002<br>25,708                   | 18,95<br>66,74<br>8,33                        | 6,72<br>17,53<br>2,02                           | 35,48<br>55,92<br>23,41                                   |
| 7                | 16                     | průměr nejméně nejméně | 7,828<br>9,148<br>6,013                      | 5,07<br>10,31<br>1,95                         | 1,82<br>3,97<br>0,72                            | 35,89<br>54,60<br>18,51                                   | 26,599<br>30,076<br>20,511                   | 5,25<br>11,74<br>1,48                         | 1,79<br>4,02<br>0,83                            | 34,10<br>50,00<br>16,87                                   |
| 8                | 12                     | průměr nejméně nejméně | 7,864<br>9,876<br>6,483                      | 0,45<br>0,79<br>0,17                          | 0,34<br>0,50<br>0,41                            | 75,50<br>94,34<br>56,00                                   | 26,636<br>31,327<br>22,537                   | 0,51<br>1,03<br>0,11                          | 0,36<br>0,83<br>0,10                            | 69,83<br>81,81<br>44,68                                   |

Tab. 3. Porovnávací měření mezi přístroji DP 50 a BAT I ve vybraných pracovištích smolné koksovny

|    |    | Pracoviště číslo       | Počet avolitých odberů   | Rozsah                | DP 50  |   |   |   | BAT I  |   |   |   |
|----|----|------------------------|--------------------------|-----------------------|--|---|---|---|--|---|---|---|
|    |    |                        |                          |                       | Množství prosátého vzdachu [m <sup>3</sup> ] | Celkové množství prachu [mg.m <sup>-3</sup> ] | Vdechovatelná část prachu [mg.m <sup>-3</sup> ] | Podíl vdechovatelné části k celkovému množství prachu [%] | Množství prosátého vzdachu [m <sup>3</sup> ] | Celkové množství prachu [mg.m <sup>-3</sup> ] | Vdechovatelná část prachu [mg.m <sup>-3</sup> ] | Podíl vdechovatelné části k celkovému množství prachu [%] |
| 9  | 17 | průměr nejvíce nejméně | 9,276<br>11,330<br>7,683 | 0,65<br>1,24<br>0,21  | 0,23<br>0,60<br>0,08                         | 35,27<br>78,37<br>8,06                        | 30,675<br>35,330<br>26,374                      | 0,68<br>1,26<br>0,19                                      | 0,20<br>0,38<br>0,07                         | 28,91<br>50,00<br>6,48                        |   |   |
| 10 | 18 | průměr nejvíce nejméně | 9,091<br>10,760<br>4,501 | 0,62<br>1,11<br>0,27  | 0,16<br>0,46<br>0,05                         | 27,24<br>67,74<br>10,86                       | 30,026<br>35,770<br>14,963                      | 0,63<br>1,16<br>0,29                                      | 0,17<br>0,39<br>0,05                         | 27,92<br>65,52<br>11,63                       |   |   |
| 11 | 17 | průměr nejvíce nejméně | 8,717<br>10,511<br>7,093 | 0,54<br>1,37<br>0,18  | 0,15<br>0,31<br>0,02                         | 38,17<br>50,00<br>10,52                       | 28,662<br>35,569<br>23,033                      | 0,53<br>1,28<br>0,16                                      | 0,15<br>0,31<br>0,02                         | 35,02<br>50,00<br>11,76                       |   |   |
| 12 | 17 | průměr nejvíce nejméně | 8,543<br>9,902<br>6,310  | 6,27<br>14,62<br>0,91 | 1,90<br>5,90<br>0,22                         | 30,39<br>46,73<br>16,57                       | 29,747<br>33,589<br>21,212                      | 6,55<br>16,71<br>0,98                                     | 1,98<br>6,68<br>0,16                         | 30,28<br>42,42<br>16,28                       |   |   |

Tab. 4. Průměrná početní a hmotnostní disperzita vdechovatelných částic prachu v přístrojích DP 50 a BAT I v %

| Velikost částic [ $\mu\text{m}$ ] | Koksárenská baterie |              |           |              | Třídírna koksu |              |           |              | Smolná baterie |              |           |              |
|-----------------------------------|---------------------|--------------|-----------|--------------|----------------|--------------|-----------|--------------|----------------|--------------|-----------|--------------|
|                                   | DP 50               |              | BAT I     |              | DP 50          |              | BAT I     |              | DP 50          |              | BAT I     |              |
|                                   | po- četní           | hmot- nostní | po- četní | hmot- nostní | po- četní      | hmot- nostní | po- četní | hmot- nostní | po- četní      | hmot- nostní | po- četní | hmot- nostní |
| 1,83—2,17                         | 5,08                | 2,05         | 8,20      | 3,29         | 3,25           | 1,86         | 5,09      | 2,18         | 8,50           | 2,40         | 9,00      | 3,08         |
| 2,17—2,74                         | 61,90               | 37,30        | 62,50     | 43,00        | 61,20          | 31,96        | 57,00     | 35,30        | 61,07          | 40,01        | 53,01     | 32,10        |
| 2,74—3,13                         | 22,75               | 21,82        | 21,57     | 22,10        | 21,53          | 19,35        | 28,60     | 29,47        | 20,76          | 17,60        | 24,02     | 19,79        |
| 3,13—3,71                         | 5,58                | 8,96         | 4,25      | 7,52         | 7,39           | 8,85         | 4,56      | 9,64         | 5,57           | 9,16         | 7,67      | 10,92        |
| 3,71—4,34                         | 2,28                | 5,89         | 1,85      | 5,33         | 2,96           | 6,82         | 2,16      | 5,74         | 1,71           | 6,58         | 3,54      | 8,96         |
| 4,34—4,83                         | 0,78                | 3,98         | 0,49      | 3,08         | 1,49           | 5,07         | 1,55      | 4,08         | 0,75           | 4,97         | 1,15      | 5,26         |
| 4,83—5,36                         | 0,56                | 2,94         | 0,44      | 3,07         | 0,92           | 4,30         | 0,28      | 3,51         | 0,73           | 3,81         | 0,63      | 4,23         |
| 5,36—5,90                         | 0,24                | 2,90         | 0,18      | 2,87         | 0,29           | 3,20         | 0,19      | 2,08         | 0,26           | 2,91         | 0,26      | 4,11         |
| 5,90—6,42                         | 0,23                | 2,85         | 0,16      | 2,15         | 0,24           | 3,16         | 0,18      | 1,93         | 0,18           | 2,73         | 0,24      | 2,87         |
| 6,42—6,89                         | 0,20                | 2,33         | 0,15      | 2,08         | 0,18           | 3,14         | 0,14      | 1,66         | 0,16           | 2,34         | 0,18      | 2,60         |
| 6,89—7,89                         | 0,19                | 2,22         | 0,12      | 1,96         | 0,16           | 2,90         | 0,09      | 1,48         | 0,13           | 2,16         | 0,14      | 2,19         |
| 7,89—8,68                         | 0,09                | 2,03         | 0,05      | 1,78         | 0,14           | 2,81         | 0,09      | 1,36         | 0,08           | 1,87         | 0,10      | 2,01         |
| 8,68—9,93                         | 0,05                | 1,88         | 0,03      | 1,25         | 0,10           | 2,28         | 0,05      | 1,25         | 0,06           | 1,65         | 0,05      | 1,56         |
| 9,93—10,95                        | 0,04                | 1,40         | 0,01      | 0,52         | 0,08           | 2,22         | 0,01      | 0,32         | 0,03           | 1,40         | 0,01      | 0,32         |
| 10,95—11,79                       | 0,02                | 0,96         | —         | —            | 0,05           | 1,15         | —         | —            | 0,01           | 0,41         | —         | —            |
| 11,79—12,88                       | 0,01                | 0,49         | —         | —            | 0,02           | 0,93         | —         | —            | —              | —            | —         | —            |
| 12,88—13,78                       | —                   | —            | —         | —            | —              | —            | —         | —            | —              | —            | —         | —            |

v tab. 3, ukázky disperzity vdechovatelných částí prachu pak v tab. 4. Matematické zpracování výsledků pro každé pracoviště poskytlo jednak rovnice vzájemných vztahů (tab. 5 a 6) a jednak největší rozdíly v jednotlivých stanoveních celkové prašnosti i vdechovatelného podílu (tab. 7).

Tab. 5. Vzájemný vztah výsledků stanovení celkové prašnosti na vybraných pracovištích koksoven mezi přístrojem DP 50 (A) a BAT I (B). Konstanta K pro 95%ní pravděpodobnost je 1,96

| Pracoviště<br>čís. | Matematický vztah                                |              |
|--------------------|--|--------------|
| Uhelné koksovny    |  |              |
| 1                  | $A = 0,9422 \cdot B + 0,1852 \pm 0,7592 \cdot K$ | $r = 0,9833$ |
| 2                  | $A = 1,0353 \cdot B - 0,9876 \pm 3,4911 \cdot K$ | $r = 0,9849$ |
| 3                  | $A = 0,9966 \cdot B - 0,4985 \pm 2,2717 \cdot K$ | $r = 0,9648$ |
| 4                  | $A = 1,0855 \cdot B - 1,0282 \pm 1,4385 \cdot K$ | $r = 0,9099$ |
| 5                  | $A = 0,8918 \cdot B + 4,1321 \pm 2,7376 \cdot K$ | $r = 0,9842$ |
| 6                  | $A = 1,0030 \cdot B - 0,3734 \pm 2,6800 \cdot K$ | $r = 0,9869$ |
| 7                  | $A = 0,8940 \cdot B + 0,3730 \pm 0,9968 \cdot K$ | $r = 0,9322$ |
| 8                  | $A = 0,6377 \cdot B + 0,1230 \pm 0,0774 \cdot K$ | $r = 0,9016$ |
| Smolná koksovna    |  |              |
| 9                  | $A = 0,8763 \cdot B + 0,0517 \pm 0,1020 \cdot K$ | $r = 0,9479$ |
| 10                 | $A = 0,9360 \cdot B + 0,0240 \pm 0,1296 \cdot K$ | $r = 0,8918$ |
| 11                 | $A = 1,1111 \cdot B - 0,0562 \pm 0,0950 \cdot K$ | $r = 0,9673$ |
| 12                 | $A = 0,9371 \cdot B + 0,1361 \pm 0,9233 \cdot K$ | $r = 0,9831$ |

Tab. 6. Vzájemný vztah výsledků stanovení vdechovatelného podílu polétavého prachu na vybraných pracovištích koksoven mezi přístrojem DP 50 (A) a BAT I (B). Konstanta K pro 95%ní pravděpodobnost je 1,96

| Pracoviště<br>čís. | Matematický vztah                                |              |
|--------------------|--|--------------|
| Uhelné koksovny    |  |              |
| 1                  | $A = 1,0245 \cdot B - 0,0739 \pm 0,1996 \cdot K$ | $r = 0,9935$ |
| 2                  | $A = 0,9865 \cdot B - 0,2607 \pm 1,2594 \cdot K$ | $r = 0,9680$ |
| 3                  | $A = 0,9530 \cdot B + 0,1754 \pm 0,8786 \cdot K$ | $r = 0,9202$ |
| 4                  | $A = 1,0302 \cdot B - 0,1531 \pm 0,4908 \cdot K$ | $r = 0,9766$ |
| 5                  | $A = 0,9528 \cdot B + 0,2261 \pm 1,2500 \cdot K$ | $r = 0,9608$ |
| 6                  | $A = 1,2990 \cdot B - 1,6940 \pm 1,0570 \cdot K$ | $r = 0,9821$ |
| 7                  | $A = 0,9792 \cdot B + 0,0654 \pm 0,4110 \cdot K$ | $r = 0,9276$ |
| 8                  | $A = 0,3934 \cdot B + 0,1997 \pm 0,1016 \cdot K$ | $r = 0,6565$ |
| Smolná koksovna    |  |              |
| 9                  | $A = 1,0216 \cdot B + 0,0275 \pm 0,0827 \cdot K$ | $r = 0,7933$ |
| 10                 | $A = 1,2071 \cdot B - 0,0456 \pm 0,0406 \cdot K$ | $r = 0,9378$ |
| 11                 | $A = 0,8712 \cdot B + 0,0080 \pm 0,0469 \cdot K$ | $r = 0,8372$ |
| 12                 | $A = 0,8607 \cdot B + 0,1998 \pm 0,1347 \cdot K$ | $r = 0,9971$ |

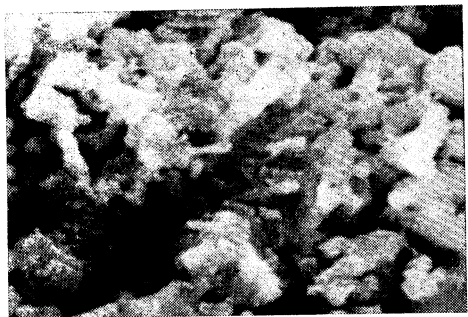
Tab. 7. Největší rozdíly v jednotlivých stanoveních celkové prašnosti a vdechovatelných podílů prachu mezi přístroji DP 50 a BAT I v %. Za základ vzaty hodnoty zjištěné v přístroji DP 50

| Pracoviště čís. | Celkové množství prachu | Vdechovatelná část prachu |
|-----------------|-------------------------|---------------------------|
| 1               | od —12,5 do +28,3       | od —31,1 do + 51,4        |
| 2               | od —27,2 do +22,7       | od —21,1 do + 51,1        |
| 3               | od —15,7 do +32,7       | od —33,7 do + 58,0        |
| 4               | od —13,4 do +18,1       | od — 8,8 do + 15,2        |
| 5               | od —24,7 do + 9,3       | od —13,7 do + 19,1        |
| 6               | od —21,6 do +33,6       | od —19,7 do + 53,8        |
| 7               | od —23,9 do +52,6       | od —26,0 do + 32,8        |
| 8               | od —63,8 do +47,1       | od —56,2 do + 76,5        |
| 9               | od —27,0 do +38,0       | od —44,9 do + 35,7        |
| 10              | od —24,7 do +48,7       | od —43,7 do +185,9        |
| 11              | od —24,0 do +39,1       | od —19,4 do + 50,0        |
| 12              | od —14,0 do +30,7       | od —36,8 do + 16,2        |

Rastrový elektronový mikroskop — ve srovnání s klasickou elektronovou mikroskopí — umožňuje pozorovat plasticky vzhled prašných částic po předchozím napaření zlata v aerosolu na jejich povrch. Vychylovací cívky pohybují svazkem primárních elektronů po čtvercovém poli objektivu. Sekundární elektrony, vzniklé po dopadu primárních elektronů na vzorek prachu, jsou spolu s částí odražených elektronů přijímány snímačem, kde se přemění na světelné impulsy, ty pak na elektrické, které se zesílí a přeměňují ve světelný obraz luminiscenční obrazovky. V japonském rastrovém elektronovém mikroskopu JSM-50A byly zhotoveny obrázky vdechovatelných a nevdechovatelných podílů získaných dvoustupňovými odlučovači prachu ve všech 12 pracovištích koksoven. Ukázky z nich jsou uvedeny v obrázcích 6—13.

Tab. 8. Rovnice vzájemných vztahů celkového množství prachu mezi přístroji DP 50 (A), BAT I (B) a SIGRIST (C), K pro 95%ní pravděpodobnost = 1,96

| Pracoviště čís.      | Matematický vztah                                |              |
|----------------------|--|--------------|
| mezi DP 50 a SIGRIST |  |              |
| 6                    | $A = 1,2680 \cdot C - 1,3230 \pm 2,0610 \cdot K$ | $r = 0,9923$ |
| 7                    | $A = 1,0330 \cdot C + 0,4377 \pm 0,5768 \cdot K$ | $r = 0,9781$ |
| 8                    | $A = 0,9863 \cdot C + 0,0547 \pm 0,0639 \cdot K$ | $r = 0,9336$ |
| mezi BAT I a SIGRIST |  |              |
| 6                    | $B = 1,2450 \cdot C - 0,6365 \pm 2,3270 \cdot K$ | $r = 0,9898$ |
| 7                    | $B = 1,0590 \cdot C + 0,5049 \pm 0,7932 \cdot K$ | $r = 0,9610$ |
| 8                    | $B = 1,4540 \cdot C - 0,0698 \pm 0,0578 \cdot K$ | $r = 0,9732$ |



Obr. 6. Vdechovatelná část prachu  
z uhelné služby koksovny I  
(zvětšeno 7500×).



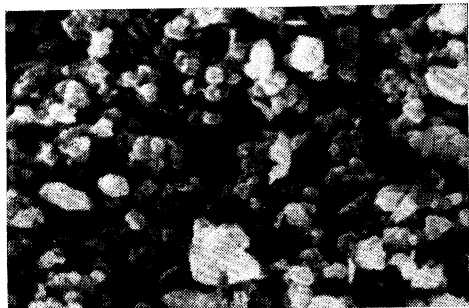
Obr. 7. Nevdechovatelný polétavý prach  
z uhelné služby koksovny I  
(zvětšeno 7500×).



Obr. 8. Vdechovatelný prach  
na horním podlaží baterie koksovny II  
(zvětšeno 7500×).



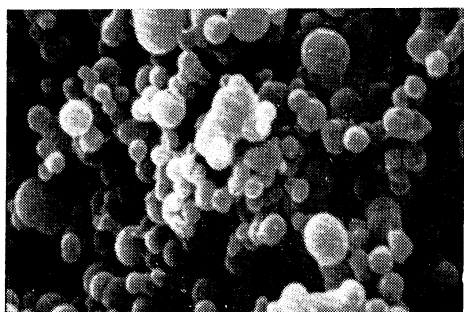
Obr. 9. Nevdechovatelný podíl prachu  
na horním podlaží baterie koksovny II  
(zvětšeno 7500×).



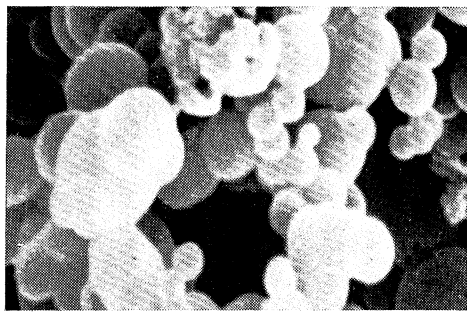
Obr. 10. Vdechovatelný koksový prach  
z koksovny III  
(zvětšeno 7500×).



Obr. 11. Nevdechovatelný koksový prach  
z koksovny III  
(zvětšeno 7500×).



Obr. 12. Vdechovatelný podíl polétavého prachu na horním podlaží smolné baterie (zvětšeno 7500×).



Obr. 13. Nevdechovatelný podíl polétavého prachu na horním podlaží smolné baterie (zvětšeno 7500×).

Na pracovištích č. 6, 7 a 8 jsme současně s přístroji DP 50 a BAT I nasadili fotometr SIGRIST a provedli 40 vzájemných porovnání na celkový obsah množství polétavého prachu. Rovnice vzájemných vztahů a největší rozdíly v jednotlivých výsledcích obsahují tab. 8 a 9.

Tab. 9 Největší rozdíly v jednotlivých stanoveních celkového množství polétavého prachu mezi přístroji DP 50, BAT I a SIGRIST

| Pracoviště čís.      | Rozsah v % hmot.  | Průměr v % hmot. |
|----------------------|-------------------|------------------|
| mezi DP 50 a SIGRIST |                   |                  |
| 6                    | od +2,7 do -30,9  | -15,5            |
| 7                    | od +3,4 do -33,2  | -11,6            |
| 8                    | od +9,4 do -41,2  | -10,9            |
| mezi BAT I a SIGRIST |                   |                  |
| 6                    | od +5,7 do -28,2  | -16,9            |
| 7                    | od +12,3 do -36,4 | -14,7            |
| 8                    | od -9,1 do -31,1  | -21,9            |

### 3. DISKUSE VÝSLEDKŮ

Dvoustupňové prachoměry DP 50 a BAT I vyhovují požadavkům, aby  
a) umožňovaly kromě hodnocení vdechovatelných podílů i hodnocení celkové  
prašnosti,

- b) měly dostatečnou reprodukovatelnost stanovení,
- c) dělení nasávaného prachu odpovídalo alespoň v podstatě poměru v lidském  
organismu při dýchání.

Ve srovnání s dřívější klasickou metodou jsou oba tyto dvoustupňové odlučovače  
prachu značným ulehčením ve zjišťování množství vdechovatelné části polétavého

prachu. Při větším počtu stanovení jsou průměrné výsledky obou přístrojů ve velmi dobré shodě, což je doloženo rovnicemi závislostí s vysokou korelací. U 316 vzorků získaných prosatím téměř  $5900 \text{ m}^3$  znečistěného vzduchu na pracovištích je průměrný rozdíl v celkové prašnosti jen 1,01 % hmot., z toho na uhelných koksovnách 0,66 % hmot., na smolné koksovně 3,97 % hmot. Při stanovení vdechovatelné části prachu je u stejného počtu vzorků průměrný rozdíl dokonce jen 0,46 % hmot., z toho na uhelných koksovnách o 0,17 % hmot., na smolné koksovně o 2,68 % hmot. V jednotlivých výsledečích — pravděpodobně hlavně vlivem povětrnosti — jsou však rozdíly větší, převážně v rozmezí do  $\pm 10\%$ , v menší míře i nad  $\pm 20\%$ .

Disperzita vdechovatelných podílů v přístroji BAT I je mírně užší než v přístroji DP 50.

Výhodou přístroje DP 50 je nízká cena, dobrá odlučovací účinnost i snadnost transportu na různá pracoviště. Výhodou přístroje BAT I je více než trojnásobně rychlejší získávání vzorků prachu k dalšímu hodnocení a velmi dobrá odlučovací schopnost, naproti tomu vysoká cena i hmotnost (zejména včetně odsávacího zařízení) představuje negativní stránky užití.

Přístroj SIGRIST reaguje téměř okamžitě na všechny změny v obsahu polétačích častic v ovzduší a údaje zapisuje. V porovnání s přístrojem DP 50 poskytuje však výsledky v průměru o 14,4 % nižší, s přístrojem BAT I o 16,4 % nižší. Kromě vysoké ceny je nevýhodou jeho dosti vysoká hmotnost a využití jen na místech, která jsou chráněna proti dešti a teplotám vyšším než  $40^\circ\text{C}$ .

Potvrzuje se, že množství vdechovatelné části prachu se dosti liší jednak podle pracovišť a jednak podle vlivu povětrnosti. Rastrový elektronový mikroskop JSM-50A umožňuje tvarové i velikostní rozlišení prachu na různých pracovištích.

#### 4. ZÁVĚR

Základním předpokladem účelné organizace protiprašných opatření a dosažení jejich maximálního účinku jakož i vypracování optimálního opatření v socialistické rationalizaci práce je získání pokud možno dokonalého obrazu o výskytu prachu na jednotlivých pracovištích. Nesporným pokrokem v tomto okledu se ukázalo použití dvoustupňových odlučovačů prachu DP 50 a BAT I jakož i fotometru SIGRIST, které jsou schopny rychleji než kdykoliv předtím poskytnout cenné informace. Z prověrky vyplynuly však i určité nedostatky a omezení, které je nutno zatím při využívání těchto přístrojů respektovat, v nedaleké budoucnosti lze však očekávat jejich postupné odstraňování a pak úplnou automatizaci všech úkonů.

Rastrový elektronový mikroskop velikostně i tvarově vhodně charakterizoval odlišnosti vdechovatelné i nevdechovatelné části prachu na různých pracovištích.

#### LITERATURA

- [1] *Jiráková, D., Vašíček, B.*: Přehled výsledků fyziologických a hygienických měření. NHKG, Ostrava-Kunčice, duben 1973.
- [2] *Breuer, H.*: Entwicklungen zum gravimetrischen Staubmessverfahren. = Glückauf 109, 1973, str. 390—395.
- [3] *Breuer, H., Gebhart, J., Teichert, U.*: Fotoelektrisches Messgerät zur Bestimmung der Feinstaubkonzentration. = Staub, Reinhaltung der Luft 33, 1973, č. 4, str. 182—185.
- [4] *Mašek, V.*: Disperzita koksárenského prachu. = Hutnické listy 28, 1973, č. 4, str. 233—240.
- [5] *Engels, L. H., Luckey, W.*: Messfilter — Eigenschaften und Leistungsdaten. = Staub, Reinhaltung der Luft 33, 1973, č. 1, str. 39—40.
- [6] *Mašek, V., Trytko, O., Huška, F., Smola, F.*: Porovnání dvoustupňových prachoměrů DP 50 a BATI v pracovním prostředí mletí černého uhlí. Uhli 22, 1974, č. 6. str. 247—250.

## **СУММАРНОЕ КОЛИЧЕСТВО И РЕСПИРАБЕЛЬНАЯ ФРАКЦИЯ ЛЕТУЧЕЙ ПЫЛИ В ИЗБРАННЫХ РАБОЧИХ МЕСТАХ КОКСОВЫХ ЗАВОДОВ**

*Инж. В. Маšек, к. т. н., Инж. О. Трятко*

В статье приводится опыт с использованием двухступенчатых пылеуловителей DP 50 и BAT I и регистрирующего фотометра SIGRIST при определении респирабельной фракции и суммарного количества летучей пыли и приводятся также результаты сравнительных испытаний. Работа дополнена рисунками респирабельных и нереспирабельных фракций пыли, полученных растровым электронным микроскопом JSM-50 A.

## **THE TOTAL AIR-BORNE DUST CONCENTRATION AND THE RESPIRABLE DUST CONCENTRATION AT SOME WORKING PLACES IN COKE-PRODUCTION INDUSTRY**

*Ing. V. Mašek, CSc., and Ing. O. Trytko*

The authors describe experiences with two-stage dust-collectors DP 50 and BAT I as well as with registering photometer SIGRIST used for respirable dust-concentration or total dust-concentration measurements, and publish some results of comparative tests. The pictures gained by a scanning electron-microscope showing respirable and non-respirable dusts have been added.

## **GESAMTMENGE DES FLUGSTAUBES UND DESSEN RESPIRABILER ANTEIL AUF EINIGEN ARBEITSPLÄTZEN IN KOKEREIEN**

*Ing. V. Mašek, CSc., und Ing. O. Trytko*

Die Autoren beschreiben Erfahrungen mit zweistufigen Staubabscheidern DP 50 und BAT I, sowie mit Registrierfotometer SIGRIST bei Messungen des Gesamtflugstaubgehaltes und des aspirablen Staubanteils; erwähnt werden auch Resultate diesbezüglichen Vergleichsmessungen. Dem Artikel werden auch Mikrofotografien von aspirablen sowie nichtaspirablen Staubanteilen, die mittels eines elektronischen Rastermikroskops aufgenommen worden sind, beigelegt.

## **QUANTITÉ TOTALE ET UNE FRACTION RESPIRABLE DE LA POUSSIÈRE VOLANTE DANS LES LIEUX DE TRAVAIL CHOISIS DES COKERIES**

*Ing. V. Mašek, Ing. O. Trytko*

Dans l'article présenté, on cite les expériences avec l'application des dépolluteurs biétagés DP 50 et BAT I et du photomètre enregistreur SIGRIST à la détermination d'une fraction respirable et de la quantité totale de la poussière volante comme aussi les résultats des essais de comparaison. On complète le travail avec les figures des fractions respirables et irrespirables de la poussière constatées par un microscope électronique JSM-50A.

---

### **● Švédská firma staví největší odlučovací stanici s hadicovými filtry**

Firmě Svenska Fläktfabriken, Stockholm, se v ostré mezinárodní konkurenci podařilo získat zakázku od SSSR na odlučovací stanici pro slévárenské odpadní plyny pro budovaný největší závod světa na výrobu nákladních automobilů (KAMAZ). Cena dodávky bude obnášet asi 58 miliard švédských korun.

Zařízení, první svého druhu v SSSR, bude sloužit k čištění kouřových plynů od prachu z elektrických ocelárenských pecí a obsahuje, kromě vlastního odlučovacího zařízení hadi-

cového typu, také systém pro udržování konstantního podtlaku v pecích.

Odlučovací stanice bude největší na světě — půdorysně jako hřiště kopané a vysoká jako osmipatrová budova. Celková filtrační plocha bude obnášet přes 150 000 m<sup>2</sup>. Zařízení zachytí denně přes 100 tun prachu, především kysličníky kovů a tyto pak stlačí do vhodných kulovitých pelet, které mohou být event. uskladněny pro další využití. Objemový průtok odlučovacím zařízením činí asi 8 milionů m<sup>3</sup>/h, při odlučivosti blížící se 100 %.

# MEZEROVITOST VRSTEV ČÁSTIC

ING. LEOPOLD STRUHÁR, ING. VOJTECH HLAVAČKA, CSc.

*Státní výzkumný ústav pro stavbu strojů, Běchovice*

Jednou z hlavních charakteristických veličin heterogenních dispersních systémů tekutina - tuhé částice je jednoznačně jejich mezerovitost. Nachází široké uplatnění jak v nejrůznějších teoretických úvahách, tak i v mnoha oblastech praktických aplikací. V předložené práci jsou shrnutý základní poznatky o mezerovitosti specifických kategorií těchto systémů těsných nehybných a posuvných vrstev částic. Zpracování tématu, které v naší odborné literatuře nebylo dosud komplexně provedeno, vychází z podrobných studií řady literárních pramenů a z některých dílčích experimentálních prací uskutečněných v SVÚSS Běchovice a je v úzké souvislosti s pracemi [31], [32], [33] uveřejněnými v časopise Zdravotní technika a vzducho-technika, které se týkají přestupu tepla, přenosu hmoty a tlakových ztrát ve vrstvách částic.

*Recenzoval: Doc. Ing. J. Valchář, CSc.*

Mezerovitost vrstvy částic je bezrozměrná veličina určená poměrem objemů všech volných prostorů (vyplňených tekutinou) a celkového objemu vrstvy

$$\varepsilon = \frac{V_c - V_K}{V_c}. \quad (1)$$

K některým účelům je výhodnější další, pouze formálně odlišná definice mezerovitosti. V každém bodě  $x = (x_1, x_2, x_3)$  prostoru vyplněného částicemi nechť je dána funkce  $\mu$  taková, že v těch bodech, ve kterých se nachází částice je  $\mu(x) = 0$ , jinde  $\mu(x) = 1$ ; položíme

$$\varepsilon = \frac{1}{V_c} \int_{V_c} \mu(x) dV_c. \quad (2)$$

Tento postup umožňuje zavést vedle prostorové mezerovitosti též mezerovitost plošnou nebo lineární (integrační obor může být plocha, část roviny nebo úsečka) a vyšetřovat např. průběh mezerovitosti v určitých vybraných partiích vrstvy.

Mezerovitost vrstvy částic závisí na mnoha faktorech. K nejdůležitějším se řadí geometrické podmínky dané poměrem určujících rozměrů vrstvy a částic, granulometrické složení vrstvy, tvar částic, drsnost a stav povrchu částic (případně též stěn nádoby) a konečně způsob nasypání vrstvy, který dává mezerovitosti do jisté míry náhodný charakter.

## 1. MEZEROVITOST V NEOHRA NIČENÝCH VRSTVÁCH

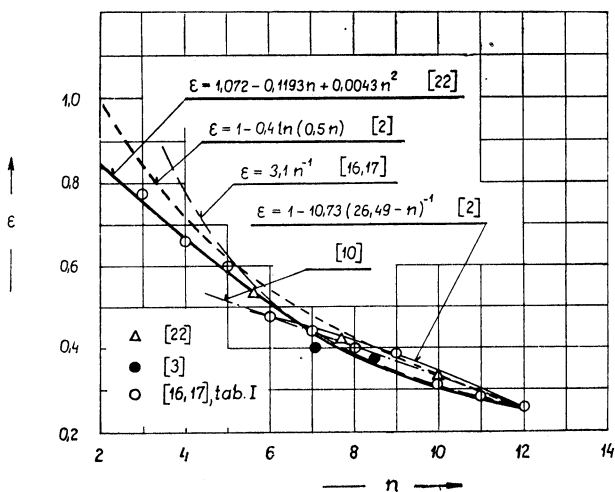
*Nehybná vrstva koulí stejného průměru*

První odhad mezerovitosti nám umožňuje posouzení pravidelných uspořádání, kterých lze vytvořit deset typů a u nichž mezerovitost lze snadno stanovit výpočtem. Jednotlivé varianty lze charakterizovat počtem kontaktů  $n$  každé kuličky se sousedními. Odpovídající hodnoty mezerovitosti uvádí tab. I.

Tab. I. Mezerovitost pravidelných uložení koulí stejného průměru

| počet kontaktů $n$ | 3      | 4      | 5      | 6      | 7      |
|--------------------|--------|--------|--------|--------|--------|
| mezerovitost       | 0,7766 | 0,6599 | 0,5969 | 0,4764 | 0,4388 |
| počet kontaktů $n$ | 8      | 9      | 10     | 11     | 12     |
| mezerovitost       | 0,3955 | 0,3866 | 0,3019 | 0,2816 | 0,2595 |

Z těchto variant lze za stabilní považovat tzv. kubické, rhombické, birhombické a oktaedrické uspořádání (6, 8, 10, 12 kontaktů). V intervalu (0,2595  $\div$  0,4764) bude tedy ležet mezerovitost vrstvy hladkých koulí náhodně uspořádaných v dosta- tečně velkém prostoru, přičemž dosažení spodní hranice je prakticky vyloučeno a též hodnoty  $\epsilon \doteq 0,47$  jsou velmi nepravděpodobné. Z řady provedených pokusů



Obr. 1. Závislost mezerovitosti vrstvy koulí na počtu kontaktů.

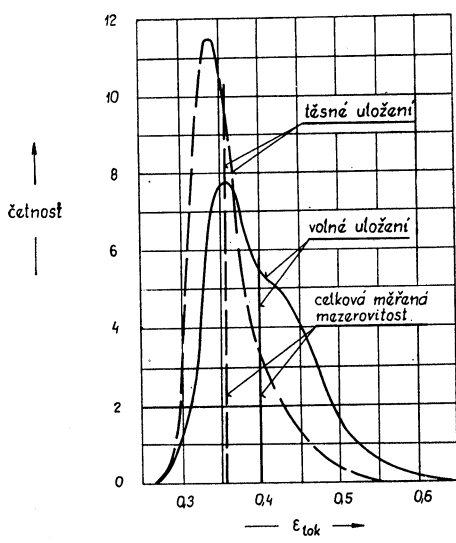
vyplývá, že interval, ve kterém se mezerovitost náhodně nasypané vrstvy za určitých podmínek pohybuje, je mnohem užší. To do značné míry souvisí se způsobem vytvoření vrstvy. Rozlišujeme těsné náhodné uložení (s mezerovitostí  $\epsilon_T$ ), získané pozvolným sypáním a průběžným střásáním a volné náhodné uložení (s mezerovitostí  $\epsilon_V$ ), které vznikne v případě, kdy jsou kuličky do nádoby vkládány postupně a valí se se svahu již uložených kuliček nebo při sypání kuliček do kapaliny. Poměr těchto veličin je přibližně dán hodnotou  $\epsilon_T/\epsilon_V = 0,91$ . Přesto, že každý způsob sypání vrstvy je sotva reprodukovatelný, shoduje se řada experimentálních prací na těchto mezních hodnotách

$$\epsilon_T \doteq 0,36, \quad \epsilon_V \doteq 0,40$$

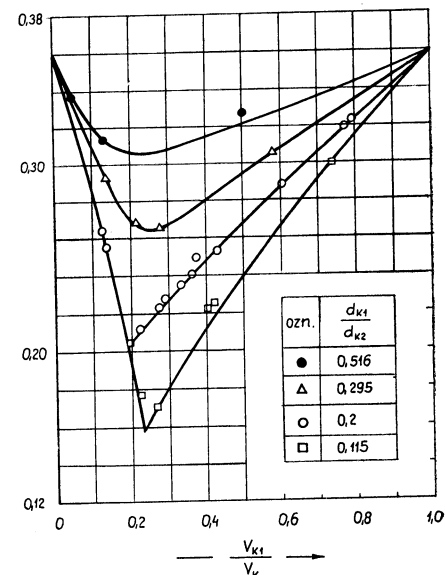
a jako pravděpodobná střední hodnota se uvádí  $\epsilon = 0,38$ .

Závislost mezi počtem kontaktů a mezerovitostí byla experimentálně zjištěna i u náhodných uspořádání, jak je patrné z obr. 1. Pro těsné náhodné uložení udává [3] pravděpodobný počet kontaktů  $n = 8,5$ , pro volné uložení je  $n = 7,1$ . Přibližně 8 kontaktů odpovídá hodnotě  $\epsilon = 0,39$ .

Představa o jednotlivých způsobech náhodného uložení plyne i z vyšetření lokální mezerovitosti v elementárních objemech ve tvaru kulové obálky kolem centrální částice. Pravděpodobnost rozložení lokální mezerovitosti ve vrstvě stejných koulí podle [10], [11] uvádí obr. 2. Pro oba typy uložení se liší střední měřená mezerovitost vrstvy od lokální mezerovitosti s maximální četností výskytu. Zejména u volného uložení má značný vliv na střední mezerovitost častý výskyt kuliček s malým počtem kontaktů se sousedními částicemi.



Obr. 2. Rozložení četnosti lokální mezerovitosti vrstvy koulí při těsném a volném náhodném uspořádání.



Obr. 3. Mezerovitost dvoukomponentní vrstvy koulí.

### Vliv tvaru a velikosti částic na mezerovitost vrstvy

Tvar částic může výrazně ovlivnit mezerovitost vrstvy. Jestliže částice mají vláknitý charakter, pak v případě, že ve vrstvě leží prakticky rovnoměrně, mezerovitost může nabývat velmi nízkých hodnot. V literatuře lze pro takový případ najít hodnoty mezerovitosti kolem 0,095. Jestliže naopak částice jsou ve vrstvě uspořádány chaoticky, pak mezerovitost může nabývat vysokých hodnot, až 0,90. Podobně u vrstev tvořených částicemi ve tvaru destiček bývají hodnoty mezerovitosti většinou dosti rozdílné. Některé orientační údaje o mezerovitosti vrstev tvořených různými částicemi jsou shrnutý na tab. II.

Tab. II. Mezerovitost vrstev s různými částicemi

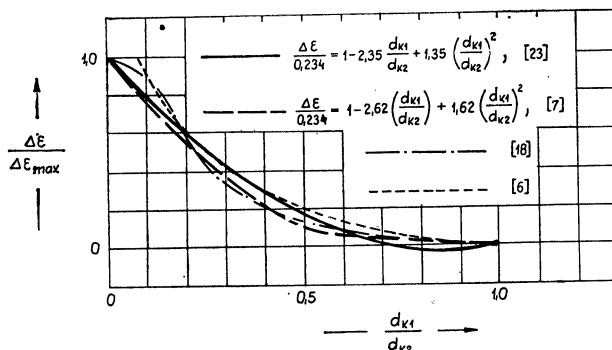
| Materiál  | Rozměr [mm]   | Mezerovitost  |
|---|---|---|
| mořský písek<br>říční písek<br>křemenný písek [9]<br>štěrk  | 0,3—0,5<br>0,3<br>0,2—0,4<br>2,2  | 0,42—0,45<br>0,385<br>0,43—0,46<br>0,48   |
| silikagel<br>granule MgO [9]<br>granule, katalyzátor [9]<br>granule $\text{Al}_2\text{O}_3$<br>granule NaCl<br>mletý koks<br>uhlí | 6,5<br>0,4—1,5<br>4,5<br>0,6—0,9<br>4,3<br>4,0—4,5<br>0,1<br>0,65<br>2,2—23,0 | 0,47—0,48<br>0,46<br>0,47<br>0,48—0,49<br>0,43<br>0,54—0,57<br>0,46<br>0,52—0,64<br>0,45—0,48                   |
| různé válečky<br>Raschigovy kroužky<br>Berlova sedélka<br>matice M 12<br>nýty<br>olověné broky<br>železný šrot                    | 4,0—34,0<br>6,5—22,0<br>8,0—20,0<br>15,3<br>9,7<br>1,3—6,4<br>0,4—0,8         | 0,36—0,49<br>0,55—0,73<br>0,65—0,76<br>0,58<br>0,56<br>0,37—0,43<br>0,37—0,39                                   |
| hrách<br>pšenice<br>žito<br>ječmen<br>oves<br>kukuřice<br>rýže<br>řepka<br>semena ředkve<br>sojové boby                           | 6,9<br>3,9<br>3,8<br>4,1<br>4,0<br>8,0<br>2,8<br>1,8<br>2,3<br>7,3            | 0,37—0,38<br>0,40—0,41<br>0,41—0,42<br>0,42—0,47<br>0,45—0,49<br>0,38—0,40<br>0,42<br>0,39—0,41<br>0,41<br>0,35 |

Mezerovitost vrstvy stejných koulí na jejich velikosti prakticky nezávisí. Poněkud jiné poměry nastanou, jestliže uvažujeme vrstvy nepravidelných částic. V tomto případě se může uplatnit vliv mechanismu tvoření vrstvy na její mezerovitost. Menší částice mají nižší pádovou rychlosť a menší poměr hmoty a povrchu. Tyto částice při sypání do nádoby dopadají s menší kinetickou energií; rovněž tak nevyváženost sil na stykovém povrchu po dopadu je u těchto částic menší. Současné působení obou jevů pak neumožní zaujmout všem částicím ve vrstvě stálou polohu, takže může docházet k přemostování a tvorbě dutin a kleneb. Z tohoto důvodu mezerovitost vrstev z jemných částic je spíše větší, ale takto vzniklé vrstvy nejsou zcela stabilní a po setřesení jejich mezerovitost může podstatně poklesnout.

#### *Mezerovitost polydispersních vrstev*

Rozdílnost ve velikosti částic je dalším faktorem, který významně ovlivňuje mezerovitost vrstvy. Je zřejmé, že u vrstev o velkém frakčním rozsahu malé částice

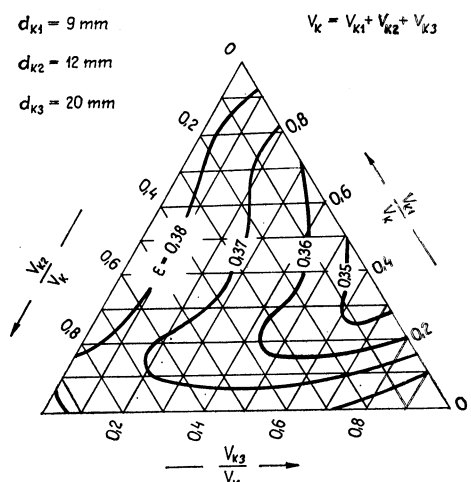
mohou zaplnit dutiny mezi velkými částicemi, takže mezerovitost může nabývat nízkých hodnot. Ve vrstvě složené z koulí dvou různých průměrů  $d_{K1}$ ,  $d_{K2}$  závisí mezerovitost soustavy jak na poměru velikosti kuliček  $d_{K1}/d_{K2}$ , tak i na procentuálním zastoupení jednotlivých složek  $v_1 = \frac{V_{K1}}{V_K}$ ,  $v_2 = \frac{V_{K2}}{V_K}$ . Údaje o mezerovitosti dvoukomponentní směsi, které uvádí [1] pro hladké kuličky, jsou znázorněny na obr. 3.



Obr. 4. Veličina  $\frac{\Delta\epsilon}{\Delta\epsilon_{\max}}$  pro dvoukomponentní vrstvu koulí.

Menší frakce má průměr  $d_{K1}$  a poměrný objem  $v_1$ , větší frakci přísluší veličiny  $d_{K2}$ ,  $v_2$ . Mezerovitost směsi je pak vynesena v závislosti na poměrném objemu menší frakce pro různé hodnoty poměru  $d_{K1}/d_{K2}$ . Jednotlivé závislosti vykazují minimum pro  $\sim 20\%$  objemu menší frakce.

Rozdíl mezerovitosti vrstvy, která obsahuje pouze částice jednoho průměru a minimální mezerovitosti dvoukomponentní směsi označíme  $\Delta\epsilon$ . Jeho hodnota je tím větší, čím více se kuličky svými průměry liší a při  $d_{K1}/d_{K2} \rightarrow 0$  dosahuje hodnoty  $\Delta\epsilon_{\max} = 0,234$ , jak plyne z následující úvahy. Volný prostor, nezaplněný většími částicemi je  $V_{c\epsilon_2}$ . V něm jsou náhodně rozmištěny menší částice s mezerovitostí  $\epsilon_1$ . Celkový volný prostor systému je  $V_c\epsilon_1\epsilon_2$ . Rozdíl mezerovitosti je potom  $\Delta\epsilon = \epsilon_1 - \epsilon_1\epsilon_2$ . Pro  $d_{K1}/d_{K2} \rightarrow 0$  můžeme položit  $\epsilon_1 = \epsilon_1' = \epsilon_2 = 0,375$  a dostaneme mezní hodnotu rozdílu  $\Delta\epsilon_{\max}$ . K posouzení vlivu velikosti kuliček na poměrný rozdíl mezerovitosti  $\Delta\epsilon/\Delta\epsilon_{\max}$  nám poslouží závislosti, znázorněné na obr. 4 podle [6], [7], [18], [23].



Obr. 5. Mezerovitost tříkomponentní vrstvy koulí.

Příklad mezerovitosti vrstvy složené z kuliček tří průměrů  $d_{K1} = 9$  mm,  $d_{K2} = 12$  mm,  $d_{K3} = 20$  mm je uveden na obr. 5. Pro takto zvolené poměry je možno vytvořit různé kombinace s ohledem na zastoupení jednotlivých složek, veličiny  $v_1, v_2, v_3$  pak tvoří osy tříkomponentního diagramu, ve kterém jsou vyneseny čáry stejné mezerovitosti. S klesajícím objemem kuliček střední velikosti  $d_{K2} = 12$  mm se snižuje ta minimální hodnota mezerovitosti, kterou je možno při vhodném poměru zbývajících komponent dosáhnout. Např. pro objem středně velkých kuliček nad 68 % je nejnižší možná mezerovitost  $\varepsilon = 0,37$ . Obsahuje-li vrstva pouze 12 % středně velkých kuliček, může mezerovitost klesnout až na hodnotu  $\varepsilon = 0,350$  pro  $v_3 = 60\%$  a  $v_1 = 28\%$ . Nejnižší hodnotu mezerovitosti však bude mít dvoukomponentní soustava, obsahující 38 % kuliček průměru 9 mm a 62 % kuliček průměru 20 mm. Proto při určování minimální mezerovitosti vícesložkové směsi kuliček postačí určit poměrný rozdíl mezerovitosti pro poměr průměrů nejmenší a největší frakce.

## 2. VRSTVY KONEČNÝCH ROZMĚRŮ

### *Radiální průběh mezerovitosti*

Při uložení částic v nádobách nebo v kanálech jsou poměry složitější, neboť celková mezerovitost je ovlivněna okrajovými podmínkami u stěny. Uvažujeme vrstvu kuliček dostatečně výšky ve válcové nádobě o poloměru  $R_z$ . Definice mezerovitosti podle rov. (2), kde za integrační obor vezmeme válcové plochy s osou shodnou s osou nádoby, s proměnným poloměrem  $r$  a konstantní výšce, nám umožňuje studovat průběh plošné mezerovitosti v závislosti na vzdálenosti od stěny  $s = R_z - r$ . Četné experimentální práce [1], [22], [24], [26], [30] ukazují, že mezerovitost klesá od teoretické hodnoty  $\varepsilon = 1,0$  až až do vzdálenosti  $s = 0,5 d_K$ , pak dochází zpravidla k menším oscilacím a přibližně ve vzdálenosti  $s = 3d_K$  se mezerovitost pozvolna ustaluje. Typické průběhy jsou znázorněny na obr. 6. Celková mezerovitost daná integrální střední hodnotou je větší než v jádře vrstvy a závisí na poměru  $d_K/D_z$ .

### *Vliv průměru a výšky vrstvy*

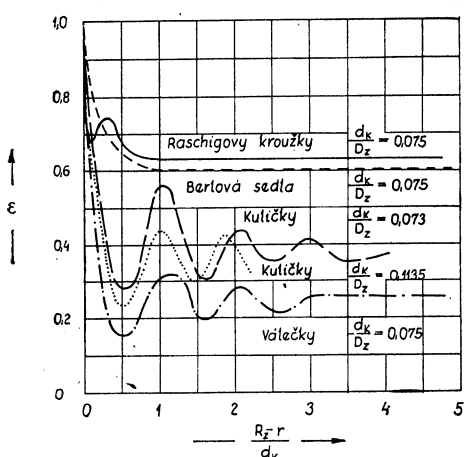
U různých typů pravidelných uspořádání lze mezerovitost vyjádřit v závislosti na vzdálenosti od stěny vztahem [27]

$$\varepsilon = 1 - K\delta(1 - \delta), \quad (3)$$

pro  $\delta = \frac{\varepsilon}{d_K} < 0,7$  (přesnější mez je dána typem uložení),  $K$  je konstanta. Za předpokladu, že obdobný tvar závislosti je přijatelný též u náhodných uspořádání, jsou v [26] vyhodnoceny výsledky řady pokusů a pro celkovou mezerovitost se doporučuje závislost

$$\varepsilon = \varepsilon_0 + 0,526(1 - \varepsilon_0) \frac{d_K}{D_z}, \quad (4)$$

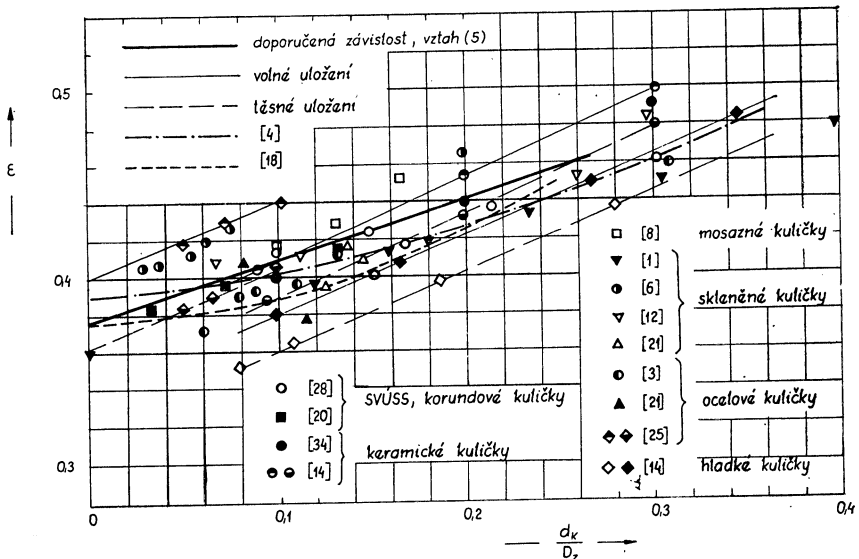
kde  $\varepsilon_0$  značí mezerovitost při  $d_K/D_z \rightarrow 0$ .



Obr. 6. Typické radiální průběhy mezerovitosti v blízkosti stěny nádoby.

Na obr. 7 je znázorněno několik experimentálních závislostí  $\varepsilon = f(d_K/D_z)$  a vynešena řada bodů z literatury i podle měření uskutečněných v SVÚSS. Údaje se týkají převážně válcových vrstev náhodně nasypaných stejných kuliček z různého materiálu a s různou kvalitou povrchu. Ukazuje se, že střední poměry lze vystihnout jednoduchou závislostí

$$\varepsilon = 0,375 + 0,329 \frac{d_K}{D_z}. \quad (5)$$



Obr. 7. Mezerovitost vrstvy koulí v nádobnách a kanálech konečných rozměrů.

Vliv rozměrů nádoby pravoúhlého průřezu na mezerovitost vrstvy kuliček není v dostupné literatuře podrobněji studován. Ukazuje se však, že poměry v pravoúhlé nádobě o stranách  $a, b$  jsou blízké poměrům v ekvivalentní válcové nádobě, jejíž průměr je definován vztahem

$$\frac{1}{D_z} = \frac{1}{a} + \frac{1}{b}. \quad (6)$$

Při posuzování vlivu výšky na mezerovitost je nutno též vzít v úvahu okrajové podmínky. Nejistým činitelem je přitom tvar horní hladiny vrstvy a zároveň i její definice. Uváděné údaje mají proto omezenou platnost pouze pro určité konkrétní případy. Tak např. v rámci některých prací prováděných v SVÚSS ([20]) byl sledován vliv výšky vrstvy na její mezerovitost; kuličky ( $d_K = 10$  mm) byly uloženy v zařízení o čtvercovém průřezu  $320 \times 320$  mm. Při výšce vrstvy  $L = 137$  mm byla zjištěna mezerovitost  $\varepsilon = 0,395$ , při  $L = 75$  mm bylo  $\varepsilon = 0,415$ . Větší změny mezerovitosti lze očekávat u vrstev s velmi malým počtem řad častic; takovéto případy se však v technické praxi vyskytují spíše ojediněle. U častic nepravidelných tvarů, zejména u fibriálních systémů, dochází se stoupající výškou vrstvy ke slehávání

materiálu, což se může též výrazně projevit na hodnotě mezerovitosti vrstvy. Mimo prameny citované v tomto odstavci je daná problematika studována např. v pracích [3], [4], [6], [8], [12], [13], [14], [18], [21], [28], [34].

### 3. MEZEROVITOST POSUVNÉ VRSTVY

Údaje o mezerovitosti těsné posuvné vrstvy kuliček vycházejí dosud převážně z poznatků získaných vyšetřováním nehybných vrstev, patrně proto, že provedení příslušných pokusů s dynamickou vrstvou a jejich spolehlivé výhodnocení je dosti obtížné. Při přechodu vrstvy z klidového stavu do pohybu dochází většinou ke zvětšení mezerovitosti, ale může se vyskytnout i opačný úkaz, podle toho, zda počáteční stav vrstvy se blížil těsnému náhodnému uložení nebo volnému. Všeobecně převládá názor, že mezerovitost posuvné vrstvy je o  $3 \div 6\%$  větší než u nepohyblivé vrstvy a že nabývá jisté hodnoty z intervalu  $(\varepsilon_T, \varepsilon_v)$ , která je spíš bližší horní hranici a nezávisí na počátečním stavu vrstvy. Pokus o kvantitativní vyjádření mezerovitosti v závislosti na charakteristických veličinách sypného prostředí v [19] vede ke vztahu

$$\varepsilon_P = \varepsilon_v \frac{1 + k \frac{\varepsilon_T}{\varepsilon_v}}{1 + k},$$

avšak pro součinitele  $k = A/(f - \tan \beta)$  (kde  $A$  je konstanta,  $f$  je koeficient vnitřního tření a  $\beta$  sypný úhel) nejsou k dispozici spolehlivější číselné hodnoty.

Citelněji se změny mezerovitosti projevují zejména při pohybu kuliček v kanálech vyznačujících se malými hodnotami poměru  $D_z/d_K$ . Hlavní podíl na nich nesou odlišné poměry v okrajové zóně u stěny. Mezerovitost posuvné vrstvy lze vyjádřit závislostí

$$\varepsilon_P = \varepsilon_N + \Delta_{st} \pm \Delta_j, \quad (7)$$

kde faktory  $\Delta_{st}$ ,  $\Delta_j$  vyjadřují změnu mezerovitosti vlivem tření částic o stěny kanálu, resp. změnu mezerovitosti v jádře vrstvy. Možnost obojího známénka u  $\Delta_j$  je ve vztahu k počátečnímu stavu vrstvy. V některých pracích sovětských autorů převládá názor, že změny mezerovitosti v jádře jsou pouze nepatrné, že u částic nepravidelného tvaru dokonce dochází k malému poklesu mezerovitosti a doporučuje se uvažovat její hodnotu o 0,02 menší než u statické vrstvy. Pro kulové částice udává [5] konstantní hodnotu v jádře vrstvy  $\varepsilon = 0,39$ .

Na základě pokusů s kuličkovým katalyzátorem ( $d_K = 4$  mm,  $\rho_K = 1350$  kg/m<sup>3</sup>) je v [15] stanovena závislost pro rozdíl sypných hmotností v nehybné a posuvné vrstvě

$$\rho_{sN} - \rho_{sP} = 430 \frac{d_K}{D_z} \left( 1 - 2 \frac{d_K}{D_z} \right). \quad (8)$$

a to za předpokladu, že změny mezerovitosti v jádře jsou zanedbatelné. Označíme-li pravou stranu rov. (8) jako  $\Delta\rho_s$  dostaneme

$$\Delta_{st} = \frac{\Delta\rho_s}{\rho_K} = 0,32 \frac{d_K}{D_z} \left( 1 - 2 \frac{d_K}{D_z} \right). \quad (9)$$

Závislost (9) je znázorněna na obr. 8. Oba uvedené vztahy však nebudou mít příliš obecnou platnost a vyhoví spíš v těch podmínkách, které jsou blízké původnímu experimentu.

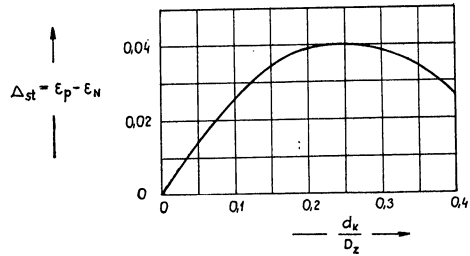
Určitý obraz o poměrech v posuvné a nepohyblivé vrstvě lze získat též sledováním hydraulických odporů při průtoku plynu. Tlaková ztráta ve vrstvě citelně závisí na mezerovitosti a je úměrná faktoru  $(1 - \varepsilon)/\varepsilon^3$ . Několik sérií pokusů bylo uskutečněno na modelech aktivních zón regeneračních výměníků tepla zkoušených v SVUSS. Bylo použito keramických kuliček o průměru  $d_K = 15$  mm a sledovaly se tlakové ztráty při prvním násypu u nepohyblivé vrstvy a pak střídavě za klidu a za pohybu kuliček (jejich rychlosť se pohybovala v mezích  $w_K = 0,01 \div 0,10$  m/s). První násyp byl získán pozvolným sypáním z poměrně velké výšky. Ve všech třech případech poklesly tlakové ztráty při prvním uvedení vrstvy do pohybu přibližně o jednu třetinu a v dalším průběhu pokusů zůstaly prakticky konstantní. Závěry

vyhodnocení těchto pokusů jsou patrné z tab. III. Ukazuje se, že vzrůst mezerovitosti oproti prvému násypu se pohybuje okolo 8 % u všech tří sledovaných variant, vyznačujících se poměrně malou hodnotou poměru  $d_K/D_z$ . Výsledky však velmi dobrě souhlasí s hodnotami vypočtenými pomocí vztahů (7), (9).

Informativní představu o vnitřní struktuře vrstvy kuliček pohybujících se v úzkém kanále složitějšího geometrického tvaru dávají časové průběhy výstupní rychlosti protékajícího vzduchu znázorněné pro jeden konkrétní případ na obr. 9. Pozorované pulsace potvrzují hypotézu, že posuv kuliček v úzkém kanálu se vyznačuje neustá-

Tab. III. Vyhodnocení mezerovitosti posuvné vrstvy z tlakové ztráty a konfrontace s vypočtenými hodnotami.

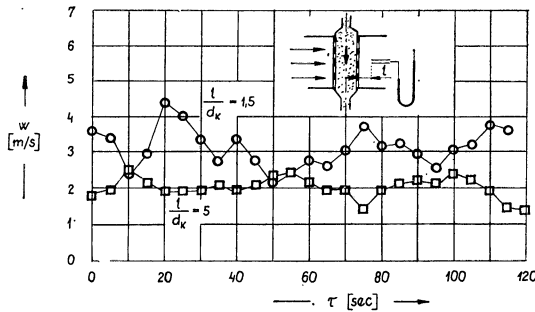
| Označení varianty uspořádání   | A     | B     | C     |
|--|-------|-------|-------|
| Poměr průměru kuliček a ekvivalentního průměru vrstvy  | 0,166 | 0,150 | 0,300 |
| Mezerovitost $\varepsilon_N$ prvého násypu, stanovená z rozměru kanálu, hmoty náplně a známé měrné hmotnosti materiálu kuliček | 0,416 | 0,400 | 0,460 |
| Průměrný pokles tlakových ztrát při prvním uvedení vrstvy do pohybu  | 34 %  | 33 %  | 33 %  |
| Mezerovitost posuvné vrstvy stanovená pomocí faktoru $(1 - \varepsilon)/\varepsilon^3$ z poklesu tlakových ztrát               | 0,450 | 0,430 | 0,496 |
| Mezerovitost posuvné vrstvy stanovená na základě vztahů (7), (9)   | 0,451 | 0,433 | 0,498 |



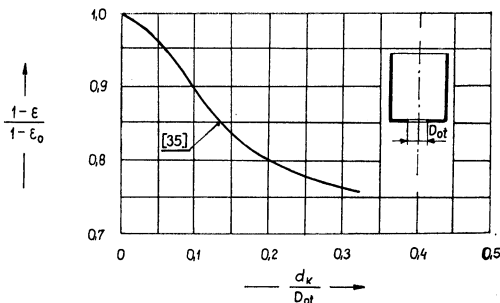
Obr. 8. Vliv tření částic o stěny kanálu na mezerovitost posuvné vrstvy.

lým tvořením elementárních kléneb, které se v zápětí rozpadají a způsobují tak v každém místě vrstvy lokální změny mezerovitosti. Podle kolísání tlakové ztráty lze odhadnout změny celkové mezerovitosti v rozmezí asi  $1 \div 2 \%$ .

Všechny předchozí úvahy o mezerovitosti vrstvy byly provedeny za předpokladu, že uvažovaný úsek vrstvy není ovlivněn výstupním otvorem. Mezerovitost v rovině otvoru je větší než v ostatní části vrstvy, neboť při výtoku čistic dochází



Obr. 9. Příklad časového průběhu lokální rychlosti plynu na výstupu z posuvné vrstvy koulí.



Obr. 10. Diagram ke stanovení mezerovitosti v oblasti výtokového otvoru.

k výraznému uvolnění vrstvy. Vzrůst mezerovitosti, závislý na parametru  $d_K/D_{ot}$ , lze vyjádřit pomocí faktoru  $C_\epsilon$ , definovaného jako poměr sypné hmotnosti v rovině otvoru a sypné hmotnosti v nekonečné vrstvě

$$C_\epsilon = \frac{\rho_s}{\rho_{so}} = \frac{1 - \epsilon}{1 - \epsilon_0}. \quad (10)$$

Hodnoty  $C_\epsilon$ , stanovené v [35], jsou v závislosti na poměru  $d_K/D_{ot}$  znázorněny na obr. 10.

#### 4. SHRNUTÍ

Na základě literárních údajů a dílčích experimentálních výsledků získaných v SVÚSS při studiu dispersních teplosměnných systémů jsou zpracovány podklady

ke stanovení mezerovitosti v těsných náhodně uspořádaných vrstvách částic. Je sledován zejména vliv velikosti a tvaru částic a vliv rozměrů vrstvy na její mezerovitost, zvláštní pozornost je věnována poměru v posuvných vrstvách.

Mezerovitost, jakožto základní veličina heterogenních dispersních soustav dovoluje vyjádřit další charakteristické veličiny pro vrstvu částic:

1. Měrný povrch vrstvy

$$a_s = \frac{[6(1 - \varepsilon)]}{d_K},$$

2. Hydraulický průměr vrstvy užívaný při korelací experimentálních údajů pro součinitele přestupu tepla a součinitele hydraulických odporů

$$d_h = \frac{4\varepsilon}{a_s} = \frac{2}{3} \frac{\varepsilon}{1 - \varepsilon} d_K.$$

3. Sypnou hmotnost vrstvy (přibližné vyjádření pro soustavu plyn—tuhé částice)

$$\rho_s = (1 - \varepsilon) \rho_K.$$

Vypracované podklady umožňují první orientaci při stanovení mezerovitosti a slouží jako výpočtová pomůcka při praktických aplikacích těsných nehybných a posuvných vrstev částic v nejrůznějších technologických zařízeních.

## LITERATURA

- [1] Aim R. B., Goff P. L.: Effet de Paroi dans les Empilements Désordonnés de sphères et Application à la Porosité de Mélanges Binaires (1967/68, Powder Tech. 1, 281).
- [2] Aim R. B., Goff P. L.: La Coordonnée des Empilements Désordonnés de sphères. Application aux Mélanges Binaires de sphères (1968/69, Powder Tech. 2, 1).
- [3] Bernal J. D.: Coordination of Randomly Packed Spheres (1960, Nature, 188, 10, 910).
- [4] Čečetkin A. V.: Vysokotemperaturnye teplonositeli (1957, Gosenergoizdat).
- [5] Delaplaine J. W.: Forces Acting in Flowing Beds of Solid (1956, J. AIChE, 2, 1, 127).
- [6] Eastwood J., Matzen E. J. P., Young M. J., Epstein N.: Random Loose Porosity of Packed Beds (1969, BCE, 14, 11, 1542).
- [7] Furnas C. S.: Mathematical Relations for Beds of Broken Solids of Maximum Density (1931, Ind. Eng. Chem., 23, 9, 1052).
- [8] Glaser M. B., Thodos G.: Heat and Momentum Transfer in the Flow of Gases through Packed Beds (1958, J. AIChE, 4, 1, 63).
- [9] Happel J.: Pressure Drop Due to Vapor Flow through Moving Beds (1949, Ind. Eng. Chem. 14, 6, 1161).
- [10] Haughey D. P., Beveridge G. S. G.: Local Voidage Variation in a Randomly Packed Bed of Equal-Sized Spheres (1966, Chem. Eng. Sci. 21, 905).
- [11] Haughey D. P., Beveridge G. S. G.: Local Property Variations in a Randomly Packed Bed of Equal-Size Spheres (1967, Chem. Eng. Sci. 22, 715).
- [12] Chennakesavan B.: Heat Transfer to Liquid Streams in a Packed Tube Containing Large Packings (1960, J. AIChE, 6, 2, 246).
- [13] Jeschar R.: Druckverlust in Mehrkornschüttungen aus Kugeln (1964, Archiv für das Eisenhüttenwesen, 35, H2, 91).
- [14] Leva M., Grummer M.: Prediction of Voids in Packed Tubes (1947, Chem. Eng. Progr., 43, 12, 713).
- [15] Lukjanov P. I., Gusev I. V., Nikitina N. I.: O dvizhenii kompaktnogo sloja zernistogo materiала v apparate (1957, Chim. techn. topliv a masel 12, 38).
- [16] Manegold E., Hofmann R., Solf K.: Die mathematische Behandlung idealer Kugelpackungen und das Hohlräumvolumen realer Gerüststrukturen (1931, Kolloid Zeitschrift, LVI, 2, 142).
- [17] Manegold E., Engelhardt W.: Die Berechnung des Stoffgehaltes homogener Gerüststrukturen (1933, Kolloid Zeitschrift, LXII, 3, 285).

## SEZNAM ZNAČEK A INDEXŮ

| Značka                         | Význam  | Rozměr             |
|--------------------------------|---|--------------------|
| <i>A</i>                       | konstanta   | —                  |
| <i>a<sub>s</sub></i>           | měrný povrch vrstvy                                       | $\text{m}^{-1}$    |
| <i>a, b</i>                    | strany obdélníkového kanálu                               | $\text{m}$         |
| <i>C<sub>e</sub></i>           | faktor vzrůstu mezerovitosti v rovině otvoru              | —                  |
| <i>d<sub>n</sub></i>           | hydraulický průměr vrstvy                                 | $\text{m}$         |
| <i>d<sub>K</sub></i>           | průměr kuliček, ekvivalentní průměr nepravidelných částic | $\text{m}$         |
| <i>D</i>                       | průměr  | $\text{m}$         |
| <i>f</i>                       | součinitel vnitřního tření                                | —                  |
| <i>K</i>                       | konstanta   | —                  |
| $k = \frac{A}{f - \tan \beta}$ | součinitel  | —                  |
| <i>l</i>                       | vzdálenost sondy od vrstvy                                | $\text{m}$         |
| <i>L</i>                       | výška vrstvy  | $\text{m}$         |
| <i>n</i>                       | <td>—</td>  | —                  |
| <i>r</i>                       | poloměr   | $\text{m}$         |
| <i>R<sub>z</sub></i>           | poloměr nádoby  | $\text{m}$         |
| $s = R_z - r$                  | vzdálenost od stěny                                       | $\text{m}$         |
| <i>v</i>                       | poměrný objem   | —                  |
| <i>V</i>                       | objem   | $\text{m}^3$       |
| $x = (x_1, x_2, x_3)$          | rychlosť  | $\text{m s}^{-1}$  |
| $\beta$                        | bod prostoru  | —                  |
|                                | sypný úhel  | rad                |
| $\delta = \frac{s}{d_K}$       | poměrná vzdálenost od stěny                               | —                  |
| $\epsilon$                     | mezerovitost  | —                  |
| $\epsilon_1, 2$                | mezerovitost jednotlivých frakcí                          | —                  |
| $\Delta\epsilon$               | rozdíl mezerovitostí                                      | —                  |
| $\Delta\epsilon_{\max}$        | maximální rozdíl mezerovitostí                            | —                  |
| $\Delta_{\text{st}}$           | vzrůst mezerovitosti v okrajové oblasti                   | —                  |
| $\Delta_j$                     | vzrůst mezerovitosti v jádře vrstvy                       | —                  |
| $\Delta\varrho_s$              | rozdíl sypných hmotností                                  | $\text{kg m}^{-3}$ |
| $\varrho_K$                    | měrná hmotnost materiálu částic                           | $\text{kg m}^{-3}$ |
| $\varrho_s$                    | sypná hmotnost vrstvy částic                              | $\text{kg m}^{-3}$ |
| $\tau$                         | čas   | s                  |

### Indexy

|            |  |
|------------|--|
| <i>c</i>   | značí celkový                              |
| <i>K</i>   | týká se částic                             |
| <i>lok</i> | značí lokální                              |
| <i>P</i>   | týká se posuvné vrstvy                     |
| <i>N</i>   | týká se nehybné vrstvy                     |
| <i>ot</i>  | týká se otvoru                             |
| <i>T</i>   | týká se těsného uložení                    |
| <i>V</i>   | týká se volného uložení                    |
| <i>z</i>   | týká se nádoby                             |
| <i>0</i>   | týká se vrstvy v neohraničeném prostoru    |
| 1, 2, 3    | značí jednotlivé frakce vícesložkové směsi |

- [18] *Mc. Geary R. K.*: Mechanical Packing of Spherical Particles (1961, J. Am. Ceram. Soc., 44, 513).
- [19] *Platonov P. N.*: Nekotorye voprosy mechaniky potokov sypuich sred (1967, IFŽ, XII, 6, 806).
- [20] *Pták S.*: Tlakové ztraty plynu, proudučho statickou vrstvou keramických kuliček (1966, zpráva SVÚSS 66-05120).
- [21] *Rajagopalan R., Ladha B. S.*: Liquid Flow through Fixed and Fluidized Beds (1967, BCE, 12, 6, 894).
- [22] *Ridgway K., Tarbuck K. J.*: The Random Packing of Spheres (1967, BCE, 12, 3, 384).
- [23] *Ridgway K., Tarbuck K. J.*: Particulate Mixture Bulk Densities (1968, Chem. Proc. Eng., 2, 103).
- [24] *Roblee L. H. S., Baird R. M., Tierney J. W.*: Radial Porosity Variations in Packed Beds (1958, J. AIChE, 4, 4, 460).
- [25] *Scott G. D.*: Packing of Spheres (1960, Nature, 188, 10, 908).
- [26] *Sonntag G.*: Einfluss des Lückenvolumens auf den Druckverlust in gasdurchströmten Füllkörpernsäulen (1960, Chem. Ing. Techn., 35, 5, 317).
- [27] *Speck G.*: Über die Randängigkeit in gasdurchströmten Füllkörpernschüttungen (1955, Diss. Th., Dresden).
- [28] *Struhár L.*: Některé transportní vlastnosti sesouvající se vrstvy častic při průtoku kanály a otvory různých průřezů (1968, zpráva SVÚSS 68-05034).
- [29] *Struhár L.*: Lokální teplotní a proudové poměry za posuvnou vrstvou častic při křížovém průtoku vzduchu (1969, zpráva SVÚSS 69-05020).
- [30] *Thadani M. C., Peebles F. N.*: Variation of Local Void Fraction in Randomly Packed of Equal Spheres (1965, IEC Proc. Des. Dev., 5, 265).
- [31] *Víktorin Z.*: Přestup tepla při proudu nehybnou vrstvou zrnitého materiálu (1968, Zdrav. technika a vzduchotechnika, 11, 5, 225).
- [32] *Víktorin Z.*: Přenos hmoty při proudu nehybnou vrstvou zrnitého materiálu (1968, Zdrav. technika a vzduchotechnika, 11, 6, 321).
- [33] *Hlaváčka V.*: *Víktorin Z.*, Tlaková ztráta při průtoku tekutiny nehybnou a posuvnou vrstvou častic (1974, Zdrav. technika a vzduchotechnika, 17, 4, 193).
- [34] *Zabrodskij S. S.*: Gidrodinamika i teploobmen v psevdoozízenom sloje (1963, Gosenergoizdat Moskva).
- [35] *Zenz F. A.*: Fluid Catalyst Design Data (1957, Petroleum Rafiner, 4—10).

## ПОРОЗНОСТЬ СЛОЕВ ЧАСТИЦ

*Инж. Леопольд Стругар, Инж. Войтех Главачка, к. т. н.*

Одной из основных характеристических величин гетерогенных дисперсных систем жидкость — твёрдые частицы является однозначно их порозность. Находится широкое применение порозности как в различных теоретических соображениях, так и в многих областях практического применения.

В приведенной работе подытожены основные знания о порозности специфических категорий этих систем, плотных неподвижных и подвижных слоев частиц. Отделка этой темы, которая не была ещё в нашей специальной литературе комплексно разработана, выходит из подробного изучения литературы и из некоторых отдельных экспериментальных работ, произведенных в институте SVÚSS Беховице, и она в узкой связи с работами (31), (32), (33), опубликованными в журнале *Zdravotní technika a vzduchotechnika*, которые касаются тепло- и массопереноса и потерь давления в слоях частиц.

## LÜCKENVOLUMEN DER PARTIKELNSCHICHTEN

*Ing. Leopold Struhár und Ing. Vojtěch Hlaváčka, CSc.*

Ein der Hauptparameter von heterogenen dispersen Systemen der Partikeln in flüssigen Medien ist eindeutig deren Lückenvolumen. Dieser Begriff wird häufig in verschiedensten theoretischen Erwägungen sowie in manchen praktischen Applikationen verwendet. Im Artikel sind Grunderkenntnisse über Lückenvolumen der spezifischen Kategorien dieser Systeme von dichten unbeweglichen oder beweglichen Partikelnschichten zusammengefasst worden. Die Bearbeitung von diesem Thema, welche in unserer Fachliteratur noch nicht in so komplexer Form veröffentlicht worden ist, geht von gründlichen Studien mancher Literaturquellen und von

einigen in SVÚSS durchgeführten experimentellen Teilarbeiten aus. Der Artikel ist in einem Zusammenhang mit in dieser Zeitschrift schon früher veröffentlichten Arbeiten, die sich mit Wärme- und Stoffübertragung sowie mit Druckverlusten in Partikelenschichten befasst haben.

## VOID FRACTION OF BEDS OF PARTICLES

*Ing. Leopold Struhár and Ing. Vojtěch Hlavačka, CSc.*

The void fraction is without any doubt one of most important characteristics of heterogeneous dispersed systems consisting of particles and fluids. The void fraction is respected in most of theoretical analyses as well as in practical applications. The published paper summarizes basic knowledge about void fraction of some specific categories of such systems the packed and moving bed of solid particles. This article is based on a systematic study of the literature as well as on some experimental work done in Research Institute for Machinery in Běchovice. The article is connected with some previously in this journal published papers dealing with heat and mass transfer or pressure-drops in beds of particles.

## POROSITÉ DES COUCHES DES PARTICULES

*Ing. Leopold Struhár, Ing. Vojtěch Hlavačka, CSc.*

La porosité est dans doute l'un des paramètres principaux des systèmes de mélanges binaires „fluide-particules solides“. Elle entre en jeu non seulement dans différentes considérations théoriques, mais aussi dans plusieurs domaines d'applications théoriques, mais aussi dans plusieurs domaines d'applications pratiques. L'article présenté rend compte des connaissances fondamentales concernant la porosité des systèmes de couches compactes des particules immobiles et en mouvement. Ce sujet n'a pas été traité jusqu'ici d'une manière complexe dans notre littérature technique. L'article, qui représente une analyse systématique des travaux publiés, complétés par certaines études expérimentales effectuées dans SVUSS Běchovice, a un rapport étroit aux travaux (31), (32), (33) publiés dans le périodique „Zdravotní technika a vzduchotechnika“ concernant la transmission de la chaleur et de la matière et les pertes de charge dans les couches des particules.

### ● Světlo jako architektonický prvek

Světlo je sama architektura — to je definice tak komplexní, že prakticky neprispouští žádné dělení na „světlo“ a „architekturu“ se vzájemným působením složek navzájem.

Avšak pro dorozumění a snazší vysvětlení dílčích funkcí složek uvedené definice, drobime ji a hovoříme o „úloze světla v architektuře“ — rozdíl obou je ihned patrný. Tato úloha má řadu vyjádření, jedno z nich rozvádí Lighting Design & Application 1972/2:

- osvětlení užitkové (účelové) nebo pracovní,
- osvětlení náladové nebo slavnostní, dekorativní nebo snové,
- osvětlení modelující, zdůrazňující,
- osvětlení oživující tvary nebo formy prostoru.

Existují i jiná dělení a všechna mohou být podněty k diskusím — zda vyjadřují soudobou potřebu světla, zda jsou více kvantitatívne nebo více kvalitativně zaměřena, zda je lze použít v ekonomických podmínkách jiného

státu, jiné materiální základny, jiných společenských vývojových tendencí atd.

Dělení zde uvedené má jednu zvláštnost: zdánlivě vyčleňuje účelové (běžné pracovní) osvětlení, kterého je co do množství nejvíce a co do kvality je velmi náročné; výčleňuje ho mimo skupiny ostatní, zřetelně „architektonicky laděné“. To znamená, že:

— bud pouze připouští kombinaci prvé skupiny se skupinami ostatními, čímž účelovému osvětlení dává volnost, kterou možno chápat až jako samostatnost,

— nebo předpokládá tak vysokou úroveň řešení užitkového osvětlení (s detailně propracovanými fyziologickými a psychologickými ukazateli) že již nepřipouští (nebo velmi omezuje) jeho dotváření architektonickými prvky — protože je to nežádoucí či nadbyté.

Jen stěží lze nalézt konečnou odpověď na napovězené otázky, protože dostupná dokumentace není nikdy dosti objektivní — aby jím mohl být i úsudek. K závěrům se třeba ještě vrátit.

(LCh)

# NAVRHUJEME VYTÁPĚNÍ ELEKTRICKÝMI AKUMULAČNÍMI KAMNY

VЛАДИСЛАВ ЛИШКА, ДИПЛ. ТЕХ.

V článku je uvedena metoda výpočtu vytápění elektrickými akumulačními kamny. Jsou zdůvodněny zvláštnosti tohoto způsobu vytápění, na které je nutno pamatovat při stanovení instalovaného příkonu, aby nedocházelo k předimenzování soustavy a tím k neúnosným investičním nákladům. Dále jsou uvedeny připomínky k optimálnímu provozu hospodářně navrženého akumulačního vytápění.

Recenzoval: Doc. Ing. Karel Laboutka, CSc.

Navrhování vytápění elektrickými akumulačními kamny je spojeno s určením optimální velikosti elektrického příkonu akumulačních kamen pro každou vytápěnou místnost zcela samostatně a s volbou vhodného typu z řady vyráběných velikostí elektrických akumulačních kamen v ČSSR. Tento první krok nelze podečenovat, poněvadž na správné navrženém příkonu elektrických akumulačních kamen a volbě vhodného typu závisí nejen tepelná pohoda a spokojenosť uživatele, ale i záruka, že tepla bude v době, kdy je požadováno, právě totlik, kolik je ho třeba pro krytí celkových tepelných ztrát vytápěné místnosti při venkovních teplotách odpovídajících nejnižší průměrné teplotě v dané klimatické oblasti a výši porizovacích nákladů.

Z hlediska ČSN 06 02 10, která je závazná pro výpočet tepelných ztrát budov při navrhování ústředního vytápění, platí pro území ČSSR tyto oblastní výpočtové venkovní teploty:

| Oblast I                  | Oblast II                 | Oblast III                |
|---------------------------|---------------------------|---------------------------|
| $t_z = -12^\circ\text{C}$ | $t_z = -15^\circ\text{C}$ | $t_z = -18^\circ\text{C}$ |

S touto ČSN přímo souvisí i ČSN 73 05 40, ve které jsou předepsány pro navrhování stavebních konstrukcí budov z hlediska tepelné techniky takové konstrukce obvodového pláště, u nichž tepelný odpor a jímavost konstrukcí bezpečně zaručuje útlum krátkých než pětidenních výkyvů venkovní teploty. Jsou tedy tyto konstrukce zárukou, že teplota v místnosti ani při této průměrných venkovních teplotách (pětidenní průměr) neklesne pod ještě přípustné hodnoty.

Z toho tedy také vyplývá, že základní podmínka správného navržení vytápění elektrickými akumulačními kamny je i správné určení nejnižších průměrných venkovních teplot, nadmořské výšky, situování objektu ke světovým stranám, proudění větrů, těsnosti oken, dveří apod. Vlastní postup výpočtu tepelných ztrát je podrobně a v příkladech popsán v ČSN 06 02 10. Stále je však třeba mít na zřeteli, že cílem výpočtu podle této ČSN je určení potřebného příkonu zdroje tepla pro klasické centrální vytápění. A proto je nutné hned na počátku si uvědomit charakteristický rozdíl aplikace ČSN 06 02 10 na navrhování příkonu elektrických akumulačních kamen.

Základní rozdíl spočívá v tom, že zatím co při navrhování klasického centrálního zdroje tepla jde především o stanovení výkonu samotného tepelného zdroje, u elektrického akumulačního vytápění jde v prvé řadě o zjištění potřebného množství tepla pro příští den, které bude nutno předem v době noční na shromáždit v elektrických akumulačních kamenech. Toto teplo musí být zjištěno pro každou místnost zvlášť, a to s přihlédnutím na její využívání a k venkovním průměrným teplotám odpovídajícím dané klimatické oblasti v topném období.

Z toho je zřejmé, že jde o daleko náročnější technické řešení, neboť při nesprávném postupu při výpočtu, či kvalifikovaném odhadu všech nepříznivých vlivů, může dojít k tomu, že naakumulované elektrické teplo v době noční bude vyčerpáno mnohem dříve a tím teplota v místnosti začne značně rychle klesat proti teplotám uvažovaným v ČSN 06 02 10.

Zatímco např. u klasického kotla na tuhá paliva postačí v této případě zintenzivnit vytápění nebo prodloužit dobu vytápění, u elektrického akumulačního vytápění nelze

pro danou okamžitou další potřebu množství akumulovaného tepla zvýšit.

Setkáváme se snadno předimenzovat zdroj tepla. Že však u elektrického akumulačního zařízení není laciná záležitost, můžeme se přesvědčit na tomto příkladě:

Teplovodní kotlík ústředního vytápění na tuhá paliva pro rodinný domek o výkonu asi 14 000 kcal/h, má cenu asi 2 000 Kčs. V případě, že tento zdroj předimenzujeme z jakýchkoliv důvodů asi o 50 %, tj. zvětšíme jeho příkon asi na 21 000 kcal/h, pohybujeme se jeho cena kolem 4 000 Kčs a pořizovací náklady se pro uživatele zvýší o 100 %, tj. o 2 000 Kčs.

Docela jinak však tentýž případ bude vypadat při elektrickém akumulačním vytápění. Pro krytí tepelné ztráty 14 000 kcal/h (pro zjednodušení nejsou uvažovány účinnosti), budeme muset instalovat v akumulačních kamnech příkon 34 kW při pořizovací ceně asi 40 000 Kčs. V druhém případě to znamená instalovat příkon v akumulačních kamnech 50 kW za cenu asi 60 000 Kčs. I když pořizovací náklady se zvýší rovněž jen o 50 %, je celková částka 20 000 Kčs 10 × vyšší než při kotlíku na tuhá paliva. Toto zvýšení pořizovacích nákladů není úměrné dosaženému efektu (nepříznivě jsou ovlivněny i provozní náklady), i když zakalkujeme skutečnost, že životnost elektrických akumulačních kamen oproti kotlům na tuhá paliva je 2 až 2,5krát vyšší.

Zdroj elektrického tepla, kterým jsou v našem případě elektrická akumulační kamená, představuje principiálně, technicky i kvalitativně zcela jiný typ zdroje tepla, než např. zařízení na spalování tuhých paliv. S tímto faktem je třeba počítat již při výpočtu tepelné ztráty podle ČSN 06 02 10, a to v tom okamžiku, kdy do výpočtu vstupují různé korekční činitele, jako např. na zátop, na světovou stranu, na vítr a které ve svém součtu vyjadřují percentuální, dosti vysokou přírůstku na základní tepelnou ztrátu  $Q_0$ .

Všimněme si proto některých přírážek, které při elektrickém vytápění je nutno posuzovat z poněkud jiných hledisek.

**Přírůstka na zátop.** Tato přírůstka vychází z potřeby rychlého zahřátí místnosti po přerušení vytápění. U klasického centrálního teplovodního zdroje tepla lze toho cíle dosáhnout jen tím, že zvýšíme tepelný výkon zdroje, a to tím více, čím delší byla přestávka ve vytápění a čím kratší má být doba zátopu. Dále ještě tento příkon závisí při zátopu na tepelné jímovatosti stěn.

**Přírůstka na vyrovnání vlivu chladných stěn.** Tato přírůstka vychází z toho, že pohoda člověka závisí nejen na teplotě vzduchu v místnosti, ale také na střední teplotě vnitřního povrchu stěn. Aby se tedy u místnosti s venkovními stěnami a s malým tepelným odporom vyrovnal vliv chladných stěn, je nutno zvýšit teplotu vnitřního vzduchu nad hodnotu předepsanou pro různé druhy místností.

Protože elektrická akumulační kamená s dy-

namickým vytápěním umožňují pomocí zabudovaného vnitřního ventilátorku vydat okamžitě takové množství tepla, které převyšuje průměrný tepelný výkon v době plného vytápění, není třeba přírůstku na zátop v tomto případě vůbec uvažovat (v prvé hodině po ukončení nabíjení činí tento výkon např. u kamen 4,5 kW při 12 hodinách plného vytápění dvojnásobek průměrného tepelného výkonu akumulačních kamen).

Přírůstku na zátop můžeme zanedbat i proto, že při vytápění elektrickými akumulačními kamny nejde o přerušení vytápění v pravém slova smyslu. V praxi bývá místnost při poklesu teploty v době nočního nabíjení např. z 22 na 17 °C vytopena na původní teplotu během 15 až 20 minut.

Příznivě působí i vliv statického vytápění povrchem elektrických akumulačních kamen. Toto teplo bezpečně temperuje místnost i v naší nepřítomnosti.

Se stoupající hladinou nabité akumulačních kamen stoupá i tepelný tok, sdílený jejich povrchem. Tato vlastnost charakterizuje jednotlivé typy elektrických akumulačních kamen vedené ČSN 36 12 20, která přímo pro jednotlivé druhy akumulačních kamen limituje výši tepelných ztrát povrchem (statickým vytápěním) v době nabíjení a v prvních 8 hodinách po ukončení nabíjení.

Podle ČSN 36 12 20 platí pro jednotlivé druhy elektrických akumulačních kamen tyto hodnoty:

| Čini-<br>tel | AK s dyna-<br>mickým<br>(nu-<br>ceným)<br>vydá-<br>váním tepla | AK se statickým<br>(přirozeným)<br>vydá-<br>váním tepla |                               |
|--------------|--|---|-------------------------------|
|              | Carmen,<br>ELKA, ACEC<br>[%]                                   | bez<br>regulační<br>klapky<br>(Ideál)<br>[%]            | s regulační<br>klapkou<br>[%] |
| $K_1$        | 12   | 35  | 30                            |
| $K_2$        | 30   | 45  | 60                            |
| $K_3$        | 58   | 20  | 10                            |

$K_1 = \max$ . tepelné (statické) ztráty při nabíjení [%]. Činitel je dán poměrem tepla odevzdaného statickým vytápěním do prostoru k teplu dodanému akumulačním kamnům v době nabíjení.

$K_2 = \max$ . tepelné (statické) ztráty v prvních 8 hodinách po ukončení nabíjení [%]. Činitel je dán poměrem tepla odevzdaného do prostoru v době statického vytápění k teplu dodanému akumulačním kamnům v době nabíjení.

$K_3 = \min$ . tepelná energie [%], která zůstane v akumulačních kamnech po 16 hodinách statického vytápění od počátku nabíjení.

Tyto údaje jsou velice důležité pro volbu správného druhu (typu) elektrických akumu-

lačních kamen vzhledem k požadované době vytápění.

Uvedené limitující hodnoty tepelných ztrát statickým vybíjením v době nabíjení platí jen potud, pokud se nabíjí zcela vybitá akumulační kama. V případě, že počáteční teplota vnitřního jádra vlivem zbytkového tepla je vyšší, potom i celkové teplo vyzářené do prostoru v době nabíjení je vyšší než stanovených 12 %.

Tak např. u elektrických akumulačních kamen o příkonu 4,5 kW se v době nabíjení na plnou hodnotu sdílí (vlivem tepelných ztrát povrchem — statickým vybíjením) do prostoru nejméně 20 000 kcal (vyšší tepelná ztráta v tomto případě není na úkor množství akumulovaného tepla pro dobu denní).

V dalších 8 hodinách po ukončení nabíjení se vlivem statického vybíjení nesmí sdílit do prostoru u elektrických akumulačních kamen s dynamickým vydáváním více, jak 30 % plné kapacity kamen. V této době se tedy sdělí do prostoru u akumulačních kamen o příkonu 4,5 kW asi 50 000 kcal.

Z tabulký je tedy zřejmé, že u elektrických akumulačních kamen s dynamickým vybíjením, zbývá pro odpolední dobu, tj. od 14 do 22 hodin, téměř 60 % akumulovaného tepla pro dynamické vybíjení. Elektrická akumulační kama se statickým vybíjením hřejí značně v době nabíjení a téměř 50 % tepelné kapacity vydají v dopolední době, tj. od 6 do 14 hodin. Do odpolední (večerní) doby zbývá pak pro vytápění jen méně, než 20 % celkové kapacity, akumulačních kamen.

Vlastnosti jednotlivých druhů akumulačních kamen je tedy třeba pečlivě vážit při navrhování vytápění elektrickými akumulačními kamny, s ohledem na předpokládaný způsob využívání jednotlivých místností, požadovanou dobu vytápění a požadované teploty v místnostech. Proto jsou výhodnější akumulační kama s dynamickým vydáváním akumulovaného tepla.

Důležité je i to, že současné možnosti energetiky a ani platná tarifní soustava cen za elektřinu nepočítá se všeobecným rozšířením nabíjecí doby na 10 hodin, tj. 8 hodin v době noční a 2 hodiny v tzv. odpoledním důlu průběhu zatížení energetické soustavy.

Jde tedy o to, co nejsprávněji převést potřebné teplo k vytápění na optimální příkon elektrických akumulačních kamen s dynamickým vybíjením (typ Carmen, ELKA, ACEC).

Budeme-li vycházet z popsané charakteristiky tohoto druhu elektrických akumulačních kamen a ČSN 36 12 20, potom je třeba při výpočtu uvažovat, že:

$$Q = Q_c \cdot t_d + \frac{Q \cdot 12}{100} + \frac{Q \cdot 30}{100 \cdot 8} \cdot t_s \quad [\text{kcal}]$$

kde  $Q_c = Q_p + Q_v \quad [\text{kcal}/\text{h}]$

$$Q_p = Q_0 \left( 1 + \frac{p_{zz}}{100} + \frac{p_s}{100} \right) \quad [\text{kcal}/\text{h}]$$

$$Q_d = Q_c \cdot t_d = Q - \left( \frac{Q \cdot 12}{100} + \frac{Q \cdot 30}{100 \cdot 8} \cdot t_s \right) \quad [\text{kcal}]$$

$$Q = \frac{Q_d}{1 - \left( \frac{12}{100} + \frac{30}{100 \cdot 8} \cdot t_s \right)} \quad [\text{kcal}]$$

Z toho potom nabíjecí příkon elektrických akumulačních kamen s dynamickým vybíjením se vypočte podle této úvahy:

$$P = \frac{Q_d}{8 \cdot 860 \left[ 1 - \left( \frac{12}{100} + \frac{30}{8 \cdot 100} \cdot t_s \right) \right]} \quad [\text{kW}]$$

$$P = \frac{Q_d \cdot 10^{-3}}{6,05 - 0,258 \cdot t_s} \quad [\text{kW}]$$

Aniž se dopustíme podstatné nepřesnosti, lze vzorec upravit zaokrouhlením konstant takto:

$$P = \frac{Q_d \cdot 10^{-3}}{6 - 0,25 \cdot t_s} \quad [\text{kW}]$$

*Poznámka:*

Pro praktické výpočty určení velikosti akumulačních kamen z tepelné ztráty  $Q_c$  vypočtené podle ČSN 06 02 10 (změněné o zátopovou přírážku  $p_{z1}$ ) vyhovuje vzorec:

$$P = \frac{Q_c \cdot t_d \cdot 10^{-3}}{6 - 0,25 \cdot t_s} \quad [\text{kW}]$$

*V rovinách značí:*

$Q$  = celkové množství elektrického tepla akumulovaného v elektrických akumulačních kamenech v době nabíjení [kcal],

$Q_c$  = celková hodinová tepelná ztráta místnosti, upravená o přírážky [kcal/h],

$Q_p$  = hodinová tepelná ztráta místnosti pro stupem, upravená o přírážky [kcal/h],

$Q_v$  = hodinová tepelná ztráta v místnosti větráním [kcal/h],

$Q_0$  = základní tepelná ztráta podle ČSN 06 02 10,

$Q_d$  = Celková denní spotřeba tepla pro krytí ztrát při plném vytápění (dynamickém vybíjení) [kcal],

$t_d$  = doba dynamického vybíjení (při zapnutí automatické regulace teploty v místnosti pokojovým termostem po dobu požadovaného provozu v místnosti a vytápění na požadovanou (normovanou) teplotu),

$t_s$  = doba statického vybíjení v době denní, tj. mezi skončením nabíjení a počátkem řízeního dynamického vybíjení, popřípadě i doba statického vybíjení (přerušení vytápění — přestávka v provozu místnosti) mezi dobou dynamického vybíjení (max. 8 hodin).

$p_s$  = přírážkový činitel na světovou stranu podle ČSN 06 02 10 tab. 5,

$p_{z1}$  = přírážkový činitel na zátop se u elektrického akumulačního vytápění neuváže,

$p_{zz}$  = přirážkový činitel na vyrovnání vlivu chladných stěn podle ČSN 06 02 10, viz graf str. 6, obr. 1, se uvažuje pro hodnoty  $K_c$  takto:

| $K_c$ | $p_{zz} = \%$ | $K_c$ | $p_{zz} = \%$ |
|-------|---------------|-------|---------------|
| 0,1   | 0,1           | 1,1   | 5,—           |
| 0,2   | 0,2           | 1,2   | 6,—           |
| 0,3   | 0,35          | 1,3   | 7,—           |
| 0,4   | 0,6           | 1,4   | 8,—           |
| 0,5   | 1,—           | 1,5   | 9,—           |
| 0,6   | 1,5           | 1,6   | 10,—          |
| 0,7   | 2,—           | 1,7   | 11,—          |
| 0,8   | 3,—           | 1,8   | 12,—          |
| 0,9   | 4,—           | 1,9   | 13,—          |
| 1,—   | 4,5           | 2,—   | 14,—          |

V praxi se potvrdilo, že ve větších bytech není často nutné vytápet všechny místnosti a jiné vedlejší prostory po celý den a během celého topného období. Elektrické akumulační vytápění umožňuje totiž omezený provoz v těchto prostorách, aniž by tím utrpěla kvalita komfortu bydlení. Za těchto podmínek se často pohybuje spotřeba elektriny za topnou sezónu pro vytápení bytu v kWh ve výši asi  $1,2 \times Q_c$ .

Podle způsobu užívání jednotlivých místností v bytě se obyčejně vychází z využití instalovaného příkonu elektrických akumulačních kamen s dynamickým vybíjením v kW tak, že pro obývací pokoj je počítáno s 850 hodinami, pro ložnice dětí se 600 hodinami a pro ložnice rodičů s 250 hodinami ročního využití instalovaného optimálního příkonu elektrických akumulačních kamen ročně v normálních klimatických podmínkách.

Při výpočtu příkonu elektrických akumulačních kamen s dynamickým vybíjením se počítá s diferencovanou dobou plného vytápení během dne ( $t_d$ ) a to tak, že se uvažuje:

1. Obývací pokoj se 14 hodinami plného vytápení denně ( $t_d = 14$ ;  $t_s = 2$ ).
2. Kuchyň, jídelna a dětský pokoj se 12 hodinami plného vytápení denně ( $t_d = 12$ ;  $t_s = 4$ ),
3. Ložnice rodičů s 10 hodinami plného vytápení denně ( $t_d = 10$ ;  $t_s = 6$ ).

Tohoto způsobu výpočtu příkonu pro elektrické akumulační vytápění s dynamickým vybíjením lze použít i při navrhování vytápění škol všech typů, některých kulturních zařízení, drobných provozoven a obchodů, rekreačních zařízení, ubytoven, internátů apod.

Často se setkáváme s potřebou určit alespoň předběžně předpokládaný příkon pro elektrické akumulační vytápění daného objektu akumulačními kamny s dynamickým vybíjením pro jednání s dodavatelem elektriny ve smyslu ustanovení ČSN 37 52 00 odst. 11;

ČSN 34 10 60 odst. 1; čl. 9, 89, 96; ČSN 34 10 00 § 10012 apod.

V tomto případě postupujeme tak, že uvažujeme:

$$70 — 100 \text{ W/m}^3$$

vytápeného prostoru bytu v příkonu elektrických akumulačních kamen.

### Проектирование отопления при помощи электрической отопительной печи

*Vladislav Liška, dipl. tech.*

В статье приводится метод вычисления отопления при помощи электрической отопительной печи. Обоснованы особенности этого способа отопления, на которые необходимо помнить при установлении установочной потребляемой мощности, чтобы не произошло завышение размеров а тем и непосильные капитальные затраты. Дальнейшие приведены замечания к оптимальной эксплуатации экономично проектированного аккумуляционного отопления.

### Dimensioning heating systems using heat-storage electrical units

*Vladislav Liška, dipl. tech.*

The article presents a method for computing heating systems with heat-storage units. Special attention has been given to some peculiarities which are to be respected when computing the total electrical input, if the system ought to be not too big and its price not unacceptably high. Some recommendations for optimising the operation of a well laid-out system have been added.

### Entwerfen der Heizungsanlagen mit elektrischen Akkumulationsöfen

*Vladislav Liška, dipl. tech.*

Der Autor veröffentlicht in diesem Artikel eine Methode für Berechnung der Beheizung mittels elektrischer Akkumulationsöfen. Die Besonderheiten von solchem Heizungssystem, die bei Bestimmung der Anschlussleistung berücksichtigt werden müssen, damit keine Überdimensionierung und unerträglich hohe Investitionskosten stattfinden, erwähnt werden. Weiter sind Richtlinien für optimalen Betrieb eines richtig ausgelegten Heizungssystems gegeben.

### Nous élaborons un projet du chauffage par le poêle électrique à accumulation

*Vladislav Liška, dipl. tech.*

Dans l'article présenté, on introduit une méthode de calcul du chauffage par le poêle électrique à accumulation. On cite les spécificités de ce mode de chauffage à lesquelles on doit penser à la détermination d'une puissance consommée pour éliminer le surdimensionnement du système et aussi pour éliminer les frais d'investissement disproportionnés. Plus loin, on cite les observations à l'exploitation optimale d'un chauffage à accumulation élaboré économiquement.

# ZKUŠENOSTI S PROVOZEM KLIMATIZAČNÍCH ZAŘÍZENÍ V BUDOVÁCH A. S. INVESTA - CHEMAPOL V PRAZE

ING. RUDOLF NOVOTNÝ  
A. S. INVESTA, Praha

*Článek obsahuje základní informaci o instalovaném klimatizačním zařízení. Dále jsou uvedeny zkušenosti z provozu zařízení a důsledky, které vyplynuly z používání neupravené vody a nedostatečné filtrace vzduchu.*

Areál obchodně provozních budov a. s. Investa-Chemapol v Praze-Vršovicích byl vybudován italskou firmou FEAL — Miláno a uveden postupně do provozu v letech 1969 a 1970. Dodavatelem klimatizačních a vytápěcích zařízení byla italská firma Marelli — Miláno.

Popis jednotlivých klimatizačních systémů, včetně funkčního zhodnocení, byl uveden ve sborníku „Projekce a provoz vysokotlaké klimatizace“ vydaném DT-ČVTS-Praha v červnu 1972. Pro posouzení rozsahu zařízení však považuji za vhodné uvést stručný přehled strojního zařízení v našich budovách.

|                                     |                        |
|-------------------------------------|------------------------|
| Obestavěný prostor našich tří budov | 160.000 m <sup>3</sup> |
| Instalovaný topný příkon            | 5,500.000 kcal/h       |
| Instalovaný chladicí výkon          | 2,500.000 kcal/h       |

a) *Kotelna* — je vybavena dvěma teplovodními kotli ITALWANSON o celkovém výkonu 5 Gcal/h a jedním parním kotlem o výkonu 0,5 Gcal/h. Všechny kotly jsou vybaveny hořáky na spalování lehkého topného oleje.

b) *Strojovna chlazení a vodní centrála* zahrnuje dvě turbokompresorové chladicí jednotky CARRIER 19 DA 31 s chladivem R 11. Nedlouhou součástí je osm chladicích věží, které jsou umístěny v otevřeném prostoru posledního podlaží nejvyšší budovy. Ve vodní centrále jsou umístěny zásobníky vody a auto-

klávy pro zvyšování vodovodního tlaku, bojery na užitkovou vodu a dodatečně instalovaný automatický filtr „Dango-Dienenthal“ na zachycování mechanických nečistot z přívodního vodovodního řadu.

c) *Klimatizační strojovny* — v šesti strojovnách je umístěno jedenáct samostatných klimatizačních jednotek o vzduchových výkonech od 10.000 do 40.000 m<sup>3</sup>/h. Celkový vzduchový výkon těchto jednotek činí 260.000 m<sup>3</sup>/h. Je v nich umístěno 200 filtračních vložek FIRON — B 400 o rozměrech 500 × 500, 50 výměníků tepla (ohřívače — chladiče) a 8 adiabatických praeček vzduchu. Ve strojovnách je umístěno celkem 31 odváděcích a přívodních ventilátorů. Cirkulaci jednotlivých vodních okruhů (chladičích a topných) zajišťuje celkem 40 čerpadel. Chod strojních zařízení zajišťuje 68 elektromotorů o celkovém výkonu 1.572 kW. K zajištění požadovaných vnitřních mikroklimatických podmínek bylo použito těchto systémů:

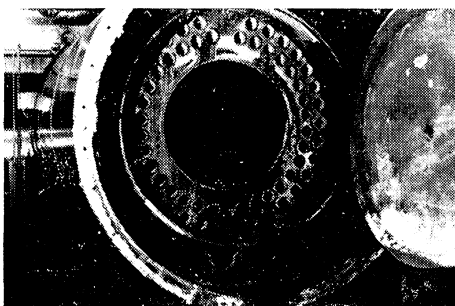
VTK s indukčními jednotkami — dvoutrubkový přepínací systém,  
VTK s indukčními jednotkami — dvoutrubkový nepřepínací systém,  
VTK s indukčními jednotkami — čtyřtrubkový systém,  
NTK systémy (restaurace, kinosály apod.).

Ve všech budovách je umístěno celkem 1600 indukčních jednotek vybavených filtrem na přívodu sekundárního vzdachu. Okna jsou neotvíratelná, zasklení činí 54 % celé plochy fasády a jako stínícího prostředku bylo použito vnitřních okenních žaluzií. Na vodních okruzích je instalováno 75 ks třícestných regulačních ventilů, 160 ks šesticestných regulačních ventilů, 80 ks dvoucestných ventilů a 180 ks vodních filtrů.

d) *Automatická regulace* — provoz všech zařízení je řízen centrálně z velkého klimatizace. Z ovládacího pultu je zařízení uváděno do provozu, není zde však soustředěno dálkové měření a signifikace teplot, tlaků a ostatních

důležitých parametrů. Pro regulaci klimatizačních zařízení je použit systém pneumatický s regulačními prvky Honeywell. Zdrojem tlakového vzduchu je pístový kompresor se vzdušníkem o obsahu 200 l.

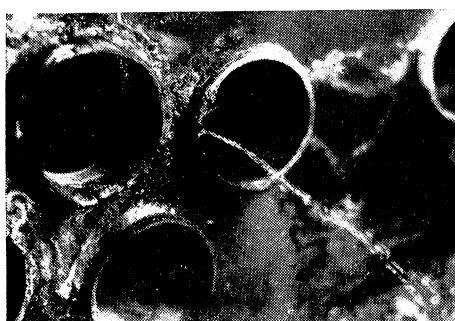
Regulace vnitřních teplot u systémů VTK je zónová, podle orientace fázad ke světovým



Obr. 1. Celkový pohled na zadní otevřenou část kotla ITALWANSON o výkonu 2,5 Gcal/h. Trubky ve středních dvou řadách jsou opálené, zkorodované, mají drobné trhliny a některé tečou.



Obr. 2. Pohled do vnitřního prostoru kotla po demontáži kotlové trubky. Usazeniny jsou zcela evidentní.



Obr. 3. Detailní pohled na kotlovou trubku, kde se trhliny stříkají voda. Na sousední trubce je patrná koroze a vznik trhlin.

stranám, a to na straně primárního vzduchu a sekundární vody pro indukční jednotky.

Z tohoto stručného přehledu je zřejmé, že zařízení v našich budovách patří k nejrozsáhlějším klimatizačním zařízením v ČSSR.

Základní podmínkou spolehlivého chodu klimatizačních zařízení v našich budovách je jeho správná obsluha a údržba. Nutnost soustavné péče o toto zařízení je dáná počtem provozních hodin za 1 rok při dvousměnném a v zimním období nepřetržitém provozu zařízení. Počet provozních hodin jednotlivých strojních zařízení činí 3600—7200 hodin za rok. Provoz a údržbu zařízení zajišťuje celkem 14 pracovníků. Pro zamezení nepředvídaných poruch je prováděna soustavná preventivní údržba zařízení podle předem stanoveného harmonogramu údržbových prací, který byl sestaven na základě předpisů dodavatele pro jednotlivá zařízení a dle provozních zkušeností. O prováděné preventivní údržbě jsou vedeny záznamy v provozních denících včetně sledování provozních nákladů.

Mimo běžnou údržbu se prováděla na našem zařízení již řada údržbových prací charakteru středních a generálních oprav, přestože zařízení je v provozu necelých pět let a bylo dodáno zahraniční firmou. Důvody, proč bylo a je nutno provádět poměrně rozsáhlé práce, nyní popišíme podrobnejší.

Skutečnost, že v době uvádění zařízení do provozu, nebyla prováděna žádná úprava vody pro vodní okruhy klimatizace, způsobila vážné provozní poruchy za poměrně krátkou dobu provozu zařízení. Jedním z důvodů, proč nebyla úprava vody vybudována, byla skutečnost, že v r. 1968 byla tvrdost vody dodávané do našeho objektu v mezech 7,2—12 °N, ale v r. 1970 v mezech již 12—14,2 °N. Tyto údaje nám byly předány n. p. Pražské vodárny v době uplatňování garančních sankcí vůči dodavateli zařízení.

Důsledky, které vyplynuly z dvouletého doplňování neupravené vody do vodních systémů jsou:

a) Po tříletém provozu teplovodních kotlů firmy ITALWANSON na spalování topného oleje došlo k jejich havárii, která se projevila značným únikem vody způsobeným netěsností kourových trubek. Po výměně kotlových trubek, včetně oprav vyzdívek, bylo provedeno chemické čištění kotlů pomocí kyseliny solné. Toto chemické čištění bylo prováděno za účasti expertů ze Státní energetické inspekce a v závěrečné zprávě bylo konstatováno, že v jednom kotli bylo celkem 740 kg kotelinného kamene, který byl převážně karbonátový a vytvářel vrstvu o tloušťce asi 4 mm. Stav kotlů před opravami je patrný z obr. 1, 2, 3.

b) Po dalším půlroce provozu se začínal zmenšovat chladicí výkon turbokompresorových jednotek CARRIER 19 DA 31. (obr. 4). Z tohoto důvodu bylo přikročeno opět k chemickému čištění kondenzátorů a výparníků této agregátu pomocí kyseliny solné. V závěrečné zprávě ze SEI je uvedeno, že v jednom chladicím agregátu bylo usazeno 65 kg kamene a nečistot. Po chemickém, a poté mechanickém vyčištění uvedených chladicích jedno-

tek se výkon opět zvýšil na předpokládané hodnoty. V průběhu této prací byla provedena současně instalace katemového filtru P 500 do okruhu doplňování topné a chladící vody. Dále byla provedena instalace automatického tlakového filtru firmy Dango-Dienenthal z NSR (viz obr. 5) na přívodním vodovodním řadu pro zachycování mechanických nečistot.

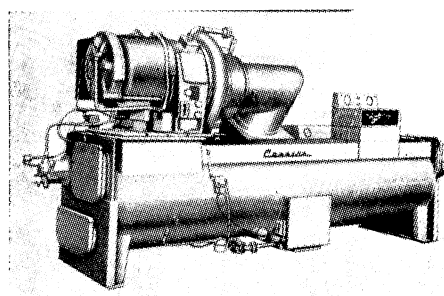
c) Neupravená doplňovaná voda způsobila poruchy i v topných a chladicích okruzích. Postupně začalo docházet k mísení topné a chladící vody v šesticestných ventilech čtyřtrubkového systému v důsledku znečištění dosedacích ploch. Vzhledem k vysoké ceně ventilů (1 ks asi 170 US \$) jsme se rozhodli pro jejich postupnou opravu. Po zajištění příslušných náhradních dílů jsme započali s jejich opravou a zkoušením na zkoušebním pultu (viz obr. 6), který jsme za tímto účelem vybudovali.

d) Důsledky doplňování neupravené vody se také začaly projevit a projevují na sníženém výkonu topných a chladicích výměníků zabudovaných v klimatizačních strojovnách. S jejich demontáží a chemickým čištěním jsme započali v loňském roce a tyto práce jsme dokončili v letošním roce. Podle loňských výsledků bylo podle expertů SEI v jednom výměníku obsaženo 8 kg kamene a nečistot. Chemicky vyčištěné výměníky nyní opět prokazují plné tepelné výkony. Tyto práce byly značně fyzicky i časově náročné, neboť nesměly narušit řádný chod celého zařízení a byly prováděny výhradně v mimoprovozní době zařízení.

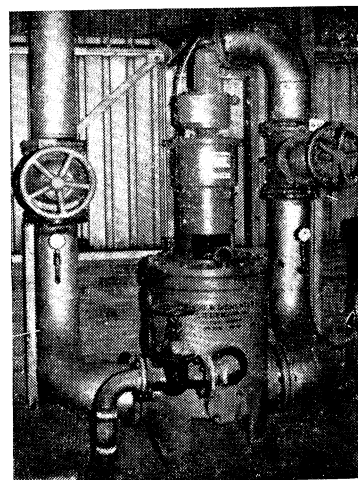
e) V letošním roce jsme též nutni přistoupit ke generální opravě všech praček vzduchu, které i přes jejich pravidelnou údržbu jsou téměř v havarijním stavu. Projevuje se to ucpáním mnoha trysek mechanickými nečistotami, rezivěním den vodních nádrží a vytvořením silných vrstev kamene a usazenin na eliminátorech, které byly přičinou sníženého vzduchového výkonu celého zařízení. Pro zajištění dalšího provozu byly pračky opatřeny novými ochrannými náterý, provedena výměna všech poškozených trysek eliminátorů. Nové eliminátory byly již dodány v PVC se snadno demontovatelnými listy. Je zřejmé, že celkový stav zařízení se provedenými opatřeními zlepšuje, ale odstranění všech důsledků doplňování neupravené vody do systému podobu asi 2 let bude záležitostí ještě dlouhodobou.

Z uvedeného vyplývá, že rozsáhlá klimatizační zařízení se členitými vodními okruhy a s regulací na vodní straně se bez rádné úpravy vody neobejdou, pokud má být zajištěna jejich rádná a spolehlivá funkce.

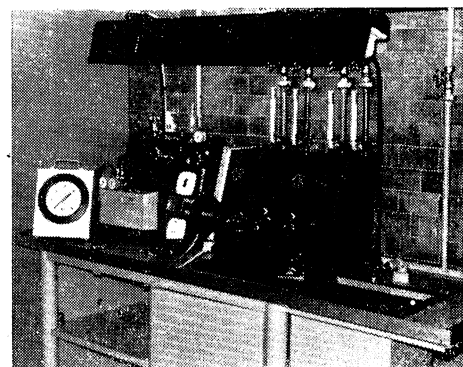
Druhým největším problémem při provozu našeho klimatizačního zařízení je značně znečištěné ovzduší v oblasti Vršovic vzhledem k použité filtrace. V jednotlivých klimatizačních jednotkách je prováděna jednostupňová filtrace nasávaného čerstvého vzduchu pomocí filtračních vložek FIRON-B 400. Tyto filtrační vložky jsou po pěti pracovních dnech vyměnovány a je prováděno jejich



Obr. 4. Turbokompresorová chladicí jednotka CARRIER 19DA31 o výkonu 1,250.000 kcal/h., chladivo R 11.



Obr. 5. Automatický tlakový filtr firmy Dango-Dienenthal z NSR, který byl instalován na přívodním vodovodním řadu za účelem zachycování mechanických nečistot do 0,1 mm.



Obr. 6. Zkušební a seřizovací pult vybudovaný pracovníky provozovatele klimatizace pro provádění oprav a seřizování šesticestných ventilů. Na tomto zkušebním pultu lze též seřizovat a zkoušet ostatní prvky automatické pneumatické regulace firmy Honeywell.

vycištění v teplé vodě s přidáním saponátu. Přestože uvedený filtrační materiál se plně vyrovnaná západoněmeckému filtračnímu materiálu Viledon, což prokázala expertiza VÚPS — Praha, je nutno konstatovat, že jednostupňová filtrace je nedostatečná. Při demontáži jednotlivých výměníků bylo zjištěno jejich značné znečištění na vzduchové straně, které se negativně promítá ve výkonu celého zařízení.

Vzhledem ke sníženému vzduchovému výkonu indukčních jednotek v důsledku zanešení jednotlivých trysk o  $\varnothing$  3 mm jemnými mechanickými částicemi byly jsme nuceni v letošním roce postupně demontovat a vyzdístit všechn 1600 ks indukčních jednotek. Čištění a seřízení všech indukčních jednotek v našem objektu byla práce časově velmi náročná.

Problémů spojených s provozem našeho zařízení je celá řada, ale v tomto příspěvku jsem chtěl především poukázat na nutnost instalace úpravy vody pro klimatizační zařízení a na negativní důsledky použití jednostupňové filtrace u systémů VTK.

*Recenzoval: Doc. Ing. J. Chyský, CSc.*

**Опыт с эксплуатацией оборудования для кондиционирования воздуха в зданиях общества ИНВЕСТА-ХЭМАПОЛ в Праге**

*Инж. Р. Новотны*

Статья приносит основные информации о установленном оборудовании для кондиционирования воздуха. Автор указывает опыт из эксплуатации оборудования и следствия, вытекающие из пользования необработанной воды и недостаточной фильтрации воздуха.

## **Some experiences with an air-conditioning equipment in buildings of INVESTA-CHEMAPOL Co. in Prague**

*Ing. Rudolf Novotný*

The author gives basic informations concerning an existing air-conditioning equipment and some experiences from its operation. Some consequences from using non-prepared water and from an inadequate air-filtration are mentioned.

## **Erfahrungen mit dem Betrieb der Klimaanlagen in Gebäuden von INVESTA-CHEMAPOL in Prag**

*Ing. Rudolf Novotný*

Der Artikel gibt Grundinformationen von einer installierten Klimaanlage sowie Erfahrungen mit deren Betrieb. Auch die Folgerungen von Benutzung des nicht zubereiteten Wassers und von unzureichender Luftfiltration werden erwähnt.

## **Expériences avec l'exploitation des installations de conditionnement d'air dans les bâtiments de la société anonyme INVESTA-CHEMAPOL à Prague**

*Ing. R. Novotný*

L'article présente renferme une information principale de l'installation de conditionnement d'air. Plus loin, on cite les expériences de l'exploitation de l'installation et les conséquences de l'utilisation de l'eau sans le traitement et de la filtration insuffisante de l'air.

### **● Subjektivní „oteplování“ světlem zářivek**

Pokusy o zhodnocení psychického oteplení prostoru — pocitu tepla (vjemu) bez objektivního fyzikálního oteplení, tj. barvou světla — jsou již staršího data. *Berry* v USA (Journal of Appl. Psychology 1962) se s několika pozorovateli v imitovaném kancelářském prostoru pokusil zodpovědět hlavní ze souboru otázek, tj. zda a které světlo zářivek — jaké barevné teploty — vytváří pocit „tepla.“ Výsledek nebyl jednoznačný, lze ho však označit jako negativní odpověď. Některé naše zkušenosti napovídají opak.

Pokusy o zhodnocení tepelného přínosu (fyzikálního) světla zářivek jsou také v popředí zájmů. *Schröder a Steck* v NSR (Lichttechnik 1973/1) odpovídají vyhodnocením rozsáhlého experimentu s 500 pozorovateli v imitovaném kancelářském prostoru.

### **Výsledky experimentu:**

Při okolní teplotě v místnosti 22 °C leží prah vnímání oteplení (tepla) u intenzity ozáření 12—13 W/m<sup>2</sup> podlahové plochy, kdy prakticky žádný pozorovatel nezaznamenal vjem; při 20 W/m<sup>2</sup> ještě 80 % osob nezaznamenalo vjem.

Při 40 W/m<sup>2</sup> zaznamenává rušivý vjem 2 % pozorovatelů a od 50 W/m<sup>2</sup> lze intenzitu ozáření považovat celkově za rušivou (až posléze za neúnosnou). Převedeno na světelné technické vyjádření bližší praxi: do 1 000 lx intenzity celkového osvětlení (v prostorách podobných kancelářským) není tepelná zátěž svítidly rušivá a při 4 000—5 000 lx je již nutno použít integrovaných osvětlovacích soustav (s klimatizovanými svítidly), aby nebyl narušen tepelný komfort.

(LCh)

## FILTRACE A DEZODORIZACE VZDUCHU — ODSTRAŇOVÁNÍ PLYNNÝCH ŠKODLIVIN

ING. JAN BRYCH

Výzkumný ústav vzduchotechniky, Praha

*V článku je nejprve pojednáno o vlastnostech čichu a o zdrojích pachů. Dále jsou stručně popsány metody k odstraňování zápachů, přičemž hlavní pozornost je věnována sorpcii na aktivním uhlí. Konečně jsou uvedeny některé dezodorizační a filtrační výrobky s udáním hlavních parametrů.*

Autoři, kteří se zabývají fyziologií čichu a čichovými podněty, rozdělují pachy na různý počet základních typů (4—12). Přes relativní nedokonalost lidského čichu je nos schopen obrovských výkonů. Čichový prah, tzn. nejmenší koncentrace, která způsobí podráždění čichových buněk, činí  $2 \cdot 10^{-10}$  mg/l pro vanilin. Skupina merkaptanů má čichový práh v rozmezí 4,0 až 220,0  $\cdot 10^{-5}$  mg/l.

Přitom bylo zjištěno, že pes, zejména druhy používané pro práci na stopě, má čich přibližně milionkrát citlivější než člověk. Nejcitlivější chromatografická čidla pracují s koncentracemi vyššími o několik rádů.

Zůstaňme ale u člověka, jehož pouhých 5 miliónů čichových buněk ovlivňuje někdy dosti značně jeho život. Stykem těchto buněk s molekulami určitých chemických sloučenin vzniká čichový podnět, podráždění, které se přenáší do mozku. Podle teorie čichu způsobují pach určité látky radikály, které nazýváme osmogény, osmofory nebo také odorivektory. Patří sem například:

|                     |                     |
|---------------------|---------------------|
| skupina aldehydická | —CHO                |
| karbinolová         | —CH <sub>2</sub> OH |
| karbonylová         | —CO                 |
| karboxylová         | —COOH               |
| hydroxylová         | —OH                 |
| sulphydrylová       | —SH                 |

Zdrojem pachů je prakticky veškerá lidská činnost fyziologická i průmyslová. Např. v každé kapce potu je několik miliardtin gramu kyseliny máselné, která ulpívá na několik dnů na kterémkoliv předmětu, kterého se lidský jedinec dotkne, a kterou pes bezpečně cítí.

Navíc můžeme předpokládat, že je tam celé spektrum dalších aromatických látek, které svou sestavou jsou zcela charakteristické pro každou osobu stejně jako otisky prstů.

Ovšem zatím je nedovedeme přesně klasifikovat. Rovněž nevíme, zda se toto spektrum nemění třeba věkem, nemocemi apod. Můžeme to považovat za pravděpodobné.

Při pobytu v nevětraných místnostech při snížené hygieně osob, začíná i pro člověka být obsah kyseliny máselné ve vzduchu velmi nepříjemný. Ukrytí většího množství osob, např. jak tomu bylo za druhé světové války, tento problém velmi dobře dokumentuje. Navíc přistupují v takových, jistě mimořádných, ale možných situacích další pachy, zejména fekální.

Poněkud drastický případ je možno uvést i z doby míru. V nemocnicích jsou oddělení nebo pokoje s umírajícími, jimž nemí pomoci. V poslední fázi života dochází k rozpadu tkání, provázenému velmi intenzivním zápachem, který je téměř nesnesitelný i pro osětřovatele.

Dalším závažným zdrojem pachů je průmyslová činnost. Průmyslové exhalace nemůžeme sice rádit mezi zápachy, kterými se zabývá dezodorizace, ovlivňují ale přesto určité ochranné systémy, o kterých bude ještě jednou pojednáno.

Zdrojem západu jsou jednak některé provozy zemědělské velkovýroby (výkrmny prasat) a také provozy, které náleží do sféry služeb, např. čistírny, prádelny, kuchyně apod. Zatímco se v zemědělství již tradičně počítá s živočišnými pachy, provozovny služeb umísťované často v hustě zalidněných oblastech jsou zdrojem nejrůznějších nepříjemností. Všude tam, kde je umělé větrání a zdroj západu poblíž, přichází ke slovu dezodorizace.

K odstranění západu se využívá řady metod. Jen stručnou zmínu věnujeme spalování. Dělíme je na termální a katalytické. Srovnání obou způsobů vyplývá nejlépe z těchto dat, ukazujících zařízení pro odpisy v množství 1 000 Nm<sup>3</sup>/h:

|                       | Teplo | Invest. náklady | Tepelný příkon   |
|-----------------------|-------|-----------------|------------------|
| Přímé spalování       | 750°  | 80 000 DM       | 1 250 000 kcal/h |
| Katalytické spalování | 350°  | 110 000 DM      | 320 000 kcal/h   |

Vyšší pořizovací náklady jsou kompenzovány menší spotřebou tepelné energie při provozu.

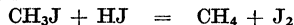
*Maskování* je dalším dezodorizačním postupem. Tento prostředek je vhodný zejména pro osobní dezodorizaci. V poslední době se i na našem trhu objevila řada komerčních prostředků tohoto druhu. Dezodorizace maskováním se používá rovněž ve veřejných místnostech, zejména tam, kde větrání není na výši, rozstřikováním různých vůní.

*Chemické reakce a katalýza* jsou dosti oblíbeným způsobem dezodorizace. Např. lze odstraňovat čpavek reakcí s kyselinou octovou nebo solnou za vzniku octanu nebo chloridu amonného, které jsou bez zápachu. Nitrozní plyny lze hydrogenovat za vzniku vody a dusíku. Příkladem katalytického odstraňování zápachů může být způsob likvidace acetaldehydu:

1. stupeň:



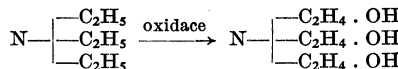
2. stupeň



Ve druhém stupni reakce se uvolňuje elementární jod, který pak znova vstupuje do reakce stupně jedna.

*Bakteriální metody* jsou předmětem řady patentů. Nutno říci, že použití tohoto způsobu je ohrazeně, zejména se ale dají použít pro kapalná prostředí. Pro plynná prostředí by přicházelo v úvahu využití bakteriálních prostředků pro zpracování vody po vypírce v dezodorizačních pračkách.

Významným dezodorizačním postupem je destrukce pachové molekuly. Dochází přitom buď k úplnému odbourání především na vodu a kysličníku uhličitého, nebo alespoň převedení na sloučeniny méně páchnoucí nebo bez zápachu. Příkladem může být likvidace pachu trietylaminu:



trietylamin

páchné silně,  
odpudivě (rybina)

trietanolamin

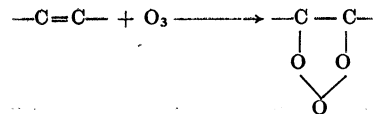
slabý, olejovitý  
zápach

Efektu destrukce pachové molekuly se dosahne rovněž ozářením UV-paprsky. Tento jev je vlastně již současně dalším postupem, totiž působením kyslíku ve stavu zrodu (in statu nascendi). Životnost těchto atomů kyslíku je asi 1 mikrosekunda ( $10^{-6}$  s), reagují prakticky kvantitativně za vzniku ozónu.

Účinnost reakce kyslíku ve stavu zrodu s osmogenním radikálem závisí na schopnosti absorpce energie určité vlnové délky a aktivizace radikálu.

*Ozónizace* je postup, který využívá ozónu k oxidaci radikálu, popř. k rozrušení určitých dvojných vazeb v molekule pachové látky. Dříve se tohoto způsobu dosti často používalo, nyní se od něho upouští, neboť ozón je klasifikován jako škodlivina, jejíž nejvyšší přípustná koncentrace je  $0,05 \text{ ppm}$ , což se rovná  $0,1 \text{ mg/m}^3$ . Ozón lze připravit např. koronovým výbojem.

Reakce ozónu s dvojnou vazbou organických sloučenin vypadá schematicky:



Na závěr tohoto výčtu metod je ponechán zámeřně způsob, kterým se budeme zabývat nejvíce. Jedná se o sorpci na aktivním uhlí, popř. chemosorpci, při níž hraje rozhodující roli impregnace aktivního uhlí. Impregnaci aktivního uhlí rozumíme vnášení obvykle anorganických solí do póru uhlí (zejména do tzv. přechodových pórů), kde pak dochází k záchytu látek chemickou reakcí.

Je účelné rozdělit škodliviny podle jejich chemického chování na alkalicke (čpavek, aminy), kyselé (sirovodík, chlorovodík, selenovodík, arsenovodík) a neutrální, kam patří většina pachových látek zejména organického původu.

Záchyt plynu na vnitřním povrchu aktivního uhlí je vcelku složitý proces, ve kterém se uplatňují elektrické síly, tzv. aktivních center povrchu, prakticky volné vazební síly uhlíkových atomů, zejména v mikropórech a přechodových pórach aktivního uhlí. Vytváření původní struktury uhlíkatých materiálů je operačně technologicky náročná, ale zvládnutá. Do průměru  $1 \text{ nm}$  je nazýváme mikropory, mají význam především pro fyzikální sorpci a kapilární kondenzaci. Jak již bylo řečeno, fyzikální adsorpce je proces, kterým jsou vázány molekuly látek s bodem varu obvykle vyšším než  $0^\circ\text{C}$ . Látky s bodem varu nižším než  $0^\circ\text{C}$  a se zvýšenou chemickou reaktivitou se při pokojové teplotě zachycují již nedostatečně. Patří sem většinou chemické sloučeniny s nízkou molekulovou vahou. Chemická reaktivita se uplatňuje zejména u plynných anorganických sloučenin a je obvykle způsobena heterogeností elektronové struktury vazeb, např. u čpavku. Rovněž kovové páry mají specifické chování, např. Hg nebo Pb, které ztěžuje jejich záchyt. Pro záchyt těchto molekul nebo atomů nelze uvažovat fyzikální sorpci. Je nutno volit chemickou reakci. Zachycující chemikálie se s výhodou nanesou do póru aktivního uhlí. Je zjištěno, že impregnace se usazuje především v tzv. přechodových pórach, tzn. v rozmezích řádově jednotek a desítek nm v průměru póru. Impregnaci látky jsou anorganické i organické.

Podle požadavku se volí impregnace specifické nebo s univerzální působností. Prakticky nelze najít impregnaci činidlo, které by zajistilo záchyt všech škodlivin. Je nutno rozehodnout pro každý případ, zda je potřeba zachytit širší spektrum škodlivin, nebo zda je nutné zaměřit se výhradně na jedinou škodlivinu.

Vedle dezodorizace zaměřené v podstatě na zvýšení komfortu vystupuje do popředí odstraňování průmyslových škodlivin, neboť se nemusí v každém případě jednat výhradně o látky páchnoucí, ale o záchyt škodlivin, které zhor-

šují pracovní prostředí, i když jsou pod prahem čichatelnosti.

Právě pro případ tzv. „čistých místností“ se ukazuje sorpční čištění vzduchu ve spojitosti s filtrací jako velmi výhodné. K záchytu plyných škodlivin dochází ve vhodně uspořádané sorpční vrstvě. Tímto vhodným uspořádáním rozumíme obvykle filtr přizpůsobený svými rozměry, zejména silou vrstvy, požadavkům záchytu. Je třeba říci, že ani nejdokonalejší filtr není všecký. Velká množství vzduchu se čistí obtížně, např. záchyt  $\text{SO}_2$  v průmyslových exhalacích nepřichází tímto postupem v úvahu. Pro vysoké pořizovací náklady, objemnost zařízení, provozní náklady, zejména spotřebu energie, nelze uvažovat o čištění např. spalin z elektráren sorpční filtrací.

Je především nutné řešit celý systém komplexně, neboť nevhodné uspořádání cirkulačního větrání by mohlo zcela znehodnotit vysokou účinnost filtru. Větrání závisí mimo jiné na umístění sacích i výstupních výstupů systému, vytvoření vhodného proudění ve větraném prostoru, na výměně vzduchu a dalších faktorech. Je nutno přihlédnout k teplotě a průměrné vlhkosti prostředí, koncentraci škodlivin atp. Jak jsme již uvedli, dezodorizaci, lépe řečeno jednou z metod dezodorizace, je záchyt zápacových látek na vnitřním povrchu aktivního uhlí. Tento postup je již dlouho znám, ale dosud není v dostatečné míře využíván. Jiná situace vzniká tam, kde jede o látky toxicité v míře, která se blíží nejvyšší přípustné koncentraci (NPK), nebo ji dokonce překračuje. Mám na mysli např. některé chemické nebo metalurgické provozy. Navíc stále rostoucí podíl řídící výpočtové techniky přímo v provozech přináší nutnost totiž velmi nákladná zařízení chránit. Koncentrace škodlivin lidskému zdraví zcela neškodná může mít velmi těžké následky např. na kontakty počítače. Po několika týdnech se vytvářejí i při koncentraci  $\text{H}_2\text{S}$  1–2 mg/m<sup>3</sup> na paladiových plíšcích kontaktů různobarevné nálety, které mohou ovlivnit přechodové odpory kontaktů a způsobit řadu nepřijemností a snížení životnosti zařízení, což při jeho cenie, která jde do desítek milionů Kčs, nemá malíčkost. Přitom NPK  $\text{H}_2\text{S} = 10 \text{ mg/m}^3$ . Čichový práh je asi 4 mg/m<sup>3</sup>.

V rozvoji výpočtové techniky lze proto předpokládat zvýšený požadavek na dezodorizační filtry. Přitom sirovodík patří k látkám, které se na neimpregnovaném uhlí prakticky vůbec nezachytí.

V oboru dezodorizace je ve výrobním programu LVZ-Liberec dezodorizační jednotka DJ 1 000 pro jmenovitý průtok 1 000 m<sup>3</sup>/h. Je určena především pro záchyt zápacu. Vzhledem k požadavku vyvinut dezodorizační filtry pro velmi obtížné pracovní podmínky byl ve VÚV Praha vyvinut filtr DF-50, který má rozšířenou paletu zachycovaných médií. Kromě organických par zachycuje ve velkém množství čpavek, sirovodík a kysličník sířičitý, a je tedy vhodným prvkem pro větrací systémy, zejména v chemický exponovaných provozech. Jednotka má ø 200 mm, výšku 200 mm, tlakovou ztrátu 200 Pa (20 kp/m<sup>2</sup>).

Jmenovitý průtok filtrem DF-50 je 50 m<sup>3</sup>/h.

Zvýšený záchyt škodlivin byl docílen impregnací aktivního uhlí GA-1 (výrobek SLZ — Hnúšta), síranem zinečnatým  $\text{ZnSO}_4 \cdot 7\text{H}_2\text{O}$ . Dosahovaná sorpční kapacita je 50 g čpavku, 10 g sirovodíku a 250 g organických par. Filtr je možno řadit do sestav. S výrobou se uvažuje od r. 1975, v případě potřeby by bylo možno vyrobit určitá množství v r. 1974.

Několik slov pro informaci ke zkoušení filtrů. Zkoušení filtrů je typický destrukční zkouškou. Schopnost filtru zachytit určité množství škodlivin označujeme jako sorpční kapacitu a vyjadřujeme ji v gramech. Měříme ji jednoduchým způsobem, filtrem se prosává nominální množství vzduchu s definovanou příměsí škodliviny až do prvního průniku. Průnik se indikuje vhodným způsobem předešaným zkušebními podmínkami. Citlivost indikace průniku škodliviny je asi  $10^{-1}$  mikrogramu. Některé zkušební škodliviny, např. chlorpikrin se indikují čichem v koncentracích o 1 až 2 řády nižších než chemicky.

Na závěr je nutno zmínit se ještě o jednom příkladu, který dokumentuje závažnost sorpční techniky pro čistotu životního prostředí.

Energetika druhé poloviny 20. století by byla nepředstavitelná bez jaderné energetických zařízení (elektráren a tepláren). Stavba těchto zařízení přináší nutnost řešit bezpečný provoz a likvidaci připadných havárií. Při destrukci palivových článků reaktoru, ať již při rozebírání vyhořelých nebo při havárii se uvolňuje určité množství jodu  $\text{I}^{131}$ ; i když tento izotop je ve vzduchu v koncentraci přibližně  $10^{-7} \text{ g/m}^3$ , nelze ho vypustit mimo provoz do atmosféry, neboť je to zářící  $\beta$  a  $\gamma$  s poločasem 8,14 dnů s možností vstupovat do biologického cyklu s dalekosáhlými důsledky. Tento fakt vyvolal potřebu vyrábět speciální filtry, což velké světové firmy, např. Dräger, CEAG a další, činí. Prozatím je většina komerčních filtrů založena na aktivním uhlí, popřípadě impregnovaném jodidem dráselným, nebo jinými činidly, zachycujícími jednakelementární jod, jednak aktivní metyljodid, a to na principu fyzikální sorpcí a izotopové výměny, kde  $\text{I}^{131}$  se vyměňuje za neaktivní  $\text{I}^{127}$ . Při velké převaze izotopu 127 se dá předpokládat prakticky kvantitativní výměnu. Nevýhodou náplně aktivního uhlí je jeho hořlavost. Navíc záchyt v podmírkách havárie je komplikován vysokou vlhkostí filtrovaného média. Proto se řeší využití anorganických sorbentů např. aluminu nebo molekulových sít 13X nebo 13Y. S výhodou se nanáší na nosič stříbrné soli ( $\text{AgNO}_3$ ).

Funkce filtru v podmírkách havárie je především intenzivní výzkumné činnosti řady výzkumných a vývojových pracovišť na světě.

Sorpční technika přináší i v tomto oboru velmi cenné výsledky pro tak perspektivní odvětví jako je jaderná energetika.

Kdybychom tedy měli shrnout obory uplatnění dezodorizace a sorpční techniky, pak na prvním místě by rozhodně stála technika prostředí (čisté místnosti, velíny v chemickém průmyslu, místnosti výpočtové techniky), záchyt škodlivin v místě zdrojů (radioaktivní odpady), záchyt pachových látek na místě

zdrojů (nemocnice, kafilérie, sušárny trusu a některé průmyslové provozy, např. výroba tabákových výrobků). Šorpčí technika nejen neřekla poslední slovo, ale naopak je na začátku velkého rozvoje, který si péče o čistotu ovzduší vynutí.

## Literatura

*W. Summer: Geruchlosmachung von Luft und Abwasser.* R. Oldenbourg, München—Wien, 1970.

*Recenzoval: Doc. Ing. Dr. L. Oppl, CSc.*

## Фильтрация и дезодоризация воздуха — удаление газообразных и вредных примесей

*Инж. Й. Брыч*

Статья приводит сначала свойства обоняния и источники пыли. Далее в статье коротко описываются методы управления дурного запаха и главное внимание обращено к сорбции на активном угле. В заключении приводятся некоторые дезодорационное и фильтрационное продукты и приводятся их главные параметры.

## Air filtration and desodorisation — removing injurious gases

*Ing. J. Brych*

The author examines first the characteristics of the sense of smell and the sources of smell.

## ● Filtrační sloupy

Mnoho výrobců klimatizace nabízí své výrobky s argumentem, že venkovní ovzduší je již tak znečištěno, že je nutnost instalovat klimatizační zařízení, aby se nemusela otevírat okna. I když toto tvrzení má své opodstatnění, neznamená to, že by se nemělo vyvinout úsilí o zlepšení ovzduší vně budov, naopak, toto by mělo být hlavním smyslem všeho snažení.

V Paříži obsahuje dnes ovzduší v průměru 0,3 mg prachu v 1 m<sup>3</sup> a v některých oblastech dosahuje až hodnot 0,5—1 mg/m<sup>3</sup>. Kromě své bezprostřední škodlivosti, hrají ve vzduchu se vznášející částice velkou roli jako kondenzační jádra, která vážou škodlivé plyny, které by se jinak rozplynuly. Poněvadž se emisi těchto částic nedá zabránit, zůstává zatím jako jediná možnost odstraňovat je ze vzduchu. Fa Société BERTIN & Co se zabývala od r. 1965 vývojem speciálních filtračních sloupů k to-

Further on the methods of bad smell removing are described, especially with regard to absorption methods using active coal. Some desodorising and/or filtering products are mentioned and their basic date given.

## Luftfiltration und Luftdesodorisation — Beseitigung von schädlichen Gasanteilen

*Ing. J. Brych*

Der Verfasser bespricht zuerst Geruchsinn-eigenschaften sowie Geruchsquellen. Weiter beschreibt er Methoden zur Beseitigung unangenehmer Gerüche, besonders die Methoden, die Aktivkohlesorption verwenden. Auch einige Erzeugnisse für Desodorierung oder Filtrierung der Luft samt deren Hauptparametern werden angegeben.

## Filtration et la désodorisation de l'air — l'évacuation de la pollution gazeuse

*Ing. J. Brych*

L'article présente traite des propriétés de l'odorat et des sources de l'odeur. Plus loin, on décrit les méthodes pour l'évacuation des odeurs où on applique son attention à la sorption sur le charbon actif. Enfin, on cite divers produits désodorisants et filtrants avec une introduction des paramètres principaux.

muto účelu a v r. 1971 byly postaveny dva takové sloupy v Paříži ve spolupráci s Electricté de France.

Znečištěný vzduch je do sloupů nasáván spodem, ve sloupu je zbaven většiny nečistot a na horní části sloupu opět vyfukován do prostoru. V současném provedení mají takové sloupy zpracovat za rok asi 100 miliónů m<sup>3</sup> vzduchu, čímž se dá podle stupně znečištění atmosféry zachytit 30—50 kg prachu.

Podle názoru výrobce dalo by se postavením několika tisíc takových sloupů podél chodníků na ulicích podstatně zlepšit ovzduší takového města, jako je Paříž. V současném provedení jsou sloupy asi 5 m vysoké, průměru 1,6 m a váží 1 400 kg. Kdyby došlo k jejich sériové výrobě, umožnilo by to nízkou cenu a vzhledovou úpravu zapadající do rámce okolí.

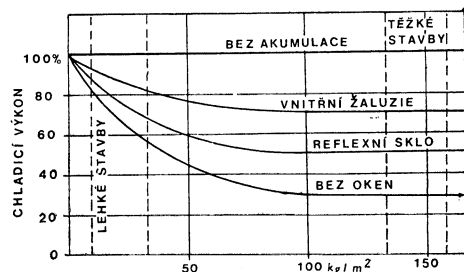
## KLIMATIZACE V LEHKÝCH STAVBÁCH

### Úvod

Charakteristickým znakem moderní architektury je používání lehkých stavebních konstrukcí. Klasické stavební materiály, cihlu a masivní železobeton, nahradily lehké ocelové nebo železobetonové konstrukce s obvodovým pláštěm z kovových panelů s izolační výplní, vyráběné průmyslově.

Těžké stavební konstrukce z klasických stavebních materiálů nepotřebují ve středoevropských klimatických podmínkách strojní chlazení. Hmota pláště budovy představuje teplotnou kapacitu, postačující k vyrovnání denních výkyvů teploty a k absorpci tepla slunečního záření (obr. 1).

U lehkých staveb je mnohem větší využití podlahové plochy než tomu bylo dříve, hmota obvodového pláště je velmi malá. U výškových budov se často používá čtvercový půdorys, takže část podlahové plochy musí být uměle osvětlována. Okna jsou neotvíratelná a dobrě provedený obvodový pláště by měl být neprodryšný. Proto všechny tyto prostory musí být uměle větrány upraveným vzduchem a velká část budovy má, často celoročně, přebytek tepla.

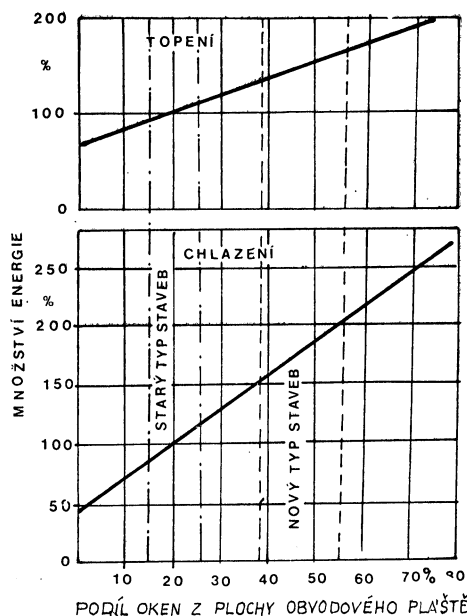


Obr. 1. Vliv hmoty obvodového pláště na potřebný chladicí výkon.

Dosavadní zahraniční i tuzemské díra zařízené zkušenosti s klimatizací v lehkých stavbách ukazují, že je nutno dodržet některé zásady, které je možno shrnout do desatera:

#### 1. Prosklení obvodového pláště má být co nejménší, okna neotvíratelná

Velká prosklená plocha bývá architektonicky působivá, ale při oslnění dochází k značnému přehřátí místnosti. Současně dochází k rychlým změnám osvětlení pracovní plochy při oblačném počasí. Pro vytvoření snesitelných životních podmínek je nutné nákladné klimatizační zařízení, jak je zřejmé z obr. 2. Proto se zmenšuje velikost prosklené plochy z dříve obvyklých 60–70 % na pouhých



Obr. 2. Závislost tepelných ztrát a zisků na podílu prosklené plochy obvodového pláště.

20 %, ale někdy i na 15 % plochy obvodového pláště (např. u Standard Oil Building-Big Stan Chicago USA z roku 1972).

#### 2. Centrální příprava větracího vzduchu

U dobrě provedené stavby je možno předpokládat, že do budovy přichází jen upravený větrací vzduch. Úprava vzduchu je záležitost nákladná a energeticky náročná. Proto je nutno dodávat jen nezbytné množství vzduchu, závislé na druhu a intenzitě práce. Největší vliv na spotřebu větracího vzduchu má kouření. Proto je účelné zařizovat kuřárny a důsledně prosazovat zákaz kouření na pracovištích, samozřejmý v halových kancelářích a prodejnách.

Centrální úprava vzduchu je účelná, protože jedna z hlavních složek úpravy vzduchu, filtrace, se provádí zařízením, které vyžaduje častou obsluhu a časově náročnou údržbu. Ta je prakticky neprovoditelná u zařízení decentralizovaných po celé budově (v Praze se dosáhne maximální přípustné znočištění fironových vložek za 3–10 dní). Mechanizované filtry s převíjením filtračního rouna jsou nespolehlivé.

Množství energie potřebné pro úpravu větracího vzduchu závisí na potřebné změně teploty na sávaného, venkovního vzduchu.

Průto je účelné a hygienicky plně využívající měnit teplotu rosného bodu větracího vzduchu v závislosti na okamžité teplotě venkovního vzduchu. V zimě je to  $12^{\circ}\text{C}$  při venkovní teplotě  $-15^{\circ}\text{C}$  a v létě  $18^{\circ}\text{C}$  při venkovní teplotě  $32^{\circ}\text{C}$ . Rozvod takového vzduchu je možno provádět neizolovaným potrubím.

### 3. Recirkulace vzduchu vždy jen v rámci jedné místnosti nebo zóny

Teplovzdušné vytápění a chlazení přináší celou řadu hygienických problémů, způsobovaných převážně recirkulací vzduchu. Vzduchem se přenáší kouř, zápachy, ale také choroboplodné zárodky. Proto by měla obecně platit zásada nemíchat vzduch z více místností při recirkulaci. U vysokotlaké klimatizace je vhodné používat pouze čerstvý vzduch. Přívod vzduchu, který je nutný pro větrání, nezpůsobuje obvyklé cítelné proudění v místnosti. Pokud se v zimě omezí přívod vzduchu na množství nutné pro větrání, odpadnou běžné stížnosti na „průvan“ v klimatizovaných prostorech, stížnosti dost často odůvodněné.

### 4. Krytí tepelných ztrát obvodového pláště pomocí zářičů nebo ventilátorových jednotek, umístěných pod okny

Tepelné ztráty obvodového pláště způsobuje převážně prosklení. Sálání studené plochy skla nejlépe kompenzuje velkoplošný zářič o teplotě  $50$  až  $80^{\circ}\text{C}$ , umístěný mezi okny nebo pod okny. Ještě výhodnější je elektrický, bodový nebo přímkový infrazářič, umístěný mezi okny. Výhodou zářičů je, že přímo kompenzují tepelné ztráty oken bez zvýšeného proudění vzduchu kolem chladných ploch.

Regulace teplovodních zářičů je obtížná, je nutno používat elektricky nebo pneumaticky ovládané ventily, a to je nákladné. Elektrické infrazářiče je možno regulovat jednoduše, laciným termostatem.

Méně vhodné (z hlediska využití tepelné energie) jsou podokenní ventilátorové jednotky, které jsou ale nezbytné pro využití teplé vody o nízké teplotě (například z tepelného čerpadla) a velmi výhodné pro nouzové, lokální větrání, vytápění a případně i chlazení místnosti, při poruše centrálního zařízení pro klimatizaci vzduchu. Pro tento účel je možno tyto jednotky spojit s vnějkem budovy pomocí nástavce s klapkou (nejlépe centrálně dálkově ovládanou). Jsou opatřeny filtrem vzduchu, množství vzduchu je nezávislé na směru a rychlosti větru, vzduch může být před vstupem do místnosti ohřát nebo chlazen a nouzové větrání je možno ovládat centrálně, bez nutnosti zásahu osazenstva místnosti.

Jejich tepelný výkon se při vypnutém ventilátoru sníží asi na  $15$ – $25\%$  výkonu při chodu ventilátorem. Vypínání ventilátoru je možno využít k regulaci teploty.

### 5. Krytí tepelných zisků proměnným přívodem recirkulovaného vzduchu

Tepelné zisky vznikají na obvodu budovy převážně z oslunění. V jádru budovy jsou hlavním zdrojem tepla osvětlovací tělesa a lidé.

Zisky z oslunění se pohybují od  $50\text{ W}$  do  $400\text{ W}$  na jeden  $\text{m}^2$  obvodového pláště. Z osvětlení je příkon tepla asi  $30\text{ W}$  až  $250\text{ W}$  na jeden  $\text{m}^2$  podlahové plochy.

Přívod vzduchu, který je zapotřebí pro odvedení tepelných zisků, je mnohem větší než přívod potřebný pro větrání. Protože pocit tepla je závislý na rychlosti proudění vzduchu, je energeticky výhodné odvádět teplo prostřednictvím proměnného přívodu vzduchu. Potřebný vzduch se získá recirkulací (v rámci jedné místnosti) a ochladí se na povrchovém tepelném výměníku. Pro tyto účely se používají ventilátory s regulací otáček, nejlépe pomocí tyristorového regulátoru.

U malých jednotek, např. pro chlazení místností do  $50\text{ m}^2$  podlahové plochy, je možno používat jednotek umístěných v prostoru mezistropu s regulací výkonu přepínáním dvou nebo třírychlostního elektromotoru. Výhodná je regulace změnou intervalu chodu a klidu ventilátoru. Regulace se provádí speciálním tranzistorovým regulátorem.

Recirkulační vzduch pro chlazení je výhodné nasávat z chlazeného prostoru přes osvětlovací tělesa a přes prostor mezistropu. Tímto způsobem se odvede  $60$ – $70\%$  produkce tepla svítidel a zabrání se tak zvyšování teploty osvětlovaného prostoru.

Pro přívod vzduchu je obvykle nutno používat speciální, regulované vyústky s proměnným profilem výfukové štěrbiny, aby se dosáhlo rovnorněho rozdělení vzduchu v místnosti při jeho různém přívodu. Při regulaci množství vzduchu délhou vzduchového impulsu je možno použít běžné vyústky [3].

### 6. Využití možnosti tepelného čerpadla

Pro přecerpání  $1\text{ kW}$  tepelné energie z úrovni  $5$ – $7^{\circ}\text{C}$  na úroveň  $35$ – $40^{\circ}\text{C}$  je zapotřebí u kompresorových tepelných čerpadel  $200$ – $400\text{ W el. výkonu}$  na svorkách elektromotoru a asi  $1,2$ – $2\text{ kW}$  tepelného výkonu (nejčastěji dodávaného nízkotlakou párou nebo teplou vodou o teplotě nejméně  $120^{\circ}\text{C}$ ) u tepelných čerpadel absorpčních.

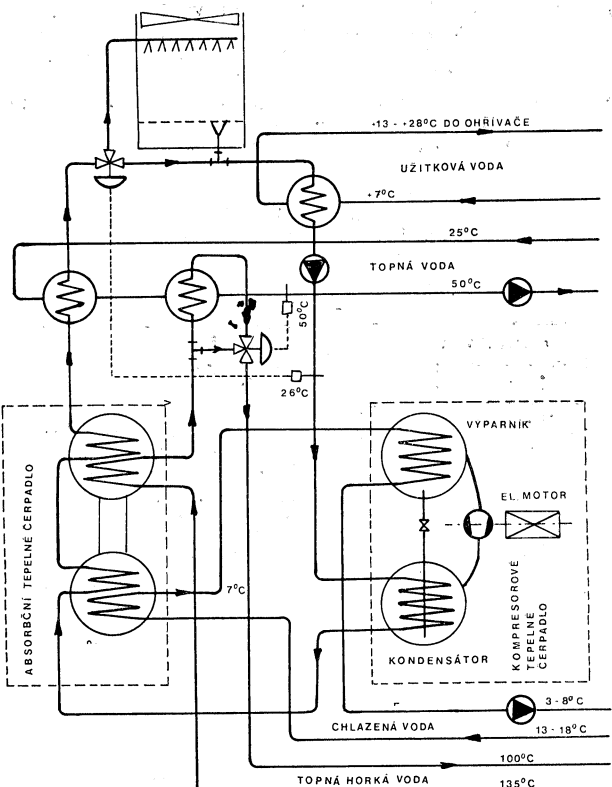
Tepelné čerpadlo se v létě používá pro chlazení budovy, přebytek tepla se odvádí obvykle pomocí chladicí věže.

Absorpční tepelné čerpadlo je výhodné celoročně tam, kde je laciná pára nebo horká voda, ale vždy pro zimní přecerpávání tepla, kdy se veškeré teplo využívá pro vytápění budovy nebo pro úpravu větracího vzduchu.

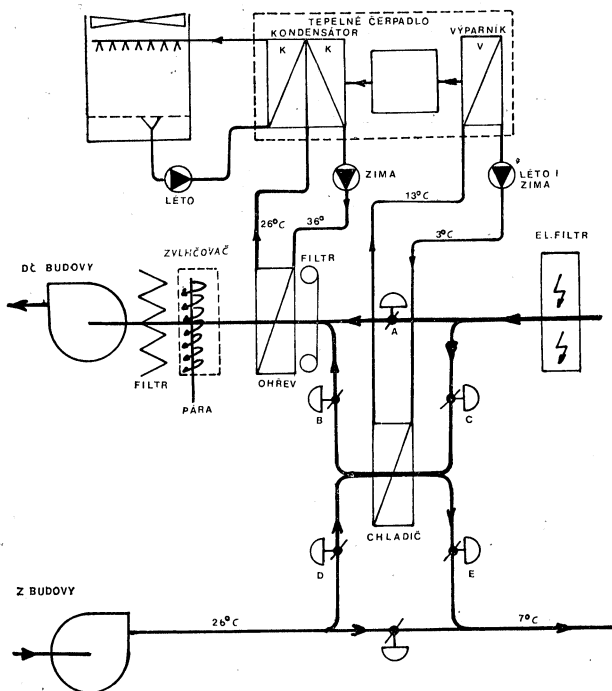
Pro celorční provoz je výhodná kombinace absorpčního a kompresorového chladicího zařízení. V zimě v době energetické špičky i v létě se užívá absorpční chladicí zařízení, v ostatní době a jako záloha slouží kompresorové chladicí zařízení s el. pohonem. Propojení je znázorněno na obr. 3.

### 7. Centrální obvod znehodnoceného vzduchu s rekuperací tepla

V budově se pravidelně udržuje mírný přetlak vzduchu. Část větracího vzduchu odchází netěsnostmi, zbytek je nutno odsát. Vhodné je používat opotřebovaný vzduch



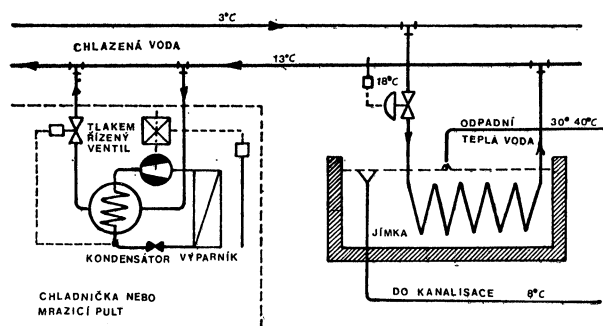
Obr. 3. Schéma uspořádání tepelného čerpadla s kompresorovým a absorpčním agregátem.



Obr. 4. Schéma zařízení pro rekuperaci tepla z užitkové vody, chladniček a odpadní vody.

pro větrání a chlazení pomocných provozů, jako jsou strojovny vzduchotechniky a výtahů, nouzových zdrojů energie, ale i telefonní ústředny (po vyfiltrovaní) nebo sály počítacových zařízení. V létě, kdy je přebytek tepla, vyfukuje se pak tento vzduch mimo budovu, pokud možno tak, aby nemohl být znova nasát.

V zimě, v době nedostatku tepla, se vyfukovaný vzduch ochladí asi na 6—8 °C, teplo se využívá buď k ohřátí čerstvého vzduchu nebo i pro jiné použití v budově.



Obr. 5.

Pokud se používá tepelné čerpadlo, je nejvhodnější uspořádání podle obr. 4. Teplota se odnímá odcházejícímu vzduchu tepelným výměníkem s povrchovou teplotou 1—7 °C. Při průměrné teplotě odcházejícího vzduchu 24 °C a vlhkosti 50 % je možno získat z 1 m<sup>3</sup>/h až 6,5 W tepelné energie. Výhodou je hygienická nezávadnost rekuperace a velká volnost ve využití přečerpaného tepla, které je k dispozici při poměrně vysoké teplotě 35—40 °C. Tepelný výměník používaný v zimě pro rekuperaci se použije v létě pro chlazení nasávaného, čerstvého vzduchu. Přechod z letního na zimní provoz se provede prostým otevřením a zavřením několika klapek.

Pokud se v budově používají chladničky, chladicí nebo mrazicí pulty, je výhodné používat pro ně chladicí agregáty s vodním kondenzátorem. Pro chlazení kondenzátoru je pak možno použít zpětnou vodu z tepelného čerpadla o teplotě 15—18 °C. V létě se teplo odvede hospodárně pomocí chladicí věže, v zimě se využije pro vytápění budovy.

Teplovou užitkovou vodu, před vstupem do ohříváče, je možno

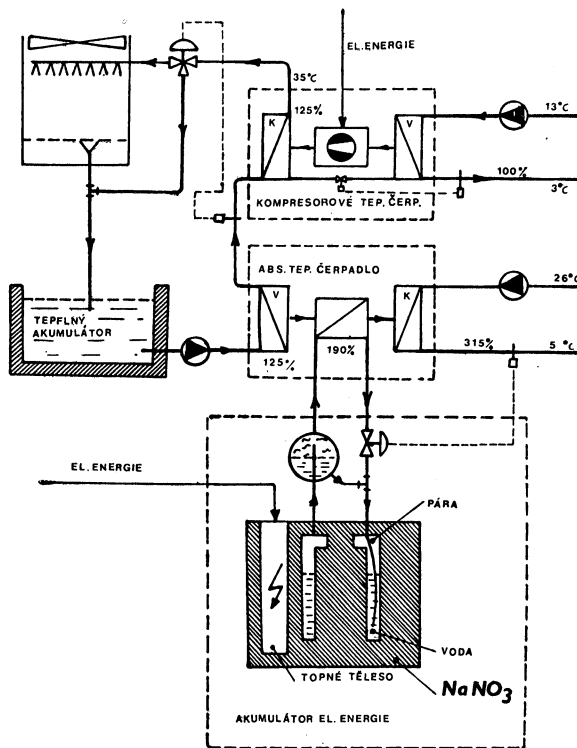
předeheřivat v kondenzátoru tepelného čerpadla. V létě se tímto způsobem sníží spotřeba energie pro tepelné čerpadlo a teplo, místo aby se ničilo v chladicí věži, ohřívá užitkovou vodu (obr. 5).

Použitou užitkovou vodu, obvykle jen lehce znečištěnou, je v zimě možno ochlazovat vodou z tepelného čerpadla a získané teplo používat k ohřevu budovy.

#### 8. Akumulace přebytku tepla a mimošpičkové elektrické energie

V době slunečního svitu nebo v době venkovních teplot nad bodem mrazu vzniká v budově přebytek tepla, které se obvykle odvádí pomocí chladicí věže. Část tohoto tepla je možno akumulovat pro použití v nočních hodinách pro temperování budovy nebo pro ranní, rychlý ohřev budovy. Teplo je možno akumulovat buď v beztlakové nádobě o obsahu až několika set m<sup>3</sup> v rozmezí teplot 5—40 °C nebo v tlakové nádobě v rozmezí 5—130 °C.

Beztlaková akumulace je výhodná ve spojení s tepelným čerpadlem. Umožňuje ukládat



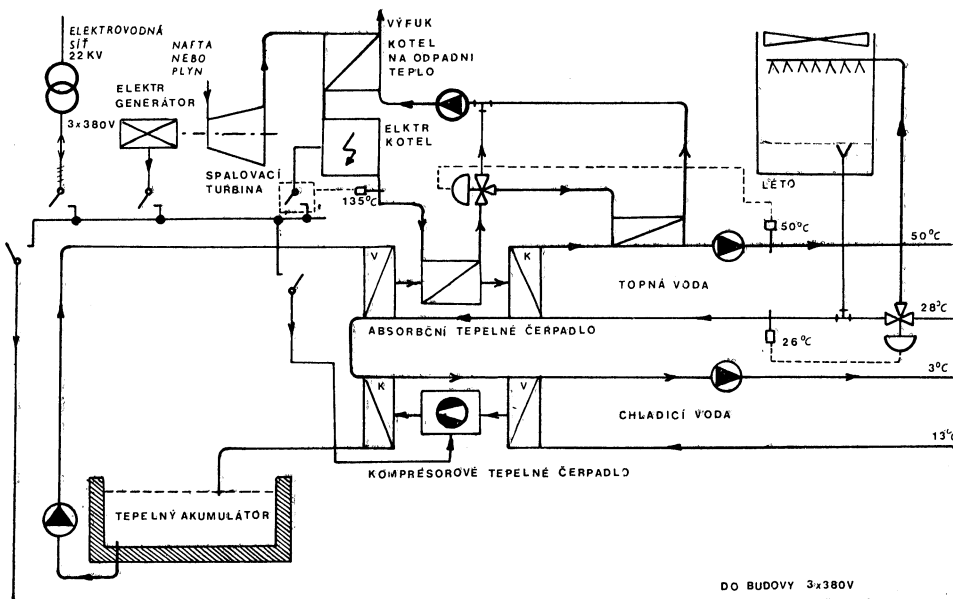
Obr. 6. Použití tepelného čerpadla ve spojení s akumulátorem tepla a využití mimošpičkové akumulace el. energie.

nejen přebytky tepla, ale vytvářet i zásobu chladu při využití mimošpičkové el. energie a nízkých nočních teplot venkovního vzduchu. Tento chlad se pak využije v době energetické špičky nebo pro doplnění výkonu chladicího zařízení při extrémních klimatických podmínkách.

Thakové zásobníky tepla jsou vhodné pro akumulaci mimošpičkové el. energie. Pro stejný účel je možno použít také akumulátor obsahující dusičnan sodný —  $\text{NaNO}_3$ . Využívá se skupenské teplo tání a akumulace probíhá v intervalu 200—312 °C. V tomto akumulátoru je možné získávat páru, a to jak pro vlhčení vzduchu, tak pro absorpční tepelné čerpadlo, ale také pro ostatní účely, např. v prádelnách a kuchyních [4].

spodní vodu a podstatně zjednoduší rozvody tím, že omezuje přívod do budovy na jeden druh snadno měřitelné energie.

V celé řadě oblastí ČSSR je dostatek spodní vody nebo vody prosakující z blízkých vodních toků. Teplota této vody se pohybuje od 8 až do 12 °C a kolísá v průběhu roku jen velmi málo. Tuto vodu je možno v létě použít buď přímo k chlazení, nebo nepřímo, prostřednictvím tepelného čerpadla. V zimě je naopak možno tuto vodu ochlazovat o 5 i více stupňů a získané teplo použít pro krytí tepelného deficitu budovy. Použitou vodu je možno odvádět kanalizací nebo po ohřátí popřípadě ochlazování, vracet odpadovou studnou zpět do podloží. Spodní voda nebo voda z přirozených nádrží, rybníků, bazénů apod. může nahradit



Obr. 7. Využití nouzového zdroje el. energie pro vytápění a chlazení budovy.

Tepelný akumulátor nahrazuje, ve spojení s tepelným čerpadlem, hmotu budov z klasicistických stavebních materiálů. Pomáhá vyrównávat denní kolísání teploty a tepelné zisky z oslnění. Optimum využití energie je možno dosáhnout kombinací beztlakového akumulátoru s tepelným čerpadlem s kompresorem, a vysokotlakého nebo tavrného akumulátoru s absorpčním tepelným čerpadlem, tak jak je znázorněno na obr. 6.

Odběr el. energie v budově s akumulací tepla může být po celých 24 hodin stálý, po případě je možné programově snižovat odběr v době energetické špičky. To je zvláště výhodné při využívání atomových elektráren s omezeným rozsahem regulace výkonu a mělo by být příslušně tarifně zvýhodněno.

Elektrické akumulované teplo maximálně šetří životní prostředí, neohrožuje znečištěním

jak akumulační nádrž, tak zdroj přídavného tepla, např. el. mimošpičkovou energii. Při použití tepelného čerpadla je to nejlevnější zdroj tepla.

#### 9. Využití tepla nouzového zdroje el. energie

Velké budovy nebo komplexy budov jsou obvykle vybaveny nouzovým zdrojem el. energie, nejčastěji dieselagregátem. Účinnost bývá 33—35 %. Zbytek tepla odchází neužitečné, chladicí vodou a výfukem. V budovách, kde se větší část tepla přečerpává tepelným čerpadlem a využívá rekuperace z odpadního vzduchu, byly by nároky na velikost pomocného zdroje el. energie neúměrně velké. Ztrátu tepelného příkonu z plného osvětlení jádra budovy je možno nahradit teplem chladicí vody a teplem odebíraným z výfukových plynů nouzového dieselagregátu. V létě je možno toto тепло vy-

užít v absorpčním tepelném čerpadle pro chlazení budovy. Nouzový zdroj el. energie postačí pak krát omezené osvětlení jádra a všechny nezbytné el. pohony jak pro vzduchotechniku, tak pro ostatní účely.

Nouzový zdroj el. energie je ale možno využít i pro krytí špičkových tepelných ztrát nebo zisků za extrémních klimatických podmínek. Tepelné čerpadlo a akumulátor je pak dimenzován jen na průměrné klimatické podmínky a deficit tepla nebo chladu kryje nouzový zdroj. El. energie, která se přitom vyrábí, se v zimě využije v infrazářičích a v létě pro pohon kompresorového tepelného čerpadla.

Ve velkých komplexech kancelářských budov, v nemocnicích v universitních objektech apod. je možno místo dieselagregátu použít spalovací turbínu [5] (pro výkon nad 1 MW) a popřípadě ji používat pravidelně pro krytí spotřeby el. energie, tepla a chladu v době energetické špičky, ve funkci lokálního zdroje špičkové energie. Ve spojení s tepelným akumulátorem a rekuperací tepla, nahradí taková spalovací turbína plně místní teplárnu a představuje optimální využití zemního plynu nebo tekutých paliv. V době mimo energetické špičky dodává celý potřebný příkon pro osvětlení, otopení a chlazení elektrovodní sítí, v době špičky dodá převážnou část příkonu spalovací turbína. Přebytky tepla se ukládají v akumulátoru, přebytky el. energie se dodávají do sítě. Uspořádání je na obr. 7.

#### 10. Provoz a údržba klimatizačních zařízení prostřednictvím specializovaných organizací

Moderní klimatizační zařízení představuje složitý komplex strojního a přístrojového vybavení z oboru tepelné techniky, vzduchotechniky, chladírenské techniky, elektroniky a ve větších komplexech i výpočetové techniky. Proto je prakticky nemožné, aby provozovatel budovy zaměstnával všechny potřebné odborníky, kteří by byli ostatně velmi špatně využiti. Proto je výhodné a národnostopodářsky nutné, aby údržbu, ale i provoz klimatizačního zařízení prováděla pro provozovatele budovy speciali-

zovaná organizace, která by obhospodařovala současně nejméně 100 jednotlivých zařízení. Jediné tímto způsobem je možné vytvořit hospodárně potřebné rezervy materiálů a lidí pro odstraňování havarijních stavů a pro periodickou kontrolu a údržbu zařízení.

Při dosavadní praxi provádějí nebo spíše neprovádějí údržbu a provoz pracovníci bez jakéhokoliv odborného výcviku, většinou důchodci.

Provoz klimatizačních zařízení prostřednictvím specializovaných organizací je běžný v USA a v západní Evropě. Služba se provádí buď za paušál, nebo na základě dodaného a změřeného množství tepla nebo chladu.

Pouze odborná a specializovaná údržba a provoz klimatizačních zařízení s centralizovaným zásobováním náhradními díly a pomocnými hmotami poskytuje záruku, že investice, věnované na vzduchotechnická zařízení, přinesou očekávaný užitek národnímu hospodářství.

#### Literatura

- [1] *Worden A.:* Heat reclaimed in office air conditioning melts snow full time.  
Heating/Piping/Air Conditioning 44 (1972) čís. 6, str. 59—63.
- [2] *Morabito, B. P.:* Refrigeration machinery for todays buildings.  
Heating/Piping/Air Conditioning 45 (1973) čís. 6., str. 63—72.
- [3] *Hartman, K.:* Klimasystem mit variable Volume Strom nach dem Einkanalprinzip.  
HLH 24 (1973) čís. 3., str. 78—82 a čís. 4., str. 109—113.
- [4] *Engelbrecht, H.:* Elektro-Zentralspeicher mit Schmelzbarem Speichermedium.  
HLH 24 (1973) čís. 1., str. 26—28.
- [5] Sport center coold by waste heat.  
Heating/Piping/Air Conditioning 45 (1973) čís. 7., str. 19.

Jaroslav Křečan

#### ● Nový filtrační materiál naznačuje nový směr v klimatizaci

V NSR byl předložen veřejnosti nový filtrační materiál SANILAN, vyvinutý firmou COLLO.

Je to materiál, který zachycuje pachy i plynné škodliviny a některé jedovaté látky bez zápachu a mění je cestou studeného spalování přes speciální katalyzátorový systém v neskočné a nepáchnoucí substance. Nosičem této katalyzáčních a absorpčních látek je zušlechtěný hydrofilní pěnový polyuretan s otevřenými pory.

SANILAN působí fyzikálně adsorpce a chemicky oxidací, příp. redukcí. Lze jej zabudovat do klimatizačních zařízení jako každý jiný prachový filtr. Škála, kterou nový materiál obsahne sahá od pachů, např. z ryb až k che-

mickým škodlivinám, jako sirovodík nebo kysličníky dusíku.

Prof. Bloss z Ústavu fyzikální elektroniky při stuttgartské universitě prováděl dlouhodobé zkoušky s tímto materiélem a zjistil např. u sirovodíku:

|                           |         |
|---------------------------|---------|
| konzentrace před filtrem  | 600 ppm |
| za filtrem po 1 minutě    | 40 ppm  |
| za filtrem po 10 minutách | 0 ppm   |

Vzduchotechnice bylo často vytýkáno, že při odběru venkovního vzduchu odstraňuje z něho pouze pevné částice. Hamburská firma ASINT již začlenila do svého výrobního programu stavebnicových jednotek pro malé a střední výkony tyto nové filtry.

(Ku)

## MEDZINÁRODNÁ VÝSTAVA ZARIADENÍ NA OCHRANU ŽIVOTNÉHO PROSTREDIA V LONDÝNE

Medzinárodná výstava zariadení na ochranu životného prostredia konala sa v Londýne v dňoch 5.—8. VI. 1973. Usporiadaná bola v známej výstavnej a kongresovej budove Earls Cort v Londýne. Súčasne s výstavou ENPOCON (Environmental Pollution Control) konal sa v kongresovej hale v Earls Cort aj Kongres o kontrole a ochrane životného prostredia. Výstava i kongres boli usporiadane pod záštitou britského ministra pre životné prostredie a boli otvorené 5. júna, čo je deň, ktorý OSN vyhlásila za Svetový deň životného prostredia.

Výstava ENPOCON i kongres trvali 4 dni. Odborný program kongresu bol zadelený do 4 sekcií (krajina, odpady, voda, hluk) a týkal sa, podobne ako výstava, otázok kontroly a ochrany všetkých zložiek životného prostredia pred znečistením, a to ovzdušia, vody, pôdy, morí, ako aj ochrany prostredia pred nadmerným hlukom. Na kongrese bolo prednesených spolu 21 referátov. Okrem prednášok boli na kongrese poriadané k vyššie uvedenej problematike aj viaceré panelové diskusie.

V sekcií Hluk, ktorej predsedal E. M. Birtwistle, prezident Asociácie inšpektorov verejného zdravotníctva, mal úvodný referát na tému „Hluk v životnom prostredí“ prof. J. B. Large z Ústavu pre výskum zvuku a vibrácií v Southamptone. G. W. Coroley a kol. z Ústavu pre plánovanie sídlisk prednesli referát s názvom „Znečistovanie prostredia hlukom — pohľad plánovača.“ I. W. Barker z Inšpektorátu verejného zdravotníctva v Leicestere mal prednášku o „Úlohe inšpektorov verejného zdravotníctva v boji proti hluku v sídliskách.“ P. W. Kidner z Ústavu pre životné prostredie, skupina ochrany cest a testovania vozidiel, referoval o „Znečistování prostredia hlukom ako o predmete štátnej politiky.“ Z vyššie uvedeného krátkeho prehľadu najdôležitejších referátov o hluku vidime, že na Kongrese riešená problematika kontroly a ochrany životného prostredia pred nadmerným hlukom bola veľmi aktuálna a závažná.

Na výstave ENPOCON, ktorá bola umiestnená vo velikánskej prízemnej hale v Earls Cort, sa zúčastnilo svojimi výrobkami 160 firiem domáčich i zahraničných. Vystavovaný sortiment, ktorý bolo možné na výstave i objednať, bol zadelený do 5 sekcií: 1. Ochrana pred hlukom, 2. Splaškové a priemyselné odpady, 3. Pitná voda, 4. Ochrana ovzdušia a 5. Rôzne.

Na výstave som navštívil hlavne stánky firiem, ktoré vystavovali zariadenia na ochranu prostredia pred hlukom. O výstave, resp. o vystavovaných exponátoch, ako aj o vystavujúcich firmách bol vydaný podrobny katalóg s dokonalým plánom lokalizácie stánkov jednotlivých firiem, takže bolo možné sa na výstave veľmi dobre zorientovať.

Zaujímavá bola expozícia firmy CASTLE

ASSOCIATES, ktorá má vo Veľkej Británii najrozšírenejší sortiment akustických meracích prístrojov. Na výstave ENPOCON vystavovala aj 2 novinky. Je to v prvom rade tzv. osobný hlukový dôzimetrov (M-6 Sound Hazard Integrator), čo je vlastne hlukomer, ktorý má vstavaný zvláštny počítač a je upravený tak, že spočítava u osoby, ktorá toto zariadenie nosí, celkovú dobu expozície v hluku o rôznych hladinách. Prístroj dá znamenie, kedy má osoba opustiť hlučné pracovisko, ktoré sa stalo pre ňu už nebezpečenstvujuče zdravotný stav (sluchový orgán). Prístroj má veľmi malé rozmery a nepatrnu vahu. Pracovník ho nosí na opasku, pričom mikrofón má umiestený špeciálnym držiakom v blízkosti ucha tak, aby mu neprekážal pri práci.

Dalšou novinkou, ktorú vystavovala táto firma, bol hlukomer, typ CS 16 A, majúci rozsah 66—130 dB (A), ktorý je vhodný na kontrolu a meranie hluku v továrnach podľa nového Kódu, ktorý rieši problematiku ochrany pred hlukom na parcoviskách vo Veľkej Británii (Code of Practice for Reducing the Exposure of Employed Persons to Noise). Tento Kód bol vydaný v roku 1972. Stanovuje maximálne prípustné hlukové hladiny na hlučných pracoviskách ( $L_{Aekv} = 90 \text{ dB (A)}$ ), ako aj metódy na meranie a hodnotenie hluku, i návrhy na ochranu pracovníkov pred nadmerným hlukom. Zaujímavými exponátnami boli i ďalšie novinky, a to tzv. hlukové dôzimetre a stykače (jednohladinové i dvojhladinové). Takýmto zariadením je napr. automatický vypínač prúdu, typ CS 23 A (Electronic Lighthouse). Slúži na kontrolu hlasitosti, napr. hudobného prejavu nejakého orchestra. Jeho súčasťou je veľký, asi 1 m vysoký sklenený válec (postavený obvykle v blízkosti orchestra), ktorý sa rozsvecuje v rôznych farbách podľa sily zvuku hudby. Keď hluková hladina, vyprodukovaná orchestrom a pod. prevýši predom nastavenú hodnotu po dobu dlhšiu ako 5 sekund, prístroj vypne elektrický prúd na zosilovacom zariadení orchestra, a pod. Podobnú funkciu má i ďalší prístroj, tzv. priemyslový hlukový vypínač, typ CS AA alebo CS 22 B (tzv. elektronický pomarač). Má tvar sklenenej gule, ktorá pri nadmernom hluku mení farbu, čím upozorňuje na nepovolený hluk. Ak hluk dosiahne neprípustnú hodnotu, vypne toto zariadenie zdroj hluku a pod. Všetky tieto prístroje majú nastaviteľnú hlukovú hladinu v rozpätí 65—120 dB (A). Uplatňujú sa napr. v diskotékach a pod., ale aj v priemysle tam, kde je potrebná sústavná kontrola hlučnosti.

Svädska firma TRELLEBORGS GUMMI-FABRIKS AB vystavovala svoje výrobky z novovyvinutej hmoty Novibra, ako sú tlmiče vibrácií, protivibráčne podložky rôznych typov, antivibráčné platne, nárazníky, podušky, antivibráčné balvany (špalky a pod.) pod tažké stroje a pod. Firma vystavovala dalej aj

rôzne výrobky zo zvukoizolačných materiálov, ktoré zabráňujú šíreniu sa zvuku zo zdroja cestou vzdúšnej, ako sú rôzne ohybné akustické bariéry, akustické záclony, prenosné akustické uzavretie strojov atď.

Firma BESTOBEL INDUSTRIAL ACOUSTICS DIVISION vystavovala zase široký sortiment výrobkov absorbčných materiálov a konštrukcií, označených obchodným názvom Coustilan, Coustibel, Dempison a pod. Firma SOUTH COAST PLASTICS LTD vystavovala rôzne typy akustických tlmičov z PVC na motory, prieduchy, ventilátory a pod., vhodné jak pre normálne tak aj pre korozívne prostredie.

Na výstave sa zúčastnila aj firma FISONS ENVIRONMENTAL ADVISORY and TECHNICAL SERVICE. Je to firma, vykonávajúca konzultačné i technické služby, ktoré pokrývajú celý oboj ochrany životného v pracovného

prostredia, včetne ochrany pred nadmerným hlukom.

Na výstave vystavovali aj viaceré knižné a časopisecké vydavateľstvá, ktoré vydávajú literatúru, týkajúcu sa ochrany životného prostredia pred nadmerným hlukom. Napr. TRADE and TECHNICAL PRESS LTD vydáva časopis o boji proti hluku a vibráciám s názvom „Noise Control and Vibration Reduction“.

Záverom nutno o výstave ENPOCON uviesť, že to bola výstava veľmi hodnotná, s veľkým množstvom zaujímavých exponátov a mnohých noviniek, vystavovaných poprvý raz práve na tejto výstave. Prehliadka výstavy dala dobrý prehľad o súčasných možnostiach ochrany životného prostredia jak pred hlukom tak aj pred ostatnými škodlivinami.

Radulov

## INFORMACE Z VÝROBNÍCH PODNIKŮ

ZTV 5/74

N. p. VZDUCHOTECHNIKA, Nové Mesto n. V., vypustil k 31. 12. 1973 z výroby:

Axiální ventilátor APF ø710 podle PN 12 2428 a lutnový ventilátor APL podle PN 12 2415.

Oba výrobky jsou zastaralé a vzhledem k tomu, že na ně v poslední době nebyly požadavky, vypouští se bez přímé nahradu.

Z těchže důvodů se vypouštějí i suché mechanické odlučovače SDA podle OP-06-001 a BMM 300 V s čedičovými články podle OP-06-002, jakož i odlučovací stanice SOA pro odlučování popela a škváry podle PA 12 4709. Dále pro provozní nespolehlivost a nižší odlučivost se vypouštějí suché mechanické odlučovače SAA podle PJ 12 4244, které lze nahradit odlučovači SCA podle ON 12 4226 nebo OP-06-012 nebo odlučovači SEB podle OP-06-010 nebo OP-06-013.

N. p. ZVVZ, Milevsko vypustil k 31. 12. 1973 z výroby tyto výrobky:

Radiální vysokotlaké ventilátory DL 1600 a 2000 podle TPE 26 3510, které jsou nahrazeny ventilátory RVE, podle PP 12 3349,

radiální vysokotlaké ventilátory RVD 1250, oboustranné sací podle TPE 13 3348 a DL 1600 a 2000, oboustranně sací podle TKV 3511, které jsou nahrazeny odpovídajícími velikostmi ventilátorů RVE oboustranně sacích podle PM 12 3350.

Jde zde vesměs o zastaralé výrobky, které jsou nahrazeny novým typem ventilátoru s lepšími parametry.

K 31. 3. 1974 byly vypuštěny z výrobního programu mokré hladinové odlučovače MHF podle PM 12 4527, které jsou nahrazeny odlučovači MHE podle PM 12 4523, technicky dokonalejšími s menší stavební výškou a menším vodním obsahem.

K 30. 6. 1974 se vypouští provzdušňovací zařízení zásobníků ø 5,5 až 20 m podle PM 12 1210 až PM 12 1224, poněvadž jde o zařízení složité a provozně nespolehlivé. Bude nahrazeno novým, konstrukčně dokonalejším řešením podle připravované normy PM 12 1230.

(Ku)

### ● Získávání energie z domácností

V NSR se věnuje nyní zvýšená pozornost problému znovuzískávání energie. Přitom jde o realizovatelná řešení k většimu stupni využití energie. Oddělení pro aplikaci Rýnsko-vestfálských elektráren se zabývá přípravami vývoje systémů a přístrojů k zpětnému získávání energie. Z praček, myček na nádobí, jakož i z přístrojů na přípravu teplé vody, včetně teplého a vlhkého vzduchu ze sušiček na prádlo. Samozřejmě se pracuje i na využití tepla z odpadních vod živnostenských a průmyslových podniků.

S + HT 6/73

(Ku)

### ● Nový odsírovací systém

Fa Ford, Baco & Davis z Dallasu předkládá nový odsírovací systém, hodící se i pro plyny s velmi malým obsahem SO<sub>2</sub>. Proces využívá žíravého roztoku, obsahujícího redukční katalyzátor. Produktem je jemně rozptýlená elementární síra. Ani roztok, ani produkt neobsahuje toxicke látky, jako arsen nebo vanadium. Nový způsob nalezně uplatnění i všude tam, kde se kdysi soudilo, že se odsírování nevyplatí pro malý obsah síry v plynu.

H & VE 1/73

(Ku)

**Gesundheits-Ingenieur 95 (1974), č. 3**

- Stand der Technik in der Hochdruck-Klimatisierung (Stav techniky ve vysokotlaké klimatizaci) — *Laux H.*, 63—75.
- Druckhaltung in Heisswasser-, Warmwasser- und Kaltwasseranlagen (Udržování tlaku v zařízeních na horkou, teplou a studenou vodu) — *Nehring G.*, 76—82.
- Brandschutz mit Luftschleieren (Ochrana proti ohni vzduchovými clonami) — *Knoblauch E.*, 83—86.

**Heating, piping and air conditioning, 46 (1974), č. 2**

- When and where to use thermal fluids (Kdy a kde použít tepelných kapalin) — *Agnon S.*, 42—46.
- Pumping techniques for campus chilling systems (Způsoby čerpání v chladicích systémech universitního městečka) — *Wilson M. J.*, 47—51.
- Nomograph determines moisture addition, removal quantities (Nomogram množství dodané a odstraněné vlhkosti) — *Shaw W. J. D.*, 53—54.
- Energy: crisis and conservation (Energie: krize a akumulace) — *Field A. A.*, 57—58, 60, 62, 64.

**Heizung Lüftung Haustechnik 25 (1974), č. 4**

- Klimatisierung von Bürogebäuden bei allelektrischer Versorgung. Teil 1: Technische Konzeption (Klimatizace kancelářských budov se zcela elektrickým vybavením. Část 1.: Technická koncepce) — *Kühn M., Vicktor H.*, 109—112.
- Klimatisierung von Rechenzentren (Klimatizace výpočetních středisek) — *Savitzki P.*, 113—118.
- Dimensionierung von Elektro-Zentralspeichern für Warmwasserheizungen (Dimenzování elektrických ústředních zásobníků pro teplovodní vytápění) — *Böbel A.*, 119—123.
- Wärme pumpen in Grossbauten (Tepelná čerpadla ve velkých stavbách) — *Jüttemann H.*, 124—130.

**Light and Lighting 67 (1974), č. 1/2**

- Lighting on European motorways (Osvětlení na evropských komunikacích) — 6—10, 18—19.
- Little visible equipment at Sydney Opera House (Malá viditelná osvětlovací zařízení v budově opery v S.) — *Waldram J. M.*, 26—32.
- European recommendations on interior lighting compared (Porovnání evropských doporučení pro osvětlování interiérů) — 33.

- Portable and mobile floodlighting equipment (Přenosná a pohyblivá zařízení pro osvěcování) — 34, 35, 37.
- 1973 City and guilds examinations: specimen answers (Vzorové odpovědi na výzkum v užší oblasti: město, spolek — díl 2) — 38—41.

**Lighting design and application 4 (1974),**

- Energy at the crossroads: where do we go from here? (Energetická křížovatka — jak ji projdeme?) — *Hauser L. G.*, 6—11.
- The prescription of interior lighting — a progress report (Zpráva o vývoji předpisů o vnitřním osvětlování) — *Bläckwell H. R.*, 12—16.
- Lighting trends for '74 (Vývojové směry pro osvětlování v roce 1974) — *Anderson H. A.*, 17—19.
- Lighting an art gallery (Osvětlení v galerii umění) — *Puckell R. L.*, 20—22.
- Sources — today and tomorrow (Vývoj ve světelných zdrojích) — *McGowan T. K.*, 23—29.
- Saving energy and dollars (Úspora energie a dolarů) — *Finn J. F.*, 30—32.
- Grading impressions and behaviour (Stupňování dojmů a účinků) — 37—40 — Color in luminous ceilings (Barevnost ve svítících stropech) — *Spencer D. E., Urculo R.*, 41—46.
- Lamps - their effect in social interaction and fatigue (Vliv svítidel na činnost a únavu lidí) — 51—53.
- The movement of people toward lights (Pohyb lidí pod vlivem osvětlení) — *Taylor L. H., Sucov E. W.*, 54—55.
- Scaling luminous environments (Vícerozměrová analýza svítících prostředí) — *Blasdel H.*, 56—58.

**Lighting design and application 4 (1974), č. 3**

- How Theatrical lighting influence architectural lighting design (Vlivy scénického osvětlení na architektonický světelný návrh) — *Brandston H.*, 10—11.
- Lighting for mixed media Osvětlení pro proměnné prostředí) — *Florentino J.*, 22—25.
- Lighting for multi-form theaters (Osvětlení pro víceúčelové divadelní prostory) — *Sanford J. E.*, 26—30.
- Low-level lighting (Osvětlení s nízkými hladinami) — *Britt R. W.*, 31—32.
- The lighting of lighting (Reprodukující světlo) — *Ulrich J. D.*, 33—39.
- The latest in sources (Nejnovější v osvětlovacích zdrojích) — *Lemons T. M.*, 40—43.

**Lichttechnik 26 (1974), č. 1**

- Licht und Energiekrise (Světlo a energetická krise) — 5—6.

— Hohe Fahrbahnleuchtdichte auf der Bosporusbrücke bei geringen Energieverbrauch (Vysoký povrchový jas vozovky na mostě přes Bospor při malé spotřebě energie) — *Günther M.*, 16.  
— Rückstrahlmessungen nach DIN 67 520 mit verringertem Probestand (Měření odraženého záření na zkrácenou vzdálenost podle DIN 67 520) — *Czepluch W.*, 17—20.

— Der Einfluss der Blendquellengröße auf die physiologische Blendung bei kleinen Blendwinkel (Vliv velikosti oslnjujúceho zdroje na fyziologické oslnění při malých úhlech vzhledem k zdroji) — *Hartmann E., Ucke Ch.*, 20—23.

### Lichttechnik 26 (1974), č. 2

— Salon International du Luminaire '74 (Přehled výrobků z pařížského veletrhu 1974) — 44—45.

— LUXPO Kopenhagen 1974 (Výstava LUX-PO 1974) — *Muth W.*, 48—49.

— Über die Beleuchtung kurzer Tunnel (Osvětlování krátkých tunelů) — *Jainski P., Hochstadt E.*, 51—55.

— Über den Stand der Berechnung der Innenraumbeleuchtung mit Tageslicht in Indien (Opočitání denního osvětlení vnitřních prostorů v Indii) — *Maitreya V. K.*, 56—57.

### Klima-Kältetechnik 16 (1974), č. 3

— Über die Kohlendioxid-Konzentration der Luft innerhalb und außerhalb von Arbeitsräumen (O koncentraci kysličníku uhlíčitého ve vzduchu uvnitř a mimo pracovních místností) — *Köhler A.*, 40—43.

— Über Tieftemperaturwaschprozesse und über Berechnungsgrundlagen der Löslichkeit von Gasen und Flüssigkeiten. Schluss (O promyvacích postupech za studena o základech výpočtu rozpustnosti plynů a kapalin. Závěr) — *Knapk H.*, 46—48.

### RAS — Rohr-Armatur-Sanitär-Heizung 29 (1974), č. 1

— Installationszellen in der Bundesrepublik (Sanitární buňky v NSR) — 8—12 pokrač.

— Küchentechnik, Příloha „Technika v kuchyni“) — K1 — K 94 — Gedanken rund um die Küche (Několik nápadů do kuchyně) — *Flury S.*, K 4 — K 6, K 8.

— So sehen Künstler um die Küche von morgen (Tak vidí umělci kuchyň budoucnosti) — K 12, K 14.

— Fortschritt im Zeichen der Verknappung (Pokrok ve zkvalitnění povrchových úprav na kuchyňských zařízeních) — *Osterdinger H.*, K 18 — K 20.

— Trend zum mobilen Wohnen zeichnet sich ab (Odraz trendu k mobilnímu bydlení) — *Bildat H.*, K 22 — K 24.

— „Granada“ und „Magica“ (Nové obkladové desky fy. Resopal) — K 32 — K 33.

— Keramik-Spültsche + Wand- und Bodenfliesen harmonisch abgestimmt auf die mo-

derne Einbauküche (Keramické dřezy, obklady a dlažby navzájem harmonisují) — K 62 — K 63.

— Anschluss von Geschirrspülern an Heisswasserleitungen (Napojení myček nádobí na horkovodní rozvody) — *Giengen J.*, K 78, K 80 — K 81.

### RAS — Rohr-Armatur-Sanitär-Heizung 29 (1974), č. 2

— Entwicklung bei Kunststoffrohren für die Hausentwässerung (Vývoj v kanalizačním potrubí z umělých hmot pro domovní odvodňání) — *Decker K. D.*, 51—52.

— Installationszellen in der Bundesrepublik (2) (Sanitární buňky v NSR, 2 díl) — 53—54.

— Bemühen um Wohnbad und vorgefertigte Installationen (Snahy po obyvatelné koupelně a po prefabrikovaných instalacích — Batimat Paris) — 92—93.

### Sanitär- und Heizungstechnik 39 (1974), č. 1

— Trend zu hochwertigeren Klimaanlagen (Trend k dokonalým klimatizačním soustavám) — 4—5.

— Weiteres Bemühen um vorgefertigte Installationen (Další snahy o prefabrikované instalace na Batimat Paříž) — 6—7.

— Überlegungen zur Technik von geschlossenen Wasserheizungsanlagen (Úvahy k technice uzavřených teplovodních otopných soustav) — S 1

— Sicherheitstechnische Erwägungen bei der Planung geschlossener Heizungsanlagen (Úvahy s ohledem na bezpečnost při navrhování uzavřených otopných soustav) — *Puell K.*, S4—S12, S44.

— Die geschlossene Wasserheizungsanlage und das Vorschriftenwerk (Uzavřená teplovodní otopná soustava a předpisy) — *Schmitz F. J.*, S13—S16.

— Die Entwicklung zur geschlossenen Wasserheizungsanlage aus der Sicht der Anlageersteller (Vývoj uzavřené teplovodní otopné soustavy z hlediska výrobce zařízení) — *Breuer K.*, S17—S20.

— Regler und Begrenzer für geschlossene Heizungsanlagen (Regulátory a omezovače pro uzavřené otopné soustavy) — *Sautter L.*, S21—S24.

— Die Aufstellung von Heizungsanlagen und Brauchwasserwärtern im Blickwinkel der Bauaufsicht (Instalace otopných soustav a ohříváčů užitkové vody z pohledu stavebního dozoru) — *Ulbrich G.*, S25—S29.

— Membran-Ausdehnungsgefässe für geschlossene Heizungsanlagen (Membránové kompenzační nádoby pro uzavřené otopné soustavy) — *Faber F. W.*, S30—S38.

— Sicherheitsventile für geschlossene Wasserheizungs- und für Brauchwasser-Erwärmungsanlagen (Pojistné ventily pro uzavřené teplovodní otopné soustavy a pro ohříváče užitkové vody) — *Karenfeld A.*, S39—S44.

## **Sanitär- und Heizungstechnik 39 (1974), č. 2.**

- Ein Überblick über 2 000 Jahre Zentralheizungstechnik (2 000 let ústředního vytápění — přehled) — 71.
- Gewinderohre für Hausinstallationen (Závitové trubky pro domovní instalace) — diskuse — 72—74.
- Entwicklung bei Kunststoffrohren für die Hausentwässerung (Vývoj u trub z umělých hmot pro domovní kanalizaci) — *Decker K. D.*, 75—76.
- Merkblatt: Hausabflussleitungen aus Kunststoff (Domovní odpady z trub z umělých hmot — upozornění) — 76—78.
- Der Plattenwärmeaustauscher — Aufbau und Anwendung in der Heizungs-, Klimate- und Lüftungstechnik (Deskové výměníky — zřizování a použití ve vytápění, klimatizaci a větrání) — *Steinhilper W., Knoll P.*, 79—84.
- Rohre für Kaltwasser- Kühlwasserkreisläufe (Trubky pro oběh studené a chladicí vody) — *Feurich H.*, 85—56.
- Verschmutzungerscheinungen in beheizten Räumen (Zašpinění ve vytápěných prostorách) — *Weisheit W., Pinkal D.*, 87—88.
- Absperr- und Regeleinrichtungen für Gasbrenner (Uzavírací a regulační armatury u plynových horáků) — *Beedgen O.*, 89—94.
- Elektrisch beheizte Warmwasseranlagen — eine Alternative? (Je toplovodní ohřívání pomocí elektřiny alternativou?) — 96—101, 110.
- WC-Anlagen für Flugzeuge und Eisenbahn (Klosetová zařízení do letadel a pro železnice) — *Sauer W.*, 102—103.
- Altbauanierung mit vorfertigten Sanitär-elementen (Sanace starých obytných budov pomocí prefabrikovaných sanitárních prvků) — 103.
- Vergleich von gasbefeuerten Ein- und Mehrkesselanlagen (Porovnání plynem vytápěných soustav s jedním a více kotly) — 120.

## **Stadt- und Gebäudetechnik 28 (1974), č. 1—2**

- Die weiteren Aufgaben des VEB Kombinat Technische Gebäudeausrüstung nach der 10. Tagung des ZK der SED (Další úkoly VEB Kombinat TZB po 10. zasedání ÚV SED) — *Walther H.*, 3—4.
- Einige Schwerpunkte und Tendenzen der Weiterentwicklung der technischen Gebäudeausrüstung bis 1980 (Některá těžiště a vývojové směry v technických zařízeních budov do roku 1980) — *Flor G.*, 5—7.
- Aufgaben und Verantwortung der VEB Kombinat Technische Gebäudeausrüstung auf dem Gebiet der Preisarbeit (Úkoly a odpovědnost VEB Kombinatu TZB v oblasti tvorby cen) — *Engelhardt G., Bomba L.*, 8—9.
- Über die Zusammenarbeit zwischen dem Institut für Heizungs-, Lüftungs- und Sanitärtechnik der Bauakademie der DDR und dem VEB Kombinat Technische Gebäudeaus-

- rüstung (O spolupráci mezi Institutem pro vytápění, větrání a zdravotní techniku Akademie NDR pro stavebnictví a VEB Kombinat TZB) — *Haack*, 10.
- Die technisch-wissenschaftliche Gemeinschaftsarbeit des Kombinates TG und der Technischen Universität Dresden (Vědeckotechnická spolupráce VEB Kombinat TZB a Technikou v Dráždanech) — *Kraft G.*, 11—12.
- Über die Partnerschaft zwischen dem VEB Kombinat TGA und der Ingenieurschule für Bauwesen Erfurt (Partnerství mezi VEB Kombinat TZB a Vysokou školou technickou v Erfurtu) — *Stamms H. S.*, 13.
- Spezialisierung und Rationalisierung der TGA-Industrieproduktion (Specializace a racionalizace průmyslové výroby technických zařízení budov) — 14.
- Die Entwicklung der Schweißtechnik im Kombinat TGA (Vývoj techniky svářování v Kombinátu TZB) — *Rudolph W.*, 15—16.
- Rationalisierung der Rohrbündelproduktion (Racionalizace v trubních spojích) — *Krabbes W.*, 16—18.
- Kleben von PVC-h-Kaltwasserrohrbündeln mit spaltfüllenden Klebstoff (Lepení spojů na potrubích z tvrdého PVC lepidly plnícími spáry) — *Janik W., Taschner P.*, 19—21.
- Baukisten für Sekundärbefestigungen — Montagerationalisierung der Gebäudeinstalation (Stavebnice pro připevňování prvků — racionalizace montážních prací v domovních instalacích) — *Spolt J., Friedel R.*, 21—24.
- Neue Aspekte in der Verteilerfertigung für Heizungs- und Sanitäranlagen (Nová hlediska při výrobě rozdělovačů do otopných a sanitárních instalací) — *Reff A., Brock*, 24—25.
- Vorfertigungsplätze für die Erschliessung von Standorten der komplexen Wohnungsbaus (Rozmístování prefabrikace při technické přípravě staveňství ke komplexní bytové výstavbě) — *Jäkel D., Dietze M.*, 26—27.
- TGA/Projektierungskatalog-Gewerk Rohrleitungsanlagen-Aufbau. Inhalt und Handhabung des Kataloges (Projektový katalog TZB — odděl. výstavby potrubí — obsah a návod k použití katalogu) — *Strobel B., Kiese L.*, 28—31.
- Erfahrungen bei der Anwendung von Rechenprogrammen zur Analyse von Fernheiznetzen (Zkušenosti s použitím výpočetního programu k rozboru dálkových teplovodních sítí) — *Walther K., Klemann E.*, 32.
- Technologische Beherrschung von Störgrößen in einer Korrosionsschutz-Durchlaufanlage für Rohre (Technologické ovládání průchových veličin v průtokovém protikorosivním zařízení pro potrubí) — *Frosl F.*, 33—35.
- Transport-Container mit Inneneinrichtung für Sanitärmaterial (Transportní kontejner uvnitř vybavený pro dopravu sanitárního materiálu) — *Weyand V.*, 35—36.
- Rationalisierung der TGA-Montageprozesse mit Hilfe der Slobin-Methode (Racionalizace montážních prací na TZB pomocí S. metody) — *Rothenberg R.*, 36—38.

- Rationalisierung und Mechanisierung der TGA-Montageprozesse (Racionalizace a mechanizace montážních prací na TZB) — *Störzel W.*, 38—39.
- Erfahrungen aus der Anwendung der Gebrauchswert-Kosten-Analyse bei Erzeugnissen der industriellen Vorfertigung (Zkušenosti s použitím analýsy užitných hodnot u výrobků průmyslově prefabrikovaných) — *Herrmann G.*, 41—43.
- Die Anwendung des Systems der fehlerfreier Arbeit bei der Vorbereitung und Realisierung von Rationalisierungsmassnahmen (Použití systému práce bez chyb při prefabrikaci a uskutečňování racionalizačních opatření) — *Kilinski H., Henschel K. H., Pinks K. H.*, 44—46.
- Korrosionsschutzverfahren-Übersicht über Oberflächentechniken (Přehled protikorozivních ochranných postupů pro povrchové úpravy) — *Jung H. J.*, 46—49 pokrač.
- Rationalisierung im Gewerk Ofenbau (Racionalizace ve výrobě topeniště).
- *Liedtke S., Zymolka J.*, 49—52.
- Künftige Transporttechnologie für Kachelerzeugnisse (Budoucí technologie přepravy kachlových výrobků) — *Gotter B.*, 53—54.
- Gebrauchswerterhöhung durch rationnellere Herstellung eines Feuergeschänks für ortsfeste Kachelöfen (Zvýšení užitkové hodnoty kachlových topidel na tuhá paliva racionalizací výroby ohniště) — *Ewert H.*, 54—55.
- Gasheizung im Wohnungsbau-Ökonomische Untersuchungen über den Erdgaseinsatz (Plynové topení v bytové výstavbě — ekonomický průzkum k používání zemního plynu) — *Seel H.*, 55—57 pokrač.

### **Staub Reinhaltung der Luft 34 (1974), č. 3**

- Public Emergency Limits (Mezní hodnoty s ohledem na bezpečnost veřejnosti), 85—87.
- Immissionsmessungen an Sonntagen mit Fahrverbot an einer Stelle in Düsseldorf (Měření imisí na stanovišti v Düsseldorfu o nedělích se zákazem jízdy) — *Tomingas R., Brockhaus A.*, 87—89.
- Ermittlung über die Belastung der Vegetation durch Schwermetalle in verschiedenen Immissionsgebieten (Zjištování zátěže vegetace těžkými kovy v oblastech s různým množstvím emisí) — *Scholl G.*, 89—92.
- Quecksilber in Flugstäuben von Kohlen- und Pechkokereien (Rutn v úletech z kokšáren uhlí a smoly) — *Mašek V.*, 93—94.
- Aufbau und Eigenschaften eines Generators zur Erzeugung von Ozon-Prüfgasen (Uspořádání a vlastnosti generátoru na výrobu zkušebních plynů obsahujících ozon) — *Hartkamp H., Gies H.*, 95—98.
- Holographische Untersuchung der Inhalation von Aerosolteilchen in einem Modell des menschlichen Atemtraktes (Holografické šetření inhalace aerosolových částicek na modelu lidského dýchacího orgánu) — *Gross J., Peter P.*, 99—100.
- Beladung von Faserfiltern mit Aerosolen (Zatižení vlákninových filtrů aerosoly) — *Mohrmann H., Marchlewitz W.*, 100—102.
- Jahrestagung der GAF (Gesellschaft für Aerosolforschung) (Výroční zasedání společnosti pro výzkum aerosolů) — *Straubel H.*, 102—105.
- Geeignete Atemschutzfiltergeräte gegen Stäube, Rauche und Nebel (Vhodné ochranné dýchací filtrační přístroje proti prachům, kouři a mlze) — 106—107.
- Grobstaubmasken (Masky proti hrubému prachu) — 107.

### **Svetotechnika (1974), č. 1**

- 25 let raboty žurnala „Svetotechnika“ (25 let činnosti časopisu „Svetotechnika“), 1—7.
- Ozdorovitelne oblučenie v sisteme obščego osveščenija pomeščenij (Zdravotně cenné záření při obecném osvětllování místnosti) — *Lazarev D. N.*, 8—11.
- Provoditelnost truda i uslovija osveščenija (Produktivita práce a podmínky osvětlení) — *Serebrjakova L. V., Tiščenko G. A.*, 13—15.
- K voprosu ob ekspluataci osvetitelnych ustanovok (K problematice provozu osvětlovacích soustav) — 17—19.
- K voprosu o celesobraznosti rasšírenija proizvodstva lamp-světilníků (Diskuse čtenářů o účelnosti rozšíření výroby tvarovaných žárovek) — 19—21.
- O rabote sekcií NSTE po probleme „Svet kak element žiznennoj sredy člověka“ (o činnosti sekcií NSTE na problému „Světlo jako prvek životního prostředí člověka“) — *Pilipenko E. A.*, 24—25.

### **Svetotechnika (1974), č. 2**

- K voprosu o rasčete udelnoj možnosti oblučatelnych ustrojstv v teplicach (K dotazu o výpočtu specifického výkonu zářičů ve vytápěných sklenicích) — *Glikman M. T., Klačkov A. N.*, 4—6.
- O perspektívách uveličenija svetovoj otdači lamp nakalivanija a pomočju antistoksovych lumenoforov (O perspektívách zvětšení světelného výkonu žárovek pomocí luminoforů s antistokesovou charakteristikou) — *Čukova Ju. P.*, 6—9.
- O nekotorych problemach galogennogo cikla v lampach nakalivanija (O některých problémech halogenního cyklu v žárovkách) — *Zemíš G., Serger K., Fejler U.*, 10—12.
- Rascét osveščennosti ot prožektorov na EVM (Výpočet osvětlenosti od ozařovačů pomocí počítací) — *Elinson M. S., Firsanov N. N.*, 13—14.
- Ustrojstva dlja zaščity svetilnikov ot zapyljenija pri ekspluataci (Zařízení na ochranu svítidel proti zaprášení během provozu) — *Dvořík G. B.*, 16—17.
- Ekspluatacija osveščenija ceha metallurgičeskogo zavoda (Využití osvětlení v metallurgickém závodě) — *Poberij Ju. P.*, 19.

### **Vodosnabženie i sanitarnaja technika (1974), č. 3**

- Osnovnye puti ekonomii tepla i topliva v snabženii teplom žilych i graždanskich

zdanij (Základní směry šetření teplem a palivy v zásobování obytných a veřejných budov) — *Livčák I. F.*, 15—19.

— Issledovanie fiziko-chimieckikh svojstv v sisteme teplosnabženija pri kontaktnom podogreve vody produktami sgoranija prirodnogo gaza (Studium fyzikálně chemických vlastností vody v systému zásobování teplem při kontaktním ohřevu vody produkty spalování přírodního plynu) — *Ljachov O. G., Kolesnik Ju. A., Jakimov O. L.*, 20—23.

— Analiz režimov raboty električeskogo otoplenija v uslovijach Krajnega Severa (Analýza režimů práce elektrického vytápění v podmínkách Dálného severu) — *Kraev E. P., Jan'kova L. I.*, 27—29.

— Centrobežnyj ventiljator C 14—46 obše-promyšlennogo naznačenija (Odstředivý ventilátor C 14—46 pro všeobecné použití) — *Solomachova T. C., Kolmakov I. I., Vasil'ev V. A., 32—34.*

— Vlijanie korotkoj cilindričeskoj kamery smešenija na charakteristiku vozdušnogo ežek-tora (Vliv krátké válcevé směšovací komory na charakteristiky vzduchového ejektoru) — *Makarov V. A.*, 34—35.

— VII Rumynskaja konferencija po povyšeniju funkcijskoj i ekonomičeskoj effektivnosti sistem otoplenija i ventiljaci (VII. rumunská konference o zvýšení funkční a ekonomické

efektivnosti vytápěcích a větracích systémů), 35—36.

— VI Vsesojuznoe naučno-techničeskoe soveščanie po kondicionirovaniyu vozducha (VI. vše-svazová vědeckotechnická porada o klimatizaci), 38—39.

### Vodosnabženie i sanitarnaja technika, (1974), č. 4

— Analiz i sopostavlenie različnych metodov rasčeta aeraci gorjačich ceechov (Analýza a porovnání různých metod výpočtu aerace horlkých provozů) — *Didenko S. Ju., Zin'kovskij A. K.*, 16—18.

— Rasčet složnyh teplovych setej ( Výpočet složitých tepelných sítí) — *Svetlov K. S.*, 18—19.

— Ispitanija barbotažno-vichrevogo pyleulovitelja v različnyh proizvodstvennyh uslovijach (Výzkum mokrého vírového odlučovače prachu v různých průmyslových podmínkách) — *Pasečnik M. S., Teverovskij B. Z., Berg B. I., Rozenbaum M. A., Alekseev N. I., Tarasov V. M., Volobuev V. E.*, 20—23.

— Ocenna dvuchrezimnoj ventiljaci centrifugal'nyh prjadil'nyh mašin s brigadnym obsluživanjem (Hodnocení dvourezimového větrání odstředivých spřádacích strojů) — *Rajak M. B.*, 24.

## ● Kontrola čistoty ovzduší laserem

Vědci z výzkumného střediska NASA ve spolupráci s Agenturou pro ochranu prostředí (Environmental Protection Agency) vyuvinuli laser, který vyšetřuje na dálku plyny využívané z komínů průmyslových podniků. Je-li tento přístroj, uspořádaný jako teleskop, namířen na vystupující kouř, pak příměsi, jako např. SO<sub>2</sub>, odrážejí světlo s charakteristickou frekvencí. Toto je pak vyhodnocováno ve speciálních optických filtroch připojených k přístroji. Laserový detektor má být přesný až na vzdálenost 1 km od vyšetřovaného zdroje.

Dříve výzkumníci Agentury museli vyšetřovat složení kouřových praporců tak, že sondovali spalinu v patě komína. Získané vzorky byly pak chemicky analyzovány, aby se určila koncentrace příměsi. Hlavní problém této metody spočíval v tom, že instalace odběrných zařízení do komína byla složitou záležitostí. Vyšetřování na dálku přenosným přístrojem, jako je popisovaný detektor, je velmi výhodné již i z toho důvodu, že kontrola může být provedena bez vědomí provozovatele kotelního zařízení.

Laserový detektor pracuje na podobném principu jako mikrovlnný radar. Malý, silně koncentrovaný světelný paprsek vyslaný laserem se odráží od zkoumaného prostředí zpět do přijímače, avšak roztržštený na řadu charakteristických frekvencí příslušných příměsí. Pomocí soustavy filtrů připojených k přístroji se dá určit druh a koncentrace molekul příměsí.

Laserový detektor pracuje přesně jen v noci, poněvadž odlesk světelného pozadí ovlivňuje přesnost měření ve dne. Noční pozorování jsou však výhodná, protože mnoho průmyslových podniků vypouští po setmění příměsi ve větším měřítku.

Primární výhoda tohoto přístroje spočívá v jeho schopnosti zjistit přímo kouřové praporce a nalézt zdroje emisí, neboť laserový paprsek může být namířen do všech směrů, aby vyhledal nečistoty ve vzduchu. V budoucnosti bude možné za použití tohoto detektoru snadno monitorovat velké průmyslové oblasti, pro kontrolu, zda emise nepřekračují přípustné meze.

HPAC 1/73

(Ku)

## ● Proměnný průběh denní teploty prostředí pro zdraví

Při příležitosti zasedání pracovníků společnosti KLIMA byla přednesena přednáška význačného lékaře na téma „Mikroklima a zdraví.“ Autor vidí jako důležitý bod v komfortní klimatizaci přizpůsobení klimatických poměrů v místnostech dennímu rytmu člověka. Proto by měla teplota ve dne do 15 hodin mírně stoupat, po této době asi do 18 hodin opět klesat a pak až k nočnímu klidu se má blížit dennímu maximu.

S + HT 7/73

(Ku)

## • Reflexní sklo — nové možnosti pro architekta a klimatechnika

Reflexní sklo je potaženo tenkou vrstvičkou kovu jako zlata, stříbra, hliníku nebo bronzu. Mikroskopická vrstvička kovu může být nanesena témař na každé sklo. Někteří architekti zatím volili reflexní skla u administrativních budov či továren spíše z estetických důvodů. Zvenčí totiž vypadá zasklení jako lehce zbarvené zlaté nebo stříbrné zrcadlo a nemí dovnitř vůbec vidět. Zevnitř naproti tomu je kovová vrstva průhledná a umožňuje volný výhled.

Otzázk vzhledu však nejsou podstatné pro použití těchto skel — závažnější jsou hospodářské důvody, poněvadž reflexní sklo cítelně snižuje náklady na klimatizaci, neboť v průměru odrazí asi 70 % slunečního paprsku. Podle názoru odborníků hodí se toto sklo spíše pro stavby v krajině, kde může zreadlit stromy a oblohu s mraky. Ve městě s vysokou zástavbou mohou tato skla odrazit do ulic tolik tepla, že by to působilo nepohodu chodcům.

Jeden druh tohoto skla nese označení LHR (Light and Heat Reflecting) a je ho použito pro zdvojená okna (Twindows) Solarban, kde kovový povlak je na vnitřní straně vnějšího skla.

Podobné sklo je vyráběno pod názvem Reflectovue. Podle tvrzení jeho výrobce má se toto sklo během deseti let stát zcela běžným. Zatím je reflexní sklo velmi drahé, poněvadž je na něm ještě hodně ruční práce.

Kovový potah se zhotovuje na chemickém nebo elektrochemickém principu. Ve vakuové komoře se kov elektricky odpaří a celý proces pokovení trvá asi 45 minut. Potom se vrstvička kovu potáhne vrstvou plastické hmoty a přikryje se čirým sklem.

Tepelně izolační schopnost reflexních skel vyplývá z těchto údajů: Zdvojené okno Solarban propouští při venkovní teplotě 35,5 °C a vnitřní 26,5 °C jen 42,5 % sluneční energie oproti normálnímu dvojitěmu oknu. Zejména se osvědčuje v oblasti ultrafialového záření, kterého propustí jen 11 % oproti 68 % u normálního tabulového skla a infračerveného záření, kde propustí pouze 2 % oproti 67 % u tabulového skla.

To znamená, že náklady na potlačení tepelné záře okny u reflexních skel tvoří méně než třetinu nákladů potřebných u obyčejného skla. Náklady na klimatizaci se tím sníží o 15—20 %. Tak např. v laboratorích Bell Telephone Co. byla vypočítána úspora nákladů na klimatizaci ve výši 5 dolarů na m<sup>2</sup> klimatizované plochy, takže investiční náklady se rychle amortizovaly. U jiné budovy bylo vypočteno, že by bylo třeba chlazení o výkonu 310 000 kcal/h, kdyby bylo použito normálního zasklení. Při použití reflexního skla se snížila potřeba až na 216 000 kcal/h.

Vzhledem k uvedeným přednostem se očekává nárůst spotřeby tohoto skla v USA do pěti až osmi let na výši 50—100 milionů dolarů ročně.

Další novinkou využívanou v architektuře je tzv. *fotochromatické sklo*, které má tu vlastnost, že za slunečního světla je tmavé a za mračných dnů a v noci se stává světlejším. Zde spočívá výrobní proces v rozpuštění stříbra a jiných na světlo reagujících látok v teukutém skle při následujícím řízení tvorby jejich krystalů. K hromadné výrobě tohoto skla má dojít v nejbližších letech.

(Ku)

Podle Kälte-Klima-Praktiker 12/72

**ztv**  
**5**

Zdravotní technika a vzduchotechnika. Ročník 17, číslo 5, 1974. Vydává Česká vědeckotechnická společnost, komitét pro techniku prostředí, v Akademii, nakladatelství Československé akademie věd, Vodičkova 40, 112 29 Praha 1. Adresa redakce: Dvorecká 3, 147 00 Praha 4. — Tiskne Tisk, knižní výroba, n. p., 656 01 Brno, závod 1. — Vychází šestkrát ročně. Objednávky a předplatné přijímá PNS, admin. odbor. tisku, Jindřišská 14, 125 05 Praha 1. Lze také objednat u každého poštovního úřadu nebo doručovatele. Cena jednoho čísla Kčs 8,—, roční předplatné 48,—. (Tyto ceny jsou platné pouze pro Československo.)

Sole agents for all western countries with the exception of the German Federal Republic and West Berlin JOHN BENJAMINS B.V., Amsteldijk 44, Amsterdam (Z.), Holland. Orders from the G.F.R. and West Berlin should be sent to Kubon & Sagner, P.O.Box 68, 8000 München 34 or to any other subscription agency in the G.F.R.

Annual subscription: Vol. 17, 1974 (6 issues) Dutch Gld. 40,— (DM 40,—).

Toto číslo vyšlo v prosinci 1974.

© Academia, Praha 1974.